

КООРДИНАЦИОННАЯ ХИМИЯ

Журнал представляет оригинальные статьи и обзоры по всем аспектам теоретической и экспериментальной координационной химии





СОДЕРЖАНИЕ

Том 50, номер 2, 2024

Композитные материалы на основе биосовместимого металл-органического координационного полимера и антоцианов цветков суданской розы <i>Hhibiscus sabdariffa</i> для активной упаковки пищевых продуктов А. М. Пак, В. В. Новиков	79
Влияние природы растворителя на спиновое равновесие в растворах фенилборатного гекса- <i>н</i> -бутилсульфидного клатрохелата кобальта(II) по данным парамагнитной спектроскопии ЯМР Д. Ю. Алешин, В. В. Злобина, А. С. Белов, Я. З. Волошин, А. А. Павлов	85
Стереохимия <i>цис</i> -тетрафторокомплексов титана с (1RS,2SR)-стереоизомерами 1-Ac-2-[Ph $_2$ P(O)]-циклогексана в CH $_2$ CL $_2$ <i>Е. Г. Ильин, А. С. Паршаков, В. И. Привалов, А. В. Чураков, Г. В. Бодрин, Е. И. Горюнов</i>	92
Редокс-активные комплексы олова(IV) на основе простраственно-затрудненных катехолатных лигандов С. В. Барышникова, М. В. Арсеньев, Н. О. Дружков, Г. К. Фукин, Е. В. Баранов, А. В. Пискунов	100
Металл-органические координационные полимеры Cd(II) на основе иодзамещенных производных терефталевой кислоты и 1,1'-(1,4-бутандиил)-бис-имидазола М. А. Бондаренко, А. С. Загузин, П. А. Абрамов, И. В. Корольков, Д. А. Жеребцов, В. П. Федин, С. А. Адонин	111
Двух- и трехмерные полимерные терефталаты Co(II) с 3,3',5,5'-тетрабром-4,4'-бипиридином (3,3'5,5-BrBipy) И. Ф. Сахапов, А. А. Загидуллин, Д. Р. Исламов, В. В. Шарутин, Д. Г. Яхваров, Д. А. Жеребцов, В. А. Милюков, А. С. Загузин, В. П. Федин, С. А. Адонин	117
Синтез и строение комплексов лантаноидов (Sm, Dy) с 9,10-фенантрендииминовым редокс-активным лигандом Д. К. Синица, Д. П. Акимкина, Т. С. Сухих, С. Н. Конченко, Н. А. Пушкаревский	124
Синтез и строение <i>mpuc</i> (пиразолил)борат тиолатного комплекса рения(V) с дисульфидным мостиковым лигандом И. В. Скабицкий, С. С. Шаповалов	138

УДК 541.49, 541.6, 544.02, 546.05, 546.47

КОМПОЗИТНЫЕ МАТЕРИАЛЫ НА ОСНОВЕ БИОСОВМЕСТИМОГО МЕТАЛЛ-ОРГАНИЧЕСКОГО КООРДИНАЦИОННОГО ПОЛИМЕРА И АНТОЦИАНОВ ЦВЕТКОВ СУДАНСКОЙ РОЗЫ Hibiscus sabdariffa ДЛЯ АКТИВНОЙ УПАКОВКИ ПИЩЕВЫХ ПРОДУКТОВ

© 2024 г. А. М. Пак^{1, 2}, В. В. Новиков^{2, *}

¹Институт элементоорганических соединений им. А. Н. Несмеянова РАН, Москва, Россия ²Московский физико-технический институт (национальный исследовательский университет), Москва, Россия

*e-mail: novikov84@gmail.com

Поступила в редакцию 02.05.2023 г. После доработки 27.07.2023 г. Принята к публикации 28.07.2023 г.

Биосовместимый металл-органический координационный полимер $[Zn_4(GA)_4(H_2O)_4] \cdot 4H_2O$ ($H_2GA = глу-$ таминовая кислота) использован в качестве "контейнера" для антоцианов цветков суданской розы *Hibiscus sabdariffa* в композитных пленках на основе каппа-каррагинана и гидроксипропилметилцеллюлозы. Полученные композитные материалы проявили высокую антиоксидантную активность и способность к цветовому рН-переходу при взаимодействии с газообразными продуктами развития патогенных организмов, что указывает на потенциал их практического применения в качестве функциональных материалов для упаковки пищевых продуктов.

Ключевые слова: биосовместимый металл-органический координационный полимер, антоцианы, активная упаковка, гидроколлоиды, композитные материалы

DOI: 10.31857/S0132344X24020012 **EDN**: OSGKHL

Активная пищевая упаковка [1] является одним из самых динамично развивающихся направлений современной пищевой химии. Благодаря наличию компонентов различной природы, обладающих биологической активностью, композитные материалы могут увеличить срок хранения продуктов питания путем ингибирования процессов, ведущих к их порче [2]. В роли активных агентов в составе таких материалов часто выступают антоцианы [3]. Эти распространенные в растительном мире водорастворимые окрашенные флавоноиды, придающие окраску цветкам, листьям и плодам многих растений, используются как натуральные красители в пищевых продуктах и напитках [4]. Антоцианы меняют свою окраску от красной (в сильнокислой среде) до фиолетовой (в нейтральной среде) и зелено-желтой (в щелочной среде) [5], благодаря чему материалы на их основе подходят [6] для определения накопления в пищевой упаковке газообразных продуктов развития патогенных организмов – биогенных аминов и СО₂. Благодаря своей полифенольной природе антоцианы обладают широким спектром биоактивных свойств, включающих антиоксидантную, антибактериальную и противовоспалительную активность. Например, антоцианы в цветках суданской розы (англ. Hibiscus sabdariffa) проявляют антимикробные [7] и антиоксидантные [8] свойства, снижают уровень холестерина [9], предотвращают заболевания почек [10] и снижают артериальную гипертензию у пациентов с сахарным диабетом II типа [11].

В современных исследованиях в области активной пищевой упаковки важная роль отведена композитным материалам на основе природных гидроколлоидов [12]. Эти водорастворимые биополимеры полисахаридной и белковой природы давно нашли свое применение в пищевой индустрии в качестве эмульсификаторов [13], загустителей [14], стабилизаторов [15] и желирующих агентов [16]. Такой интерес научного сообщества к гидроколлоидам вызван их способностью образовывать трехмерные сетки геля в водных и спиртовых растворах, которые после удаления растворителя формируют прочные пленочные покрытия [17]. Полученные пленки (в отличие от упаковочных материалов из традиционных синтетических полимеров) полностью биосовместимы и биоразлагаемы [18], что делает исследования материалов на основе гидроколлоидов особенно актуальными.

Введение антоцианов в гидроколлоидную матрицу осложнено высокой чувствительностью их молекул к свету, кислороду, температуре и наличию ферментов [3], что ограничивает их применение в пищевой упаковке длительного хранения. Одним из способов решения данной проблемы является нанопакетирование молекул антоцианов в пористые материалы, такие как цеолиты [19] и натуральные глины [20]. Такой подход позволяет стабилизировать молекулы антоцианов, а при использовании субстрата, также обладающего активными свойствами, создавать композитные материалы комплексного действия [21].

Металл-органические координационные полимеры (МОКП) являются уникальным классом пористых кристаллических материалов [22], обладающих огромной удельной поверхностью и контролируемой структурой пор, определяемой природой выбранных на этапе синтеза структурных компонентов [23]. МОКП активно применяются в различных областях науки, например в катализе [24], для разделения смесей газов [25] и оптически-активных соединений [26], адресной доставки лекарств [27] и биомедицинской визуализации [28]. Однако они до сих пор не рассматривались в качестве субстрата для малостабильных молекул в материалах для активной пищевой упаковки. Ранее авторами статьи были описаны примеры использования MOKП ZnGlu $\{[Zn_4(GA)_4(H_2O)_4] \cdot 4H_2O\}_n (H_2GA = глутамино$ вая кислота) как носителя антимикробных гидрофобных молекул [29] в составе композитных материалов для данного применения.

В настоящей работе нами получены композитные материалы на основе гидроколлоидной матрицы, состоящей из каппа-каррагинана и гидроксипропилметицеллюлозы, биосовместимого МОКП ZnGlu и антоцианов цветков суданской розы. Полученные материалы продемонстрировали хорошую антиоксидантную активность для использования в качестве активных упаковочных материалов для определения газообразных продуктов развития патогенных организмов.

ЭКСПЕРИМЕНТАЛЬНАЯ ЧАСТЬ

Все операции, связанные с синтезом МОКП и получением композитных пленок, выполняли на воздухе с использованием коммерчески до-

ступных реагентов и растворителей. Анализ на содержание углерода и водорода проводили на микроанализаторе Carlo Erba, модель 1106.

Для экстракция антоцианов брали 5 г сухого порошка чашечек суданской розы (англ. *Hibiscus sabdariffa*), помещали в подкисленный лимонной кислотой этанол (30 мл, pH 2) и выдерживали в ультразвуковой бане при 80°С в течение 30 мин. Полученный экстракт гибискуса отделяли центрифугированием и хранили в закрытом сосуде в холодном темном месте.

Синтез ZnGlu проводили согласно адаптированному ранее опубликованному протоколу [30]. К раствору L-глутаминовой кислоты (50 ммоль, 7.36 г) и гидроксида натрия (100 ммоль, 4 г) в дистиллированной воде (100 мл) при перемешивании по каплям добавляли раствор гексагидрата нитрата цинка (50 ммоль, 14.86 г) в воде (100 мл). Реакционную смесь перемешивали при комнатной температуре в течение 30 мин. Полученный осадок отфильтровывали, промывали водой и сушили при комнатной температуре. Выход — 13.57 г (97%).

Найдено, %: С 24.43; H 4.68; N 5.64. Для $C_{24}H_{12}O_{13}Zn_4$ вычислено, %: С 24.36; H 4.51; N 5.68.

Синтез ZnGlu-HE. Внедрение молекул антоцианов в частицы МОКП проводили вымачиванием порошка ZnGlu в спиртовом экстракте суданской розы при перемешивании в течение 12 ч. Полученный фиолетовый порошок отфильтровывали, промывали спиртом и сушили при комнатной температуре.

Получение композитных пленок. Порошок ZnGlu или ZnGlu-HE добавляли в различных количествах (5, 15, 30 масс. % общей массы гидроколлоидов) к раствору глицерина (0.80 г) и сорбата калия (0.02 г) в дистиллированной воде (100 мл). Смесь перемешивали с помощью ультразвуковой бани в течение 3 мин, после чего нагревали до 80°C. Смесь каппа-каррагинана (1.60 г) и гидроксипропилметилцеллюлозы (0.40 г) вносили при перемешивании, а полученную в результате однородную суспензию охлаждали при перемешивании до 50°C. Раствор выливали на стекло, подогретое до температуры 50°C, разравнивали с помощью ножевого устройства с высотой ножа 3 мм и оставляли на подогреваемой подложке до полного высыхания. Полученную пленку отделяли от стекла и хранили в сухом месте при комнатной температуре.

Исследования методом порошковой рентгеновской дифракции проводили на дифрактометре Proto AXRD с медным анодом, никелевым K_{β} -фильтром ($K_{\alpha}=1.541874$ Å) и 1D-детектором Dectris Mythen 1K в геометрии Брэгга—Брентано в угловом диапазоне $5^{\circ}-50^{\circ}$ с шагом 0.02° по углу 2θ .

Исследование антиоксидантной активности методом FRAP (Ferric Reducing Antioxidant Power assay) проводили с помощью спектрофотометра Shimadzu UV-2600. Образцы композитных пленок (50 мг) нагревали до 50°С в водном растворе гексацианоферрата(III) калия (1 масс.%, 2.5 мл) в течение 3 ч, после чего добавляли водные растворы уксусной кислоты (10%, 2.5 мл) и нитрата железа(III) (0.1 масс.%, 5 мл). После окончания реакции, протекание которой определялось появлением синей окраски, раствор центрифугировали и отделяли для регистрации спектра поглощения на длине волны 700 нм.

РЕЗУЛЬТАТЫ И ИХ ОБСУЖДЕНИЕ

Синтез ZnGlu проводили по ранее опубликованному экологичному протоколу путем прямого осаждения из водного раствора при комнатной температуре [30]. Данные рентгеновской дифракции ZnGlu (рис. 1), совпадающие с теоретически рассчитанными для чистого ZnGlu, подтвердили образование данного МОКП. Внедрение антоцианов, полученных ультразвуковой экстракцией из порошка чашечек суданской розы, в частицы МОКП проводили вымачиванием порошка ZnGlu в спиртовом экстракте в течение 12 ч. При этом белый порошок ZnGlu приобретал фиолетовую окраску.

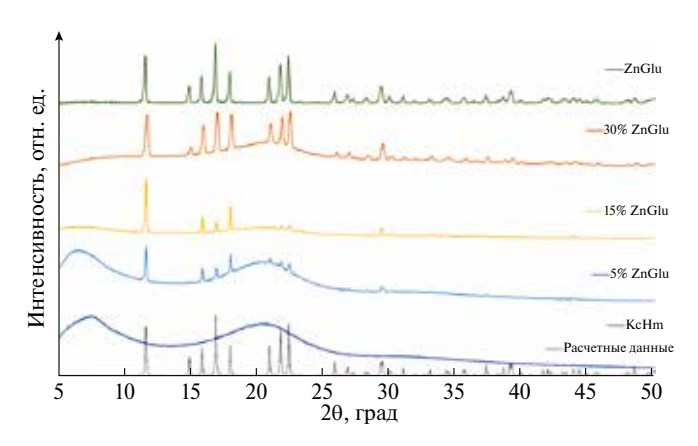


Рис. 1. Данные порошковой рентгеновской дифракции для образцов ZnGlu и композитных пленок на его основе, добавленного в количествах 5, 15 и 30% общей массы гидроколлоидов, в сравнении с теоретически рассчитанной дифрактограммой ZnGlu.

Композитные пленки на основе и ZnGlu-HE и гидроколлоидной матрицы из каппа-каррагинана и гидроксипропилметилцеллюлозы в соотношении 4:1 [29] получали путем формования пленкообразующего раствора методом "doctor blade" с использованием мембранно-наливочной машины ножевого типа [31]. В состав композитной смеси также лобавляли глицерин в качестве пластификатора и сорбат калия в качестве консерванта и источника ионов калия, снижающих отталкивание между сульфатными группами каппа-каррагинана для создания эластичного геля [32]. Порошки ZnGlu и ZnGlu-НЕ распределяли в растворе вышеуказанных добавочных агентов с помощью ультразвукового перемешивания в течение 3 мин перед добавлением смеси гидроколлоидов. В качестве контрольного образца выступала гидроколлоидная пленка (КсНт), которая не содержала частиц МОКП.

Все изготовленные композитные пленки (рис. 2) обладали высокой эластичностью, при этом их прозрачность снижалась с увеличением концентрации МОКП. Помимо этого пленки, содержащие ZnGlu-HE, обладали фиолетовой окраской, интенсивность которой также усиливалась при увеличении концентрации ZnGlu-HE. Анализ дифрактограмм (см. рис. 1) образцов композитных пленок подтвердил наличие в них кристаллической фазы, отвечающей ZnGlu (кроме контрольного образца).

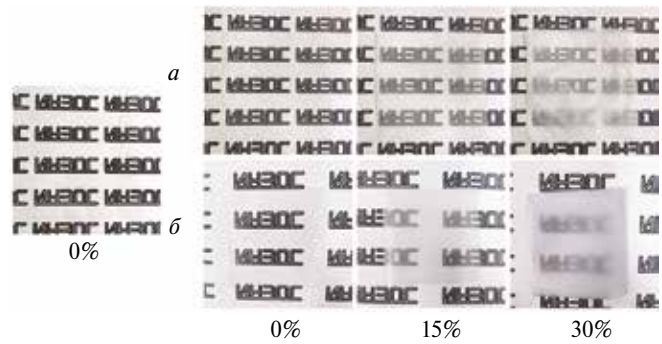


Рис. 2. Фотографии композитных пленок на основе ZnGlu и ZnGlu-HE различного состава.

Для определения характера изменения окраски раствора экстракта гибискуса в зависимости от кислотности среды небольшое количество экстракта гибискуса помещали в растворы с различными значениями рН (рис. 3). При этом наблюдали переход из розового (кислая среда) в синий (нейтральная-слабощелочная среда) и зеленый (щелочная среда).



Рис. 3. Изменение окраски экстракта чашечек суданской розы в зависимости от кислотности среды, указанной на виалах.

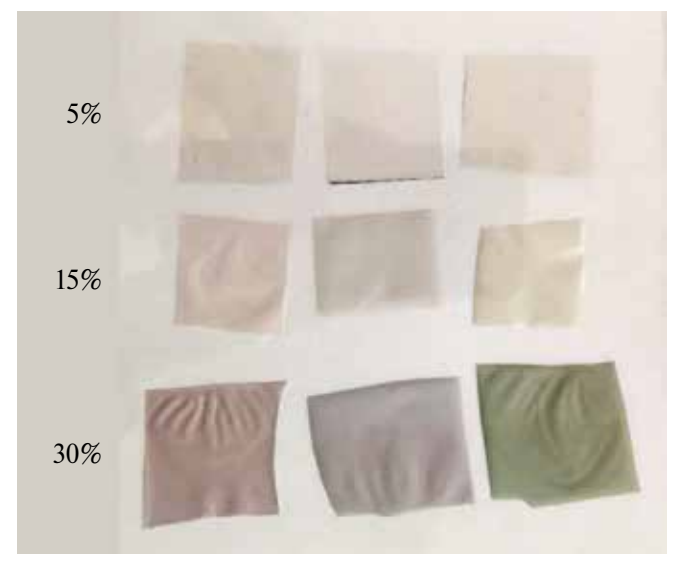


Рис. 4. Изменение окраски композитных пленок на основе ZnGlu-HE при воздействии с парами уксусной кислоты и аммиака. Слева от фотографии указан весовой процент МОКП относительно суммарного веса гидроколлоидной матрицы.

Выдерживание образцов полученных композитных пленок, содержащих ZnGlu-HE, в закрытых сосудах над растворами уксусной кислоты и аммиака в течение более 5 мин приводило к изменению окраски пленок, соответствующее ожидаемому изменению рН (рис. 4). С ростом содержания МОКП окрашивание композитных пленок становилось более интенсивным, благодаря чему заметный переход наблюдался для образцов с содержанием МОКП 15 и 30%.

В соответствии с результатами исследования антиоксидантной активности композитных пленок по методу FRAP, основанному на способности антиоксидантов восстанавливать ионы железа(III), было обнаружено, что увеличение содержания ZnGlu-HE ведет к увеличению восстановительной способности композитных пленок (рис. 5). Наблюдаемое небольшое увеличение восстановительной способности

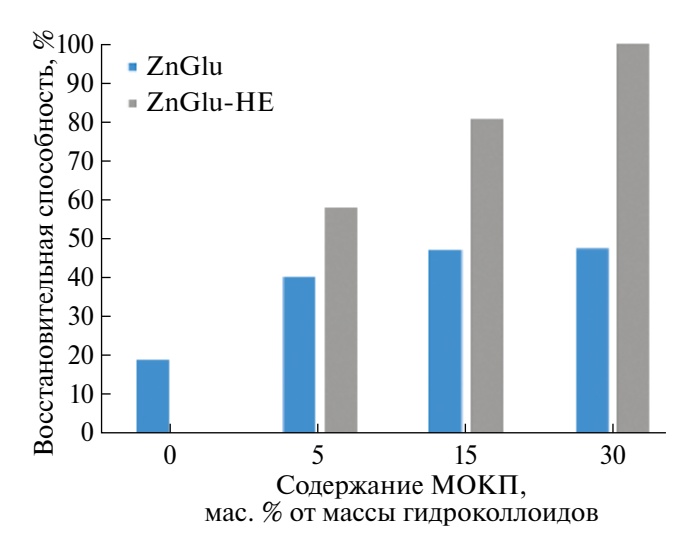


Рис. 5. Восстановительная способность композитных пленок на основе ZnGlu-HE в сравнении с композитными пленками, содержащими ZnGlu.

композитных пленок, содержащих исходный МОКП, по сравнению с контрольным образцом может быть связано с синергетическим эффектом взаимодействия каппа-каррагинана и МОКП.

Таким образом, нами получены новые композитные пленки на основе гидроколлоидной матрицы из смеси каппа-каррагинана и гидроксипропилметилцеллюлозы, содержащие стицы МОКП ZnGlu с антоцианами, полученными ультразвуковой экстракцией из порошка чашечек суданской розы. Данные материалы охарактеризованы с помощью порошковой рентгеновской дифракции и спектрофотометрии. Наличие антиоксидантной активности и рН-чувствительного цветового перехода данных композитных материалов указывает на возможность дальнейшего использования МОКП в качестве субстрата для активных агентов в функциональных материалах для активной упаковки пищевых продуктов.

Авторы заявляют об отсутствии конфликта интересов.

ФИНАНСИРОВАНИЕ

Работа выполнена при финансовой поддержке Российского научного фонда (грант № 20-73-10200). Элементный анализ проводили на оборудовании Центра исследования строения молекул ИНЭОС РАН при поддержке Министерства науки и высшего образования Российской Федерации (Госзадание № 075-03-2023-642).

СПИСОК ЛИТЕРАТУРЫ

- Yildirim S., Röcker B., Pettersen M. K. et al. // Compr. Rev. Food Sci. Food Saf. 2018. V. 17. № 1. P. 165.
- 2. *Ozdemir M., Floros J. D. //* Crit. Rev. Food Sci. Nutr. Taylor & Francis, 2004. V. 4. № 3. P. 185.
- 3. Oliveira Filho J. G. de, Braga A. R.C., Oliveira B. R. de et al. // Food Res. Int. 2021. V. 142. P. 110202.
- 4. *Khoo H.E.*, *Azlan A.*, *Tang S. T. et al.* // Food Nutr. Res. 2017. V. 61. № 1. P. 1361779.
- 5. *Etxabide A., Kilmartin P.A., Maté J. I.* // Food Control. 2021. V. 121. P. 107645.
- 6. *Priyadarshi R., Ezati P., Rhim J.-W.* // ACS Food Sci. Technol. 2021. V. 1. № 2.
- 7. *Abdallah E.M.* // J. Acute Dis. 2016. V. 5. № 6. P. 512.
- 8. *Jabeur I., Pereira E., Barros L. et al.* // Food Res. Int. 2017. V. 100. P. 717.
- 9. *Lin T.-L.*, *Lin H.-H.*, *Chen C.-C. et al.* // Nutr. Res. 2007. V. 27. № 3. P. 140.
- 10. *Ali B.H.*, *Cahliková L.*, *Opletal L. et al.* // J. Pharm. Pharmacol. 2017. V. 69. № 9. P. 1219.
- 11. *Mozaffari-Khosravi H., Jalali-Khanabadi B.-A., Afkha-mi-Ardekani M. et al.* // J. Hum. Hypertens. 2009. V. 23. № 1. P. 48.
- 12. *Siracusa V., Rocculi P., Romani S. et al.* // Trends Food Sci. Technol. 2008. V. 19. № 12. P. 634.
- 13. *Dickinson E.* // Food Hydrocoll. Elsevier. 2009. V. 23. № 6. P. 1473.
- 14. *Saha D.*, *Bhattacharya S.* // J. Food Sci. Technol. 2010. V. 47. № 6. P. 587.
- 15. *Krempel M., Griffin K., Khouryieh H.* Preservatives and Preservation Approaches in Beverages / Ed. Grumezescu A. M., Holban A. M. Academic Press, 2019. P. 427.
- 16. *Vries J. de* // Conf. Gums and Stabilisers for the Food Industry 12. 2004. P. 23.

- 17. *BeMiller J.N.* // Gluten-Free Cereal Products and Beverages / Ed. Arendt E. K., Dal Bello F. San Diego: Academic Press, 2008. P. 203.
- Jiménez A., Requena R., Vargas M. et al. Role of Materials Science in Food Bioengineering. Elsevier, 2018.
 P. 266.
- 19. *Hanula M., Pogorzelska-Nowicka E., Pogorzelski G. et al.* // Agriculture. Multidisciplinary Digital Publishing Institute. 2021. V.11. № 7. P. 653.
- 20. *Gutiérrez T.J.*, *León I. E.*, *Ponce A. G. et al.* // Polymers. Multidisciplinary Digital Publishing Institute. 2022. V. 14. № 22. P. 4881.
- 21. Alizadeh Sani M., Tavassoli M., Salim S. A. et al. // Food Hydrocoll. 2022. V. 124. P. 107324.
- 22. Wang Q., Astruc D. // Chem. Rev. 2020. V. 120. № 2. P. 1438.
- 23. *Kirchon A., Feng L., Drake H. F. et al.* // Chem. Soc. Rev. 2018. V. 47. № 23. P. 8611.
- 24. *McKinlay A.C.*, *Morris R. E.*, *Horcajada P. et al.* // Ang Chem Int Ed. 2010. V. 49. № 36. P. 6260.
- 25. *Li J.-R.*, *Sculley J.*, *Zhou H.-C.* // Chem. Rev. 2012. V. 112. № 2. P. 869.
- 26. *Dybtsev D.N.*, *Nuzhdin A. L.*, *Chun H. et al.* // Angew. Chem. 2006. V. 118. № 6. P. 930.
- 27. *Horcajada P., Chalati T., Serre C. et al.* // Nat. Mater. 2010. V. 9. P. 172.
- 28. Wang H.-S. // Coord. Chem. Rev. 2017. V. 349. P. 139.
- 29. *Pak A.M., Zakharchenko E. N., Korlyukov A. A. et al.* // Russ. J. Coord. Chem. 2022. V. 48. № 4. P. 195.
- 30. *Kathalikkattil A.C., Roshan R., Tharun J. et al.* // Chem. Commun. 2016. V. 52. № 2. P. 280.
- 31. Cherrington R., Liang J. Materials and Deposition for Plastic Components for Multifunctionalty. Oxford: William Andrew Publishing, 2016. V. 13. № 6. P. 3340.
- 32. *Rhein-Knudsen N., Ale M. T., Meyer A. S. //* Mar. Drugs. 2015. V. 13. № 6. P. 3340.

Composite Materials Based on Biocompatible Metal-Organic Framework and Anthocyanins from *Hibiscus sabdariffa* for Active Food Packaging

A. M. Pak^{1, 2} and V. V. Novikov^{2, *}

¹Nesmeyanov Institute of Organoelement Compounds, Russian Academy of Sciences, Moscow, Russia ²Moscow Institute of Physics and Technology (National Research University), Moscow, Russia

*e-mail: novikov84@ineos.ac.ru

The biocompatible metal-organic framework $[Zn_4(GA)_4(H_2O)_4] \cdot 4H_2O$ (H_2GA = glutamic acid) was used as a container for anthocyanins from Hibiscus sabdariffa in composite films based on kappa-carrageenan and hydroxypropyl methylcellulose. The obtained composite materials showed high antioxidant activity and ability to undergo pH-induced color change upon reactions with gaseous products of pathogen development and, hence, possess the potential for practical application as functional materials for food packaging.

Keywords: biocompatible metal-organic frameworks, anthocyanins, active packaging, hydrocolloids, composite materials

REFERENCES

- Yildirim S., Röcker B., Pettersen M. K. et al. // Compr. Rev. Food Sci. Food Saf. 2018. V. 17. № 1. P. 165.
- 2. *Ozdemir M., Floros J. D.* // Crit. Rev. Food Sci. Nutr. Taylor & Francis, 2004. V. 4. № 3. P. 185.
- 3. Oliveira Filho J. G. de, Braga A. R.C., Oliveira B. R. de et al. // Food Res. Int. 2021. V. 142. P. 110202.
- 4. *Khoo H.E., Azlan A., Tang S. T. et al.* // Food Nutr. Res. 2017. V. 61. № 1. P. 1361779.
- Etxabide A., Kilmartin P.A., Maté J. I. // Food Control. 2021. V. 121. P. 107645.
- Priyadarshi R., Ezati P., Rhim J.-W. // ACS Food Sci. Technol. 2021. V. 1. № 2.
- 7. *Abdallah E.M.* // J. Acute Dis. 2016. V. 5. № 6. P. 512.
- 8. *Jabeur I., Pereira E., Barros L. et al.* // Food Res. Int. 2017. V. 100. P. 717.
- 9. *Lin T.-L.*, *Lin H.-H.*, *Chen C.-C. et al.* // Nutr. Res. 2007. V. 27. № 3. P. 140.
- 10. *Ali B.H.*, *Cahliková L.*, *Opletal L. et al.* // J. Pharm. Pharmacol. 2017. V. 69. № 9. P. 1219.
- 11. *Mozaffari-Khosravi H., Jalali-Khanabadi B.-A., Afkha-mi-Ardekani M. et al.* // J. Hum. Hypertens. 2009. V. 23. № 1. P. 48.
- 12. *Siracusa V., Rocculi P., Romani S. et al.* // Trends Food Sci. Technol. 2008. V. 19. № 12. P. 634.
- 13. *Dickinson E.* // Food Hydrocoll. Elsevier. 2009. V. 23. № 6. P. 1473.
- 14. *Saha D., Bhattacharya S.* // J. Food Sci. Technol. 2010. V. 47. № 6. P. 587.
- 15. Krempel M., Griffin K., Khouryieh H. Preservatives and Preservation Approaches in Beverages / Ed. Grumezescu A. M., Holban A. M. Academic Press, 2019. P. 427.
- 16. *Vries J. de* // Conf. Gums and Stabilisers for the Food Industry 12. 2004. P. 23.

- 17. *BeMiller J.N.* // Gluten-Free Cereal Products and Beverages / Ed. Arendt E. K., Dal Bello F. San Diego: Academic Press, 2008. P. 203.
- 18. *Jiménez A., Requena R., Vargas M. et al.* Role of Materials Science in Food Bioengineering. Elsevier, 2018. P. 266.
- 19. *Hanula M., Pogorzelska-Nowicka E., Pogorzelski G. et al.* // Agriculture. Multidisciplinary Digital Publishing Institute. 2021. V. 11. № 7. P. 653.
- 20. *Gutiérrez T.J.*, *León I. E.*, *Ponce A. G. et al.* // Polymers. Multidisciplinary Digital Publishing Institute. 2022. V. 14. № 22. P. 4881.
- 21. Alizadeh Sani M., Tavassoli M., Salim S. A. et al. // Food Hydrocoll. 2022. V. 124. P. 107324.
- 22. Wang Q., Astruc D. // Chem. Rev. 2020. V. 120. № 2. P. 1438.
- 23. *Kirchon A., Feng L., Drake H. F. et al.* // Chem. Soc. Rev. 2018. V. 47. № 23. P. 8611.
- 24. *McKinlay A.C.*, *Morris R. E.*, *Horcajada P. et al.* // Ang Chem Int Ed. 2010. V. 49. № 36. P. 6260.
- 25. *Li J.-R.*, *Sculley J.*, *Zhou H.-C.* // Chem. Rev. 2012. V. 112. № 2. P. 869.
- 26. *Dybtsev D.N.*, *Nuzhdin A. L.*, *Chun H. et al.* // Angew. Chem. 2006. V. 118. № 6. P. 930.
- 27. Horcajada P., Chalati T., Serre C. et al. // Nat. Mater. 2010. V. 9. P. 172.
- 28. Wang H.-S. // Coord. Chem. Rev. 2017. V. 349. P. 139.
- 29. *Pak A.M., Zakharchenko E. N., Korlyukov A. A. et al.* // Russ. J. Coord. Chem. 2022. V. 48. № 4. P. 195.
- 30. *Kathalikkattil A.C., Roshan R., Tharun J. et al.* // Chem. Commun. 2016. V. 52. № 2. P. 280.
- 31. Cherrington R., Liang J. Materials and Deposition for Plastic Components for Multifunctionalty. Oxford: William Andrew Publishing, 2016. V. 13. № 6. P. 3340.
- 32. *Rhein-Knudsen N., Ale M. T., Meyer A. S. //* Mar. Drugs. 2015. V. 13. № 6. P. 3340.

УДК 541.6; 541.49; 54.057; 544.176

ВЛИЯНИЕ ПРИРОДЫ РАСТВОРИТЕЛЯ НА СПИНОВОЕ РАВНОВЕСИЕ В РАСТВОРАХ ФЕНИЛБОРАТНОГО ГЕКСА-*н*-БУТИЛСУЛЬФИДНОГО КЛАТРОХЕЛАТА КОБАЛЬТА(II) ПО ДАННЫМ ПАРАМАГНИТНОЙ СПЕКТРОСКОПИИ ЯМР

© 2024 г. Д. Ю. Алешин^{1, 2}, В. В. Злобина³, А. С. Белов⁴, Я. З. Волошин⁴, А. А. Павлов^{2, 4, *}

¹Институт общей и неорганической химии им. Н. С. Курнакова РАН, Москва, Россия ²Московский государственный технический университет им. Н. Э. Баумана, Москва, Россия ³Московский физико-технический институт, Долгопрудный, Россия ⁴Институт элементоорганических соединений им. А. Н. Несмеянова РАН, Москва, Россия

*e-mail: a.pavlov@emtc.ru

Поступила в редакцию 11.05.2023 г. После доработки 09.06.2023 г. Принята к публикации 21.06.2023 г.

Методом парамагнитной ЯМР-спектроскопии изучено спиновое состояние фенилборатного гекса-*н*-бутилсульфидного клатрохелата кобальта(II) в его растворах. Показано, что этот клеточный комплекс претерпевает температурно-индуцированный спиновый переход в растворителях различной природы (ацетонитриле, хлороформе, хлористом метилене и бензоле). Разработанный нами ранее метод анализа парамагнитных сдвигов в ЯМР-спектрах позволил определить термодинамические параметры (энтальпию и энтропию) спинового равновесия в этих растворах. Показано, что, несмотря на конформационную жесткость макробициклических *трис*-диоксиматных молекул, наблюдаются существенные изменения в их электронной структуре и параметрах спинового равновесия в зависимости от полярности используемого растворителя. Это открывает возможности для тонкой настройки характеристик спинового переключателя путем изменения этой характеристики среды.

Ключевые слова: спиновый переход, парамагнитный ЯМР, клатрохелаты, комплексы кобальта(II) **DOI**: 10.31857/S0132344X24020021 **EDN**: OSFIWG

Получение новых функциональных материалов, свойства которых определяются на молекулярном уровне, является важнейшей задачей современного материаловедения. Одним из типов таких молекулярных материалов являются спиновые переключатели, проявляющие бистабильность в зависимости от условий внешней среды [1]. Благодаря этому уникальному свойству, они могут успешно использоваться в современной молекулярной электронике [2], спинтронике [3, 4], магнитно-резонансной томографии [5], сенсорике [6–8] и пищевой химии [9]. Основой спиновых переключателей в большинстве случаев являются комплексы переходных металлов, способные проявлять как свойства мономолекулярных магнитов, так и претерпевать спиновый переход. Первые проявляют квантовую бистабильность при изменении внешнего магнитного поля, поэтому перспективны для их использования в квантовых вычислениях [10]. Комплексы второго типа, претерпевающие спиновый переход, проявляют бистабильность по полному электронному спиновому моменту (S) в зависимости от условий внешней среды, в частности при изменении температуры [11] и/или давления [12], при приложении электромагнитного поля [13] или изменении кислотности среды [14]. Наиболее широко изучены претерпевающие спиновый переход комплексы ионов железа(II) [15, 16] и кобальта(II) [17, 18]. Последний может находиться в двух спиновых состояниях: низкоспиновом с величиной полного электронного спинового квантового числа S = 1/2 и высокоспиновом с S = 3/2.

Важнейшей характеристикой спинового переключателя является температура полуперехода $(T_{1/2})$, при которой соответствующие спиновые состояния равнозаселены. С точки зрения практического использования, температура полупетического использования и полупетического и полупетичетического и полупетического и п

рехода наиболее удобна для реализации заданного спинового переключателя. Этот параметр, являясь отражением электронной структуры молекулы, естественным образом зависит и от ее химической природы (т.е. от порядка ковалентных и донорно-акцепторных связей в ней). Поэтому направленный молекулярный дизайн комплексов переходных металлов с заданной величиной $T_{1/2}$ является, несомненно, актуальной задачей при создания новых "умных" магнитно-активных материалов и устройств.

Макробициклические трис-α-дииминаты переходных металлов (клатрохелаты [19, 20]) обладают уникальными физическими и физико-химическими свойствами благодаря 3D-геометрии их макрополициклических инкапсулирующих лигандов, обеспечивающих их конформационную жесткость и полную изоляцию центрального иона металла от внешних факторов [19, 20]. Благодаря этим особенностям клатрохелаты кобальта(II) обладают высокой магнитной анизотропией и химической устойчивостью в различных средах, что позволило предложить их в качестве перспективных парамагнитных меток для структурной биологии [21], парамагнитных зондов для МРТ [22], моноионных мономолекулярных магнитов [23] и спиновых переключателей [24]. Однако, несмотря на высокую конформационную жесткость их 3D-молекул, природа внешней среды может оказывать значительное влияние на магнитные характеристики этих металл-центрированных систем. В частности, ранее нами было установлено [25, 26] влияние полиморфизма кристаллов одного из клатрохелатов кобальта(II) на параметры его электронной структуры и барьер перемагничивания для его полиморфных кристаллических форм. Это являлось предпосылкой дальнейшего изучения влияния природы среды на эти параметры не только в твердой фазе, но и в растворах. Для этих целей нами был выбран типичный представитель клатрохелатов кобальта(II), образованный фенилборатным гекса-*н*-бутилсульфидным макробициклическим лигандом. Ранее было установлено [27], что этот комплекс проявляет температурно-индуцируемый спиновый переход в кристаллах. В настоящей работе были использованы разработанные нами ранее [28, 29] подходы парамагнитной спектроскопии ЯМР к изучению характеристик спинового перехода этого клатрохелата кобальта(II) в растворителях различной природы.

ЭКСПЕРИМЕНТАЛЬНАЯ ЧАСТЬ

Использовали фенилборатный гекса-н-бутилсульфидный клатрохелат кобальта(II) (I) (схема 1), синтезированный по известной методике [27]. Его гексахлороклатрохелатный предшественник получали темплатной конденсацией на матрице — ионе кобальта(II), как описано в [19]. Состав и строение полученного комплекса подтверждены данными элементного анализа, а также спектроскопии ЯМР ¹Н. Элементный анализ на углерод, азот и водород проводили на микроанализаторе Carlo Erba, модель 1106.

Найдено, %: С 49.33; H 6.17; N 8.25. Для $C_{42}H_{64}B_2N_6O_6S_6Co$ вычислено, %: С 49.31; H 6.26; N 8.22.

Спектр ЯМР ¹H (CDCl₃; 300 K; δ, м.д.): 0.60 (уш. с., 30H, CH₃CH₂), 0.93 (уш. с., 12H, CH₂), 6.53 (уш. с., 12H, CH₂S), 10.05 (уш. с., 2H, *na-pa*-Ph), 10.58 (уш. с., 4H, *мета*-Ph), 16.45 (уш. с., 4H, *орто*-Ph).

Спектры ЯМР 1 Н при различных температурах регистрировали для растворов комплекса I в CD₃CN, CD₂Cl₂, CDCl₃ и C₆D₆ на спектроме-

тре Bruker Avance 300 (300.22 МГц). Величины химических сдвигов (δ , м.д.) в спектрах определяли относительно остаточного сигнала растворителя ($\delta^1_{\rm H}$ для CD₃CN, CD₂Cl₂, C₆D₆ и CDCl₃ равны 1.94, 5.32, 7.26 и 7.16 м.д. соответственно). Спектры ЯМР ¹Н регистрировали с использованием следующих параметров: спектральный диапазон — 250 м.д.; время регистрации — 0.1 с; длительность релаксационной задержки — 0.1 с; длительность импульса — 9.0 мкс; число накоплений — 512. Полученные спады свободной индукции в случае необходимости повышения соотношения сигнал/шум обрабатывали, используя экспоненциальное взвешивание с коэффициентом до 3 Гц.

Все квантово-химические расчеты для молекулы I проводили с использованием пакета программ ORCA 5.0.3 [30] в рамках теории функционала плотности (DFT). Ее геометрию оптимизировали как для низкоспинового (S = 1/2), так и высокоспинового (S = 3/2) состояний с использованием гибридного функционала B3LYP [31], базисного набора def2-TZVP [32] и аппроксимации интегралов RIJCOSX [33] для уменьшения расчетного времени. В качестве начального приближения использовали молекулярную структуру этого клатрохелата, ранее установленную [27] методом монокристального РСА. Используя рассчитанную геометрию его высоко- и низкоспинового состояний, получали величины д-тензора и тензоров сверхтонкого взаимодействия для протонов молекулы I с использованием гибридного функционала ВЗLYР [34] и базисного набора def2-TZVP.

Контактный сдвиг рассчитывали по следующей формуле:

$$\delta_i^{\kappa} = \frac{4\pi\mu_B^2}{9kT}g^{iso}\rho_i,\tag{1}$$

где g^{iso} — изотропная величина g-тензора; ρ_i — спиновая плотность на ядре i.

РЕЗУЛЬТАТЫ И ИХ ОБСУЖДЕНИЕ

Ранее нами был разработан метод изучения спинового состояния комплексов переходных металлов в их растворах с использованием парамагнитной спектроскопии ЯМР [28]. В отличие от более распространенного метода Эванса, эффективность этого подхода не зависит от чистоты исследуемого образца. Его суть состоит в регистрации ЯМР-сигналов для такого парамагнитного комплекса в его растворе и их последующим

анализе. В этом случае экспериментально наблюдаемый химический сдвиг определяется тремя составляющими: диамагнитным, контактным и дипольным вкладами:

$$\delta = \delta_{_{\Pi MA}} + \delta_{_{K}} + \delta_{_{\Pi}}. \tag{2}$$

Последние два вклада обусловлены взаимодействием магнитных моментов ядра и электрона. Их изотропная часть приводит к контактному сдвигу Ферми, а анизотропная – к дипольному сдвигу. С физической точки зрения, первый из них обусловлен перераспределением спиновой плотности на ядро через систему молекулярных орбиталей (уравнение (1)), тогда как второй – диполь-дипольным взаимодействием магнитных моментов. Как следствие, величина дипольного сдвига напрямую зависит от взаимного расположения взаимодействующих частиц в пространстве (уравнение (3)), что лежит в основе концепции парамагнитных меток для изучения пространственной структуры биологических макромолекул [35]:

$$\delta_{\pi} = \frac{1}{12\pi r^3} \left[\Delta \chi_{ax} \left(3\cos^2 \theta - 1 \right) + \frac{3}{2} \Delta \chi_{rh} \sin^2 \theta \cos 2\phi \right], (3)$$

где r, θ и ϕ — сферические координаты ядра в системе координат тензора магнитной восприимчивости (χ); $\Delta \chi_{ax, rh}$ — аксиальная и ромбическая анизотропия тензора χ .

Молекула изученного комплекса кобальта(II) имеет аксиальную C_3 -псевдосимметрию. В этом случае уравнение (3) упрощается:

$$\delta_{\pi} = \frac{1}{12\pi r^3} \left[\Delta \chi_{ax} \left(3\cos^2 \theta - 1 \right) \right]. \tag{4}$$

Различные спиновые состояния комплекса I характеризуются различным числом неспаренных электронов и их распределением в его молекуле, что, очевидно, влияет на величины контактного и дипольного сдвигов в его ЯМР-спектрах. Таким образом, изучение парамагнитных сдвигов ЯМР предоставляет возможность определить спиновое состояние клатрохелата I, что и является целью вышеупомянутого подхода парамагнитной ЯМР-спектроскопии. В случае заселенности обоих спиновых состояний и быстрого (в шкале времени ЯМР) установления равновесия между ними наблюдаемый химический сдвиг будет средневзвешенным:

$$\delta^{HC} = \delta^{HC} \eta^{HC} + \delta^{BC} \eta^{BC}, \tag{5}$$

где δ^{HC} и δ^{BC} — величины химического сдвига данного ядра в низко- и высокоспиновом состояниях молекулы соответственно; η^{HC} и η^{BC} — заселенности этих состояний, причем η^{HC} + δ^{BC} = 1.

В случае температурно-индуцируемого спинового перехода заселенности спиновых состояний зависят от температуры в соответствии с его термодинамическими параметрами:

$$K = \frac{\eta_T^{\rm BC}}{\eta_T^{\rm HC}} = e^{\frac{-\Delta H + T\Delta S}{RT}},\tag{6}$$

где K — константа равновесия для данного перехода; ΔH и ΔS — соответствующие величины энтальпии и энтропии для этого процесса; R — универсальная газовая постоянная.

Обычно при анализе спинового равновесия методом парамагнитной ЯМР-спектроскопии используется закон Кюри, из которого следует, что температурная зависимость парамагнитного сдвига подчиняется следующему уравнению:

$$\delta^{\text{nap}} = \frac{C}{T}.\tag{7}$$

Тем не менее нами ранее было показано [36, 37], что в случае комплексов кобальта(II) в высокоспиновом состоянии уравнение (7) справедливо только в случае контактного сдвига в их ЯМР-спектрах. Температурная зависимость дипольного сдвига описывается квадратичным уравнением 8, что является следствием расщепления в нулевом поле.

$$\delta^{\pi, BC} = \frac{A}{T} + \frac{B}{T^2}.$$
 (8)

В случае низкоспинового состояния иона кобальта (II) уравнение 7 справедливо для обоих вкладов в величину парамагнитного сдвига, так как для состояния с S = 1/2 понятие расщепления в нулевом поле неприменимо.

Таким образом, в рамках данной работы мы предлагаем описывать экспериментально наблюдаемую величину химического сдвига для комплексов кобальта (II) следующим образом:

$$\delta_T = \delta^{\text{диа}} + rac{a}{T} + \left(rac{b}{T} + rac{c}{T^2}
ight) \cdot rac{e^{rac{-\Delta H + T\Delta S}{RT}}}{1 + e^{rac{-\Delta H + T\Delta S}{RT}}}, \quad (9)$$

где a, b, c — параметры модели. Модель становит-

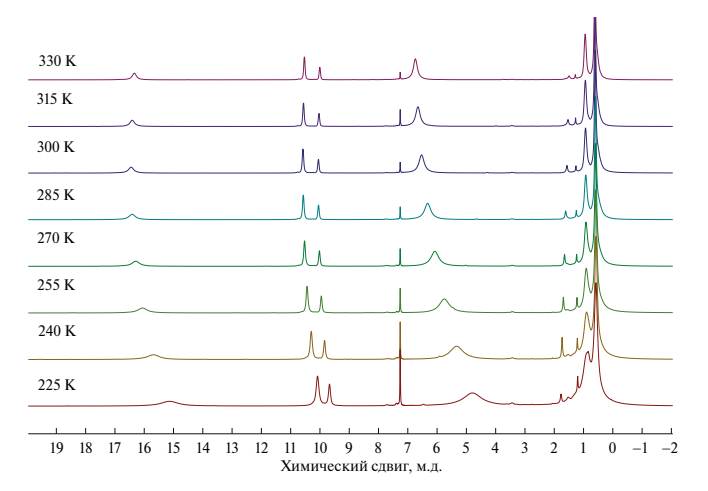


Рис. 1. Спектры ЯМР 1 Н раствора комплекса I в CDCI,, зарегистрированные в температурном диапазоне 225—330 К.

ся решаемой в случае регистрации спектров при трех различных температурах, что вполне приемлемо для рутинных экспериментов ЯМР.

Уравнение (9) было использовано для определения параметров спинового равновесия двух вышеупомянутых форм комплекса I в растворителях различной природы (ацетонитрил, бензол, хлороформ и хлористый метилен). Спектры ЯМР ¹Н его растворов, зарегистрированные в широком диапазоне температур, свидетельствуют о протекании температурно-индуцированного спинового перехода, тогда как уравнения (7) и (8) предполагают монотонное уменьшение величин химического сдвига при увеличении температуры (рис. 1).

Для остальных изученных растворителей, наблюдается аналогичная картина (рис. 2), что свидетельствует о протекании вышеупомянутого спинового перехода 1/2 → 3/2 во всех случаях. С другой стороны, в этих растворах величины химических сдвигов сигналов протонов комплекса І значительно отличаются. Относительная разница между ними будет еще более существенной, если вычесть соответствующий диамагнитный вклад, который слабо зависит от природы растворителя.

Аппроксимация экспериментально наблюденных величин химического сдвига с использованием уравнения (9) позволила определить термодинамические параметры изучаемого спинового перехода во всех растворителях (табл. 1) и визуализировать температурную зависимость заселенности спиновых состояний (рис. 3).

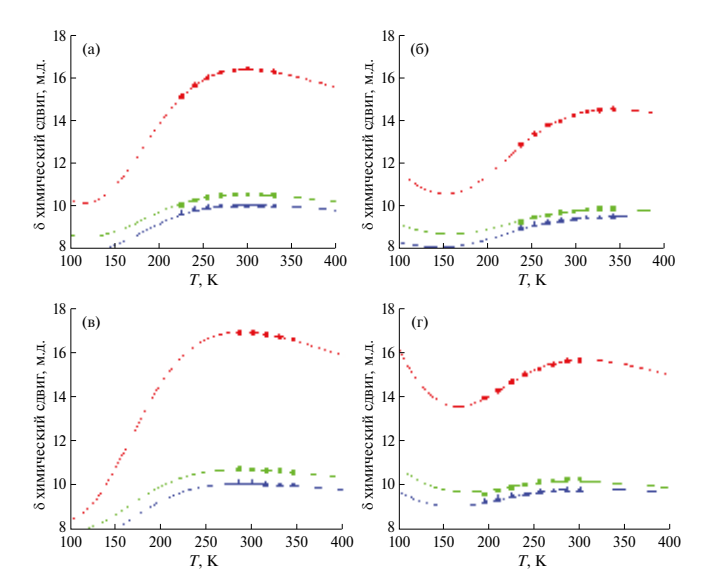


Рис. 2. Температурная зависимость химических сдвигов в спектрах ЯМР 1 Н комплекса I в различных растворителях: CDCl₃ (а), CD₃CN (б), C₆D₆ (в) и CD₂Cl₂ (г). Показаны данные для следующих протонов его макробициклической молекулы: *орто*-Ph (•), *мета*-Ph (•) и *пара*-Ph (•). Сплошные линии соответствуют аппроксимации с использованием уравнения (9).

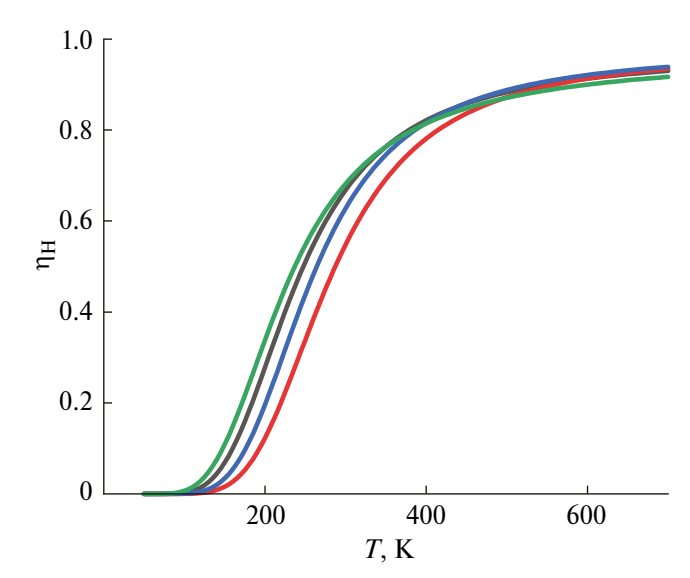


Рис. 3. Зависимость заселенности высокоспинового состояния комплекса I в CDCl₃ (черный цвет), CD₃CN (красный цвет), C_6D_6 (зеленый цвет) и CD_2Cl_2 (синий цвет).

Таблица 1. Термодинамические параметры спинового перехода $1/2 \rightarrow 3/2$ для комплекса I в различных растворителях

Растворитель	ΔН кДж/моль	ΔS Дж/К моль
CDCl ₃	8.2 (0.1)	33.3 (0.1)
CD_3CN	10.8 (0.4)	37.5 (0.2)
C_6D_6	7.1 (0.1)	30.2 (0.1)
CD_2Cl_2	9.6 (0.3)	36.5 (0.2)

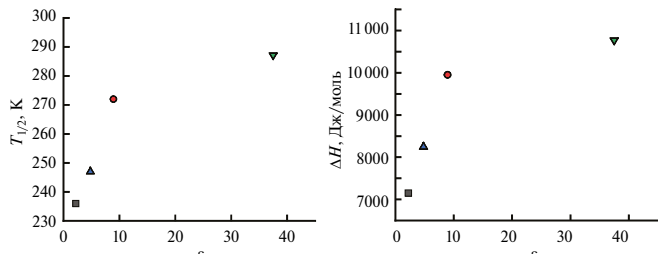


Рис. 4. Влияние диэлектрической проницаемости растворителя на энтальпию ΔH и температуру полуперехода $T_{1/2}$ спинового равновесия в растворах комплекса I в CDCl₃(\blacktriangle), CD₃CN (\blacktriangledown), C₆D₆(\blacksquare) и CD₂Cl₃(\bullet).

Наблюдается корреляция между полярностью растворителя и термодинамическими параметрами вышеупомянутого спинового перехода: при увеличении диэлектрической проницаемости растворителя увеличиваются его энтальпия ΔH и температура полуперехода $T_{1/2}$, что может быть связано с увеличением зарядов на донорных атомах азота макробициклического лиганда в результате его взаимодействии с молекулами полярного растворителя (рис. 4).

Таким образом, с использованием предложенного нами метода парамагнитной спектроскопии ЯМР было изучено спиновое состояние фенилборатного гекса-н-бутилсульфидного клатрохелата кобальта(II) в его растворах. Установлено, что этот клеточный комплекс претерпевает температурно-зависимый спиновый переход в среде растворителей различной природы и установлены его термодинамические характеристики. Несмотря на конформационную жесткость полиазометиновой квазиароматической 3D-молекулы, в зависимости от полярности растворителя наблюдаются существенные изменения в ее электронной структуре и параметрах спинового равновесия для нее, что открывает возможности для тонкой настройки характеристик спинового переключателя, используя изменение полярности среды.

Авторы заявляют, что у них нет конфликта интересов.

ФИНАНСИРОВАНИЕ

Работа выполнена при финансовой поддержке Российского научного фонда (грант № 22-73-00148).

СПИСОК ЛИТЕРАТУРЫ

1. *Gamez P., Costa J. S., Quesada M. et al.* // Dalton Trans. 2009. № 38. P. 7845.

- 2. *Kumar K. S.*, *Ruben M.* // Angew. Chem. Int. Ed. 2021. V. 60. № 14. P. 7502.
- 3. *Lefter C., Davesne V., Salmon L. et al.* // Magnetochemistry. 2016. V. 2. № 1. P. 18.
- 4. Manrique-Juarez M.D., Rat S., Salmon L. et al. // Co-ord. Chem. Rev. 2016. V. 308. P. 395.
- 5. *Jeon I.-R.*, *Park J. G.*, *Haney C. R. et al.* // Chem. Sci. 2014. V. 5. № 6. C. 2461.
- 6. *Gentili D., Demitri N., Schäfer B. et al.* // J. Mater. Chem. C. 2015. V. 3. № 30. P. 7836.
- 7. Tissot A., Kesse X., Giannopoulou S. et al. // Chem. Commun. 2019. V. 55. № 2. P. 194.
- 8. *Wei R.-J.*, *Tao J.*, *Huang R.-B. et al.* // Inorg. Chem. 2011. V. 50. № 17. P. 8553.
- 9. Lada Z. G., Andrikopoulos K. S., Mathioudakis G. N. et al. // Magnetochemistry. 2022. V. 8. № 2. P. 16.
- 10. Clemente-Juan J.M., Coronado E., Gaita-Ariño A. // Chem. Soc. Rev. 2012. V. 41. № 22. P. 7464.
- 11. Bousseksou A., Boukheddaden K., Goiran M. et al. // Phys. Rev. B. 2002. V. 65. № 17. P. 172412.
- 12. *Gütlich P., Ksenofontov V., Gaspar A. B.* // Coord. Chem. Rev. 2005. V. 249. № 17–18. P. 1811.
- 13. *Ohkoshi S.-i.*, *Hashimoto K.* // J. Photochem. Photobiol. 2001. V. 2. № 1. P. 71.
- 14. *Hosokawa H., Funasako Y., Mochida T.* // Chem. Eur. J. 2014. V. 20. № 46. P. 15014.
- 15. *Halcrow M.A.* // Coord. Chem. Rev. 2009. V. 253. № 21–22. P. 2493.
- 16. *Halcrow M. A.* // Crystals. 2016. V. 6. № 5. P. 58.
- 17. *Krivokapic I., Zerara M., Daku M. L. et al.* // Coord. Chem. Rev. 2007. V. 251. № 3–4. P. 364.
- 18. *Hayami S., Komatsu Y., Shimizu T. et al.* // Coord. Chem. Rev. 2011. V. 255. № 17—18. P. 1981.
- 19. *Voloshin Y. Z., Kostromina N. A., Krämer R.* Clathrochelates: Synthesis, Structure and Properties. Elsevier, 2002. 419 p.
- 20. Voloshin Y., Belava I., Krämer R. Cage Metal Com-

- plexes: Clathrochelates Revisited. Springer, 2017. 467 p.
- 21. *Novikov V. V., Pavlov A. A., Belov A. S. et al.*// J. Phys. Chem. Lett. 2014. V. 5. № 21. P. 3799–3803.
- 22. *Voloshin Y.Z., Novikov V.V., Nelyubina Y.V.* // RSC Adv. 2015. V. 5. № 89. P. 72621.
- 23. *Novikov V. V.*, *Pavlov A. A.*, *Nelyubina Y. V. et al.* // J. Am. Chem. Soc. 2015. V. 137. № 31. P. 9792.
- 24. *Novikov V. V., Ananyev I. V., Pavlov A. A. et al.* // J. Phys. Chem. Lett. 2014. V. 5. № 3. P. 496.
- 25. *Pavlov A. A.*, *Nelyubina Y. V.*, *Kats S. V. et al.* // J. Phys. Chem. Lett. 2016. V. 7. № 20. P. 4111.
- 26. *Novikov V. V., Pavlov A. A., Nehrkorn J. et al.* // Russ. J. Coord. Chem. 2020. V. 46. P. 756. https://doi.org/10.1134/S1070328420110056
- 27. Voloshin Y. Z., Varzatskii O. A., Novikov V. V. et al. // Eur. J. Inorg. Chem. 2010. P. 5401.
- 28. *Pavlov A. A.*, *Denisov G. L.*, *Kiskin M. A. et al* // Inorg. Chem. 2017. V. 56. № 24. P. 14759.
- 29. *Pavlov A. A.*, *Aleshin D.*, *Nikovskiy I. A. et al.* // Eur. J. Inorg. Chem. 2019. V. 2019. № 23. P. 2819.
- 30. *Neese F.* // Wiley Interdiscip. Rev. Comput. Mol. Sci. 2012. V. 2. № 1. P. 73.
- 31. *Perdew J. P., Burke K., Ernzerhof M.* // Phys. Rev. Lett. 1996. V. 77. № 18. C. 3865.
- 32. *Weigend F., Ahlrichs R.* // Phys. Chem. Chem. Phys. 2005. T. 7. № 18. P. 3297.
- 33. *Kossmann S., Neese F.* // Chem. Phys. Lett. 2009. T. 481. № 4–6. P. 240.
- 34. *Adamo C., Barone V.* // J. Chem. Phys. 1999. V. 110. № 13. P. 6158.
- 35. Rodriguez-Castañeda F., Haberz P., Leonov A. et al.// Magn Reson Chem. 2006. V. 44. № S1. P. S10.
- 36. *Pavlov A.A., Novikov V.V., Nikovskiy I.A. et al.* // Phys. Chem. Chem. Phys. 2022. V. 24. № 2. P. 1167.
- 37. *Pavlov A. A.*, *Nehrkorn J.*, *Zubkevich S. V. et al.* // Inorg. Chem. 2020. V. 59. № 15. P. 10746–10755.

Effect of the Solvent Nature on a Spin Equilibrium in the Solutions of the Phenylboron-Capped Hexa-*n*-Butylsulfide Cobalt(II) Clathrochelate Stadied by the Paramagnetic NMR Spectroscopy

D. Yu. Aleshin^{1,2}, V. V. Zlobina³, A. S. Belov⁴, Ya. Z. Voloshin⁴ and A. A. Pavlov^{2, 4, *}

¹Kurnakov Institute of General and Inorganic Chemistry, Russian Academy of Sciences, Moscow, Russia

²Bauman Moscow State Technical University, Moscow, Russia

³Moscow Institute of Physics and Technology (National Research University), Dolgoprudnyi, Moscow oblast, Russia ⁴Nesmeyanov Institute of Organoelement Compounds, Russian Academy of Sciences, Moscow, Russia

*e-mail: a.pavlov@emtc.ru

A spin state of the phenylbon-capped hexa-*n*-butylsulfide cobalt(II) clathrochelate in solutions was studied by paramagnetic NMR spectroscopy. This cage complex is found to undergo the temperature — induced spin crossover in solvents of different nature (acetonitrile, chloroform, dichloromethane, and benzene). The previously developed method for an analysis of paramagnetic shifts in NMR spectra allows to calculate of the thermodynamic parameters (enthalpy and entropy) of a given spin equilibrium in the solutions. In spite of the conformational rigidity of the macrobicyclic

tris- α -dioximate molecules, the substantial changes in their electronic structures and spin crossover parameters were observed, being affected by a polarity of the solvent used. This provides an opportunity for the fine tuning of spin switch characteristics by changing this medium parameter.

Keywords: spin transition, paramagnetic NMR, clathrochelates, cobalt(II) complexes

REFERENCES

- Gamez P., Costa J. S., Quesada M. et al. // Dalton Trans. 2009. № 38. P. 7845.
- 2. *Kumar K. S.*, *Ruben M.* // Angew. Chem. Int. Ed. 2021. V. 60. № 14. P. 7502.
- 3. *Lefter C., Davesne V., Salmon L. et al.* // Magnetochemistry. 2016. V. 2. № 1. P. 18.
- 4. Manrique-Juarez M.D., Rat S., Salmon L. et al. // Co-ord. Chem. Rev. 2016. V. 308. P. 395.
- 5. *Jeon I.-R.*, *Park J. G.*, *Haney C. R. et al.* // Chem. Sci. 2014. V. 5. № 6. C. 2461.
- Gentili D., Demitri N., Schäfer B. et al. // J. Mater. Chem. C. 2015. V. 3. № 30. P. 7836.
- 7. *Tissot A., Kesse X., Giannopoulou S. et al.* // Chem. Commun. 2019. V. 55. № 2. P. 194.
- 8. *Wei R.-J.*, *Tao J.*, *Huang R.-B. et al.* // Inorg. Chem. 2011. V. 50. № 17. P. 8553.
- 9. Lada Z. G., Andrikopoulos K. S., Mathioudakis G. N. et al. // Magnetochemistry. 2022. V. 8. № 2. P. 16.
- 10. Clemente-Juan J.M., Coronado E., Gaita-Ariño A. // Chem. Soc. Rev. 2012. V. 41. № 22. P. 7464.
- 11. *Bousseksou A., Boukheddaden K., Goiran M. et al.* // Phys. Rev. B. 2002. V. 65. № 17. P. 172412.
- 12. *Gütlich P., Ksenofontov V., Gaspar A. B.* // Coord. Chem. Rev. 2005. V. 249. № 17–18. P. 1811.
- 13. *Ohkoshi S.-i.*, *Hashimoto K.* // J. Photochem. Photobiol. 2001. V. 2. № 1. P. 71.
- 14. *Hosokawa H.*, *Funasako Y.*, *Mochida T.* // Chem. Eur. J. 2014. V. 20. № 46. P. 15014.
- 15. *Halcrow M. A.* // Coord. Chem. Rev. 2009. V. 253. № 21–22. P. 2493.
- 16. *Halcrow M. A.* // Crystals. 2016. V. 6. № 5. P. 58.
- 17. *Krivokapic I., Zerara M., Daku M. L. et al.* // Coord. Chem. Rev. 2007. V. 251. № 3–4. P. 364.
- 18. *Hayami S., Komatsu Y., Shimizu T. et al.* // Coord. Chem. Rev. 2011. V. 255. № 17—18. P. 1981.
- 19. *Voloshin Y. Z., Kostromina N. A., Krämer R.* Clathrochelates: Synthesis, Structure and Properties. Elsevier,

- 2002. 419 p.
- 20. *Voloshin Y., Belaya I., Krämer R.* Cage Metal Complexes: Clathrochelates Revisited. Springer, 2017. 467 p.
- 21. *Novikov V. V., Pavlov A. A., Belov A. S. et al.*// J. Phys. Chem. Lett. 2014. V. 5. № 21. P. 3799–3803.
- 22. *Voloshin Y.Z., Novikov V.V., Nelyubina Y.V. //* RSC Adv. 2015. V. 5. № 89. P. 72621.
- 23. *Novikov V.V.*, *Pavlov A.A.*, *Nelyubina Y.V. et al.* // J. Am. Chem. Soc. 2015. V. 137. № 31. P. 9792.
- 24. *Novikov V. V., Ananyev I. V., Pavlov A. A. et al.* // J. Phys. Chem. Lett. 2014. V. 5. № 3. P. 496.
- 25. *Pavlov A. A.*, *Nelyubina Y. V., Kats S. V. et al.* // J. Phys. Chem. Lett. 2016. V. 7. № 20. P. 4111.
- Novikov V. V., Pavlov A. A., Nehrkorn J. et al. // Russ.
 J. Coord. Chem. 2020. V. 46. P. 756. https://doi. org/10.1134/S1070328420110056
- 27. Voloshin Y. Z., Varzatskii O. A., Novikov V. V. et al. // Eur. J. Inorg. Chem. 2010. P. 5401.
- 28. *Pavlov A.A.*, *Denisov G.L.*, *Kiskin M.A. et al* // Inorg. Chem. 2017. V. 56. № 24. P. 14759.
- 29. *Pavlov A. A.*, *Aleshin D.*, *Nikovskiy I. A. et al.* // Eur. J. Inorg. Chem. 2019. V. 2019. № 23. P. 2819.
- 30. *Neese F.* // Wiley Interdiscip. Rev. Comput. Mol. Sci. 2012. V. 2. № 1. P. 73.
- 31. *Perdew J. P., Burke K., Ernzerhof M.* // Phys. Rev. Lett. 1996. V. 77. № 18. C. 3865.
- 32. *Weigend F., Ahlrichs R.* // Phys. Chem. Chem. Phys. 2005. T. 7. № 18. P. 3297.
- 33. *Kossmann S., Neese F.* // Chem. Phys. Lett. 2009. T. 481. № 4–6. P. 240.
- 34. *Adamo C., Barone V.* // J. Chem. Phys. 1999. V. 110. № 13. P. 6158.
- 35. Rodriguez-Castañeda F., Haberz P., Leonov A. et al.// Magn Reson Chem. 2006. V. 44. № S1. P. S10.
- 36. *Pavlov A. A.*, *Novikov V. V.*, *Nikovskiy I. A. et al.* // Phys. Chem. Chem. Phys. 2022. V. 24. № 2. P. 1167.
- 37. *Pavlov A. A.*, *Nehrkorn J.*, *Zubkevich S. V. et al.* // Inorg. Chem. 2020. V. 59. № 15. P. 10746–10755.

УДК 546.831.16

СТЕРЕОХИМИЯ *цис*-ТЕТРАФТОРОКОМПЛЕКСОВ ТИТАНА С (1RS,2SR)-СТЕРЕОИЗОМЕРАМИ 1-Ac-2-[Ph,P(O)]-ЦИКЛОГЕКСАНА В CH,Cl,

© 2024 г. Е. Г. Ильин^{1, *}, А. С. Паршаков¹, В. И. Привалов¹, А. В. Чураков¹, Г. В. Бодрин², Е. И. Горюнов²

¹Институт общей и неорганической химии им. Н.С. Курнакова РАН, Москва, Россия ²Институт элементоорганических соединений им. А. Н. Несмеянова РАН, Москва, Россия

*e-mail: eg ilin@mail.ru

Поступила в редакцию 04.05.2023 г. После доработки 13.06.2023 г. Принята к публикации 19.06.23 г.

Синтезирован монодентатный фосфорилсодержащий лиганд 1-Ac-2-[Ph $_2$ P(O)]-циклогексан (L), имеющий два асимметрических атома углерода. Изучена его кристаллическая структура и установлено, что он представляет собой рацемическую смесь (1R,2S)- и (1S,2R)-стереоизомеров. Методами ЯМР 19 F{ 1 H} и 31 P{ 1 H} изучено комплексообразование L с TiF $_4$ в CH $_2$ Cl $_2$. Определен состав образующихся в растворе комплексов. На основе анализа спектров ЯМР 19 F и 31 P, с учетом концепции гетеротропности органических соединений, установлено образование в растворе рацемического и мезо-диастереоизомеров октаэдрического комплекса μuc -TiF $_4$ L $_2$. Показано влияние оптической конфигурации стереоизомеров монодентатного лиганда, сосуществующих в координационной сфере октаэдрических μuc -тетрафторокомплексов d^0 -переходных металлов [МF $_4$ L $_2$], на химические сдвиги атомов фтора, расположенных в μuc -положении друг к другу. В мезо-диастереомере μuc -TiF $_4$ L $_2$ это приводит к неэквивалентности атомов фтора на ординате F-Ti-F октаэдра, и в спектре ЯМР 19 F{ 1 H} наблюдается константа спин-спинового взаимодействия $J_{\rm FF}$ = 286.1 Гц.

Ключевые слова: тетрафторид титана, комплексообразование, ЯМР, стереохимия

DOI: 10.31857/S0132344X24020032 **EDN**: OSCMYY

Фосфорилсодержащие находят лиганды широкое применение в процессах разделения и очистки переходных и редкоземельных металлов, а также в технологии радиоактивных элементов [1]. Полярность группы Р=О придает ей высокую комплексообразующую способность по отношению к соединениям металлов этого класса. Что касается фундаментальных исследований фосфорорганических соединений как лигандов, то наиболее интересными объектами являются диорганилалкилфосфиноксиды, в особенности Р, Р-дифенильные производные, содержащие в алкильной части различные функциональные группы $(X = C(O)R, C(O)NR_{2}, OH, COOH, NRH_{3})$ NH, и др.). Это позволяет варьировать природу неэквивалентных донорных центров, их число, относительное расположение и тип связывающих их мостиковых групп (предельные и непредельные углеводородные спейсеры, циклические, в том числе азотсодержащие гетероциклы). Получены первые комплексы представителей недавно открытого класса фосфорорганических соединений – диорганилфосфорилалканонов –

активных экстрагентов для актинидов [2] с фторидами d^0 -переходных металлов. Изучены реакции их простейших представителей — $Ph_2P(O)$ $CH_2C(O)$ ме и $Ph_2P(O)(CH_2)_2C(O)$ ме с фторидами переходных элементов групп IV и V — TiF_4 [3, 4] и TaF_5 [5]. Установлена необычно высокая устойчивость семичленного хелатного гетероцикла $TiF_4[Ph_2P(O)CH_2CH_2C(O)NMe_2]$ и исследована его конформационная изомерия в растворе [6] и в кристаллическом состоянии [7]. При хелатной координации $PhP(O)[CH_2C(O)NMe_2]_2$ через группы P=O и C=O к TiF_4 наблюдалось образование хирального тетрафторокомплекса, что нашло отражение в спектрах $SMP^{19}F$ [8].

Стереоизомеры октаэдрического *цис*-тетрафторокомплекса d^0 -переходного элемента впервые удалось наблюдать методом ЯМР ¹⁹F при изучении продуктов реакции TiF_4 с монодентатным лигандом $Ph_2P(O)CH_2CH(OH)Me$ (L') [9], содержащим в углеводородном радикале один асимметрический атом углерода и представляющим собой рацемическую смесь двух энантио-

меров. Было показано, что в растворе образуются рацемические — $(TiF_4L'_RL'_R + TiF_4L'_SL'_S)$ и мезо- $(TiF_4L'_RL'_S)$ диастереомеры комплексов *цис*- и *таранс*- $TiF_4L'_2$. Стереохимия комплексообразования TiF_4 с ациклическим дифенилфосфорилалканоном $Ph_2P(O)CHMeCH_2C(O)Et(L'')$, в котором хиральный атом углерода связан непосредственно с атомом фосфора лиганда, носит аналогичный характер [10].

Целью настоящей работы было исследование методом ЯМР $^{19}F\{^1H\}$ и $^{31}P\{^1H\}$ комплексообразования TiF_4 с циклическим дифенилфосфорилалканоном — 1-ацетил-2-дифенилфосфорилциклогексаном (1-Ac-2- $[Ph_2P(O)]C_6H_{10}$) (L) — монодентатным лигандом, имеющим два асимметрических атома углерода: 1 — C(1), 2 — C(6) (рис. 1). Методом рентгеноструктурного анализа (PCA) установлено, что L представляет собой рацемическую смесь (1R,2S)-и (1S,2R)-стереоизомеров.

ЭКСПЕРИМЕНТАЛЬНАЯ ЧАСТЬ

В работе использовали ${\rm TiF_4}$, синтезированный фторированием порошка металла элементарным фтором. 1-Ацетилциклогексен (Aldrich, 97%) использовали без дополнительной очистки. Дифенилхлорфосфин (ДФХФ, Aldrich, 98%) непосредственно перед реакцией перегоняли в вакууме. Все операции проводили в атмосфере аргона.

Для исследования готовили раствор с отношением L: ${\rm TiF_4}$ несколько выше двух, чтобы основной формой в растворе был комплекс ${\rm TiF_4L_2}$. Расчетное количество ${\rm TiF_4}$ вводили в раствор L в ${\rm CH_2Cl_2}$ и затем перемешивали на магнитной мешалке в течение 30 мин при комнатной температуре. При этом наблюдали полное растворение ${\rm TiF_4}$. Все операции проводили в атмосфере сухого азота.

Спектры ЯМР 19 F{ 1 H} и 31 P{ 1 H} продуктов реакции TiF $_{4}$ с L в области температур 298—213 К регистрировали на спектрометре Bruker AC-300. Химические сдвиги ЯМР 19 F и 31 P измеряли относительно CCl $_{3}$ F и 85%-ной H $_{3}$ PO $_{4}$ соответственно.

Спектры ЯМР 1 Н, 13 С{ 1 Н} и 31 Р{ 1 Н} фосфорилкарбонильного лиганда (L) регистрировали на приборе Bruker AV-500 (рабочая частота 500.13 MHz (1 H), 125.77 MHz (13 C{ 1 H}) и 202.46 MHz (31 P{ 1 H})] в растворе CDCl₃ (c=0.1 моль/л). Внутренний эталон для спектров ЯМР 1 H — сигна-

лы остаточных протонов дейтерированного растворителя ($\delta_{\rm H}=7.27\,$ м.д.), а для спектров ЯМР $^{13}{\rm C}\{^1{\rm H}\}$ — сигналы ядер атомов углерода дейтерированного растворителя ($\delta_{\rm C}=77.00\,$ м.д.); внешний эталон для спектров ЯМР $^{31}{\rm P}\{^1{\rm H}\}-85\%$ -ная $^{13}{\rm P}\{^1{\rm H}\}$ проводили с использованием корреляций COSY, HMQC и HMBC.

PCA соединения L выполнен на автоматическом дифрактометре Bruker D8 Venture при температуре 220 К (Мо K_a -излучение, 1 = 0.71073 Å, графитовый монохроматор). Кристаллы $(C_{20}H_{23}O_{2}P, M = 326.35)$ моноклинные, пр. гр. $P2_1^{20}/n$, a = 12.4626(3), b = 9.1152(2), c = 15.6019(4) Å, $b = 96.854(1)^{\circ}$, V = 1759.70(7) Å³, Z = 4, ρ (выч.) = 1.232 Γ/cm^3 , $\mu(\text{Mo}K_a) = 0.164 \text{ mm}^{-1}$, F(000) = 696. Интенсивности 19066 отражений (из них 3842 независимых, $R_{\text{int}} = 0.02\hat{8}1$) измерены методом ω -сканирования в интервале $1.98^{\circ} < \theta < 27.00^{\circ}$ $(-14 \le h \le 15, -11 \le k \le 11, -19 \le l \le 19)$. Адсорбционная коррекция введена на основании измерений интенсивностей эквивалентных отражений [11]. Структура расшифрована прямым методом; все неводородные атомы уточнены полноматричным анизотропным МНК по F^2 (SHELXTL [12]). Все атомы водорода найдены из разностного синтеза Фурье и уточнены изотропно. Окончательное значение факторов расходимости составило $R_1 = 0.0362$ для 3247 отражений с $I > 2\sigma(I)$ и $wR_2 = 0.0968$ по всему массиву данных с использованием 300 параметров уточнения. GOOF = 1.028, $\Delta \rho(\text{min/max})$ = -0.360/0.365, e/Å³.

Кристаллографические параметры депонированы в Кембриджском банке структурных данных (ССDС № 2233632; deposit@ccdc.cam.ac.uk или http://www.ccdc.cam.ac.uk/data_request/cif).

Синтез 1-Ac-2-[$Ph_2P(O)$] C_6H_{10} (L), не описанный ранее в литературе, выполняли из коммерчески доступного ДФХФ с использованием двухстадийного "one-pot" процесса (схема 1).

$$(C_6H_5)_2PCI + C-CH_3$$

— $C-CH_3$

—

Схема 1.

К 3.7 г (0.0168 ммоль) ДФХФ прибавляли 2.15 г (0.0173 моль) 1-ацетилциклогексена, тщательно перемешивали, выдерживали реакционную смесь в отсутствие света при комнатной температуре 70 ч, затвердевшую реакционную массу разлагали 3.9 г (0.085 моль) в абсолютном ЕtOH. Избыток спирта удаляли в вакууме, остаток последовательно экстрагировали кипящим гексаном (3 × 20 мл) и кипящим гептаном (3 × 20 мл), экстракты объединяли, охлаждали до комнатной температуры, выпавший осадок отделяли и сущили в вакууме (~10 Торр) 1 ч при 110°С. Выход L 3.4 г (62.0%). $T_{\rm пл} = 143-144$ °С (циклогексан).

Найдено,%: С 73.56; Н 7.17; Р 9.44. Для $C_{20}H_{23}O_2P$ вычислено,%: С 73.60; Н 7.10; Р 9.49.

На первой стадии этого процесса ДФХФ взаимодействует с 1-ацетилциклогексеном в отсутствие растворителя при комнатной температуре с образованием твердого аддукта, который при обработке абсолютным этанолом превращается в соответствующее целевое соединение. Необходимо отметить, что данный процесс протекает стереоспецифично и образующийся лиганд L, по данным спектров ЯМР, представляет собой лишь один из двух теоретически возможных рацемических диастереомеров.

Спектр ЯМР 1 Н ($\delta_{\rm H},$ м.д.): 1.25–1.44 м. (3H, 3 CH $_2$ + 4 CH $_2$ + 6 CH $_2$ -циклогексан); 1.50–1.62 м (1H, 3 CH $_2$ -циклогексан); 1.62–1.85 м. (3H, 4 CH $_2$ + 5 CH $_2$ -циклогексан); 1.90 с. (3H, CH $_3$); 2.00–2.09 м (1H, 6 CH $_2$ -циклогексан); 2.96–3.06 м (2H, 1 CH $^-$ + 2 CH-циклогексан); 7.44 д.т. (2H, m-С $_6$ H $_5$, 3 J $_{\rm H-H}$ = 7.4 Гц, 4 J $_{\rm H-P}$ = 2.8 Гц); 7.46–7.55 м. (4H, m-+ p-С $_6$ H $_5$); 7.76–7.86 м. (4H, o-С $_6$ H $_5$).

Спектр ЯМР ¹³С{¹H} ($\delta_{\rm C}$, м.д.): 24.40 с. (С⁵-циклогексан); 24.64 д. (С³-циклогексан, $^2J_{\rm C-P}=1.8$ Гц); 24.83 д. (⁴С-циклогексан, $^3J_{\rm C-P}=10.9$ Гц); 29.13 с. (СН $_3$); 29.63 д. (⁶С-циклогексан, $^3J_{\rm C-P}=9.1$ Гц); 36.12 д. (С²-циклогексан, $^1J_{\rm C-P}=69.9$ Гц); 48.33 д. (¹С-циклогексан, $^2J_{\rm C-P}=1.8$ Гц); 128.41 д. (м-С $_6$ H $_5$, $^3J_{\rm C-P}=11.3$ Гц); 128.60 д. (м-С $_6$ H $_5$, $^3J_{\rm C-P}=11.4$ Гц); 131.18 д. (о-С $_6$ H $_5$, $^2J_{\rm C-P}=9.1$ Гц); 131.60 д. (о-С $_6$ H $_5$, $^2J_{\rm C-P}=9.1$ Гц); 131.64 д. (р-С $_6$ H $_5$, $^4J_{\rm C-P}=2.3$ Гц); 131.78 д (ипсо-С $_6$ H $_5$, $^1J_{\rm C-P}=95.8$ Гц); 131.80 д (р-С $_6$ H $_5$, $^4J_{\rm C-P}=2.7$ Гц); 132.24 д. (ипсо-С $_6$ H $_5$, $^1J_{\rm C-P}=94.0$ Гц); 210.87 д. (С = О, $^3J_{\rm C-P}=3.6$ Гц). Спектр ЯМР 31 Р{ 1 H} ($\delta_{\rm p}$, м.д.): 35.87 с.

Монокристаллы лиганда L получали путем перекристаллизации из циклогексана.

РЕЗУЛЬТАТЫ И ИХ ОБСУЖДЕНИЕ

Молекулярная структура лиганда 1-Ac-2- $[Ph_2P(O)]C_6H_{10}$ (L) показана на рис. 1. Длины связей и валентные углы имеют обычные для органических соединений значения [13]. Циклогексановое кольцо принимает конформацию кресла. Заместители $Ph_2P=O$ и MeC=O находятся в соседних позициях и оба занимают экваториальные положения.

По данным PCA, L имеет два ассиметрических атомов углерода и представляет собой рацемическую смесь (1R,2S)- и (1S,2R)-энантиомеров (см. рис. 1).

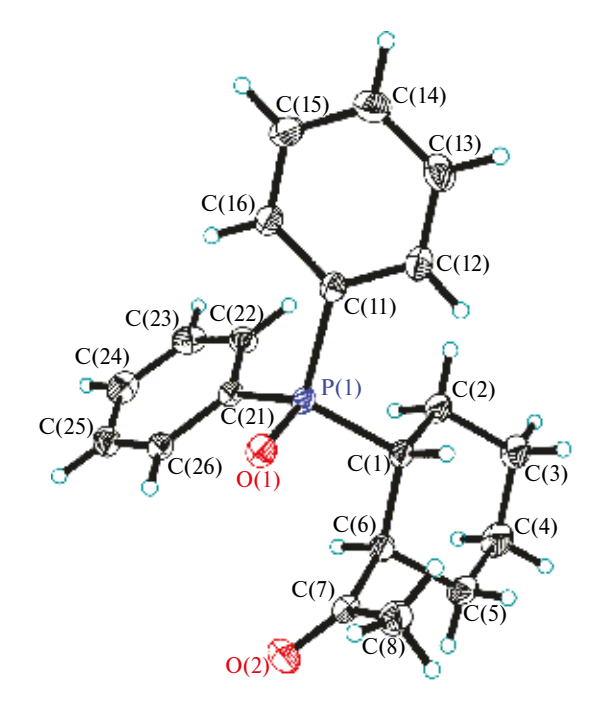


Рис. 1. Молекулярная структура лиганда L. Тепловые эллипсоиды показаны с 50%-ной вероятностью.

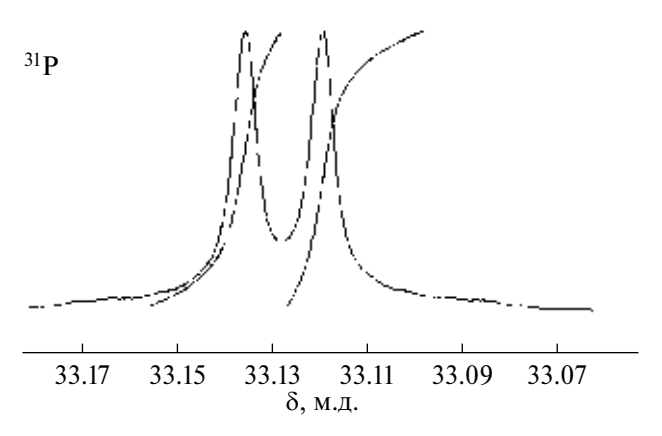


Рис. 2. Спектр ЯМР 31 Р 1 Н $\}$ 0.1 М раствора лиганда в L-PhCHMeNH $_{3}$.

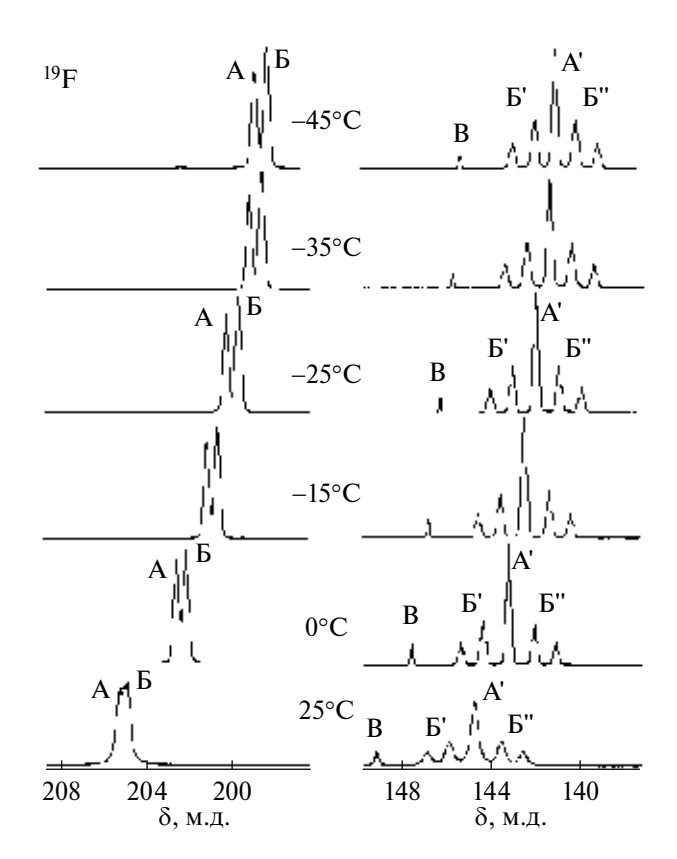


Рис. 3. Температурная зависимость спектров ЯМР¹9F{¹H} раствора TiF $_4$ + 2L в CH $_2$ Cl $_2$. A, A' — линии рацемических, Б, Б', Б" — мезо-диастереомеров *цис*-TiF $_4$ L $_2$. В — линия *транс*- TiF $_4$ L $_2$.

Существование лиганда в растворе в виде рацемической смеси двух энантиомеров подтверждено методом ЯМР 31 Р{ 1 H}. В спектре раствора L в L-PhCHMeNH $_{2}$ (c=0.1 моль/л) наблюдалось два синглетных сигнала равной интенсивности (рис. 2).

Поскольку преимущественное образование тетрафторидом титана комплексов с монодентатными лигандами ${\rm TiF_4X_2}$ наблюдается при введении двух и более молей лиганда на моль ${\rm TiF_4}$ [3, 4], соответствующие растворы были приготовлены и изучены методом ЯМР 19 F и 31 P. На рис. 3 приведена температурная зависимость спектра ЯМР 19 F 11 H 11 P раствора с отношением ${\rm TiF_4}$: L несколько выше двух в ${\rm CH_2Cl_2}$.

При комнатной температуре в спектре ЯМР $^{19}F\{^1H\}$ наблюдались две группы резонансных линий A, Б в области 205 м.д. и A', Б', Б" — в области 145 м.д. (см. рис. 3). Положение этих сигналов и равенство суммарных интенсивностей указывало на присутствие в растворе двух тетрафторокомплексов титана μuc -TiF $_4$ L $_2$. При сравнении областей химических сдвигов с известными

данными [4—6] линии A и B в слабом поле мы отнесли к резонансным сигналам атомов фтора F^2 , находящимся в *транс*-положении к группам P = O на ординатах октаэдра F^2 —Ti—OP...L, а сигналы B', A', B'' в более сильном поле — к атомам фтора B'', расположенным в *транс*-положении друг к другу, на ординате B'—B'—B'

Спектр ЯМР¹⁹F первого порядка октаэдрического комплекса μuc -MF $_4$ X $_2$ представляет собой два триплета равной интенсивности, отвечающие двум парам неэквивалентных атомов фтора — на ординатах F^1 —Ti— F^1 и F^2 —T—X октаэдра [4—6, 13]. Появление большего числа мультиплетных резонансных линий, по нашему мнению, указывает на присутствие в растворе диастереоизомеров тетрафторокомплекса μuc -TiF $_4$ L $_2$, образование которых может быть связано с тем, что L представляет собой рацемическую смесь двух энантиомеров (1R,2S) и (1S,2R).

Два триплета А, А' равной интенсивности отнесены к диастереомеру *цис*-TiF₄L₂, имеющему две неэквивалентных позиции атомов фтора, в котором атомы фтора на ординате F^1 —Ti– F^1 эквивалентны. Три группы линий – дублет дублетов Б и дублеты триплетов Б' и Б"с соотношением интенсивностей 2:1:1 (спектр ЯМР второго порядка А,ХУ) связаны с присутствием в растворе диастереомера uc-TiF₄L₂, в котором атомы фтора в *транс*-положении друг к другу F^1 —Ti- F^1 ' неэквивалентны. Сохраняющаяся при изменении хим. сдвигов дублетов триплетов Б' и Б"(с уменьшением температуры образца) величина разности резонансных частот между триплетами в дублетах Б' и Б" равная 286.1 Гц, позволяет отнести ее к константе спин-спинового взаимодействия между неэквивалентными атомами фтора F¹ и F¹', расположенными в *транс*-положении друг к другу (КССВ J_{FIEI}).

Малоинтенсивный синглет В в этой области (см. рис. 3) несколько в более слабом поле отнесен к изомеру *транс*-Ті F_4L_2 . В спектрах ЯМР ¹⁹ Г тетрафторокомплексов d^0 -переходных металлов М F_4X_2 сигналы *транс*-изомеров расположены в области хим. сдвигов сигналов атомов фтора F^1 на ординате F^1 —М $-F^1$ *цис*-изомеров [14]. Как отмечалось выше, сигналы атомов фтора F^2 , находящихся в *транс*-положении к молекулярному донору, на ординате F^2 —Ті-O=Р располагаются существенно в более слабом поле (линии А и Б рацемического и мезо-диастереоизомеров *цис*-Ті F_4L_2 соответственно). Относительно малая интенсивность сигнала *транс*-Ті F_4L_2 по

сравнению с линиями *цис*-изомера TiF_4L_2 связана с упрочнением в *цис*-изомере связей двух ионов фтора F^2 (расположенных в *транс*-положении к более слабому молекулярному донору — P=O группе $F^2-Ti-O=P$) с центральным ионом титана, тогда как в транс-изомере атомы фтора располагаются в *транс*-положении друг к другу F^1-M-F^1 [14].

В общем случае для комплекса μuc -TiF₄L₂, содержащего два лиганда L, каждый из которых имеет два асимметрических атома углерода, теоретически возможно образование 2^4 оптических диастереоизомеров, т.е. 16 [9]. Однако L представляет собой рацемическую смесь двух энантиомеров (1R,2S) и (1S,2R), следовательно, диастереоизомеров комплекса μuc -TiF₄L₂ может быть лишь четыре: TiF₄L_{1R,2S}L_{1R,2S}, TiF₄L_{1S,2R}L_{1S,2R}, TiF₄L_{1S,2R}L_{1S,2R}, TiF₄L_{1S,2R}L_{1S,2R},

В спектре ЯМР 19 F{ 1 H} мы наблюдаем сигналы двух диастереоизомеров *цис*-TiF $_{4}$ L $_{2}$, в одном из которых атомы фтора, расположенные в *транс*-положении друг к другу эквивалентны, а в другом — неэквивалентны.

Для отнесения групп линий А, А' и Б, Б', Б" в спектрах ЯМР ¹⁹F к возможным диастереоизомерам комплекса μuc -TiF₄L₅ были взяты за основу фундаментальные работы по определению стереохимической конфигурации хиральных молекул органических соединений методами спектроскопии ЯМР [15, 16]. В частности, рассмотрение органических молекул, имеющих два асимметрических центра, разделенных углеродным атомом. Молекулы, содержащие симметрично расположенные хиральные группы (G_R, G_S) , разделенные одним атомом углерода, существуют в формах мезо- или оптически неактивного изомера и оптически активных рацемических изомеров (схема 2) [17]. Для таких молекул соотношения симметрии между протонами позволяют различать мезо- и рацемические изомеры методом ЯМР [18].

$$G_{1\overline{R2S}}$$
 — G_{1R2S} — G_{1S2R} — G_{1S2R} — G_{1R2S} — G_{1S2R} —

Схема 2.

В рацемических изомерах хиральные группы $(G_R$ или G_S) имеют одинаковую абсолютную конфигурацию и могут поменяться операцией симметрии C_2 , протоны у мостикового атома углерода являются изохронными [16] и в спектрах ПМР не различаются. В мезо-изомере хиральные группы имеют противоположные конфигурации [16] и не могут быть совмещены никакой операцией симметрии, поэтому протоны у мостикового атома углерода диастереотопны и должны быть анизохронными [16], т.е. могут различаться в спектрах ПМР.

Аналогичные рассуждения, по нашему мнению, могут быть перенесены и на органические молекулы, содержащие подобно лиганду L только два типа стереоизомеров — (1S,2R) и (1R,2S), для которых рацемические и мезо-изомеры (схема 3) также можно различить с использованием спектроскопии ЯМР.

$$G_R$$
 C
 G_R
 G_S
 C
 G_S
 G_R
 G_S
 G_R
 G_S
 G_S

Рацемические изомеры молекулы Мезо-изомер

Схема 3.

Заменив атом углерода на атом титана, а атомы водорода — на аксиальные атомы фтора F^1 , мы применили это к диастереоизомерам октаэдрического комплекса $\mathit{цuc}\text{-TiF}_4L_2$ и отнесли два сигнала равной интенсивности A, A' к рацемическому диастереомеру, представляющему собой смесь энантиомеров — $\mathit{цuc}\text{-TiF}_4L_{1R,2S}L_{1R,2S}$ и $\mathit{цuc}\text{-TiF}_4L_{1S,2R}L_{1S,2R}$, а группу линий B, B', B'' — к мезо-диастереомеру $TiF_4L_{1R,2S}L_{1S,2R}$ (схема 4).

В спектре ЯМР 31 Р{ 1 H} при 25° С (рис. 4) интенсивная широкая линия Б+В в области 51.8 м.д. отнесена к обменному сигналу атомов фосфора координированных лигандов диастереомеров μuc -TiF $_{4}$ L $_{2}$ Б + В. Малоинтенсивная линия А в более слабом поле в области 55.2 м.д. отнесена к атомам фосфора μuc -TiF $_{4}$ L $_{2}$.

Сигнал в области 40 м.д. указывал на присутствие незначительного избытка свободного лиганда L, а его ширина свидетельствовала об участии в процессах обмена лигандов. С понижением температуры до —45°С сигнал свободного лиганда L сужался и смещался в более силь-

$$\begin{array}{c} \begin{array}{c} \begin{array}{c} \begin{array}{c} \begin{array}{c} \begin{array}{c} \\ \\ \\ \\ \end{array}\end{array}\end{array} \end{array} \end{array} \begin{array}{c} \begin{array}{c} \begin{array}{c} \\ \\ \\ \end{array}\end{array} \begin{array}{c} \\ \\ \end{array} \end{array} \begin{array}{c} \begin{array}{c} \\ \\ \\ \end{array} \end{array} \begin{array}{c} \\ \\ \end{array} \end{array} \begin{array}{c} \begin{array}{c} \\ \\ \\ \end{array} \end{array} \begin{array}{c} \\ \\ \end{array} \begin{array}{c} \\ \\ \end{array} \begin{array}{c} \\ \\ \end{array} \end{array} \begin{array}{c} \begin{array}{c} \\ \\ \\ \end{array} \begin{array}{c} \\ \\ \end{array} \end{array} \begin{array}{c} \\ \\ \end{array} \end{array} \begin{array}{c} \\ \\ \\ \end{array} \begin{array}{c} \\ \\ \end{array} \begin{array}{c} \\ \\ \end{array} \begin{array}{c} \\ \\ \\ \end{array} \begin{array}{c} \\ \\ \end{array} \begin{array}{c} \\ \\ \end{array} \begin{array}{c} \\ \\ \\ \end{array} \begin{array}{c} \\ \\ \end{array} \begin{array}{c} \\ \\ \\ \\ \\ \end{array} \begin{array}{c} \\ \\ \\ \\ \\ \end{array}$$

Схема 4.

ное поле, а обменный сигнал в области \sim 55 м.д. разделялся. При этом удалось различить линии атомов фосфора лигандов, принадлежащих индивидуальным диастереомерам *цис*-TiF₄L₂.

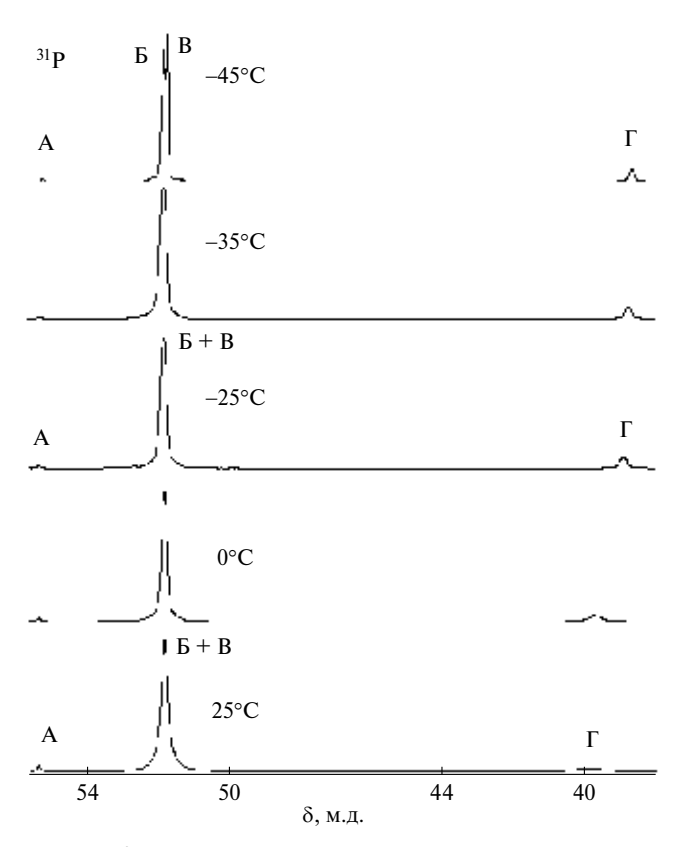


Рис. 4. Температурная зависимость спектров ЯМР $31P\{^1H\}$ раствора $TiF_4 + 2L$ в CH_2Cl_2 . А — сигнал *транс* TiF_4L_2 , Б, В — линии рацемических и мезо-диастерео-изомеров *цис*- TiF_4L_2 , Γ — сигнал свободного лиганда.

Таким образом, на основе анализа спектров ЯМР 19 F, с применением концепции гетеротропности, сделано заключение об относительной стереохимической конфигурации присутствующих в растворе рацемического и мезо-диастереоизомеров октаэдрического комплекса μuc -TiF $_4$ L $_2$. В мезо-диастереомере μuc -TiF $_4$ L $_{1R,2S}$ L $_{1S,2R}$ атомы фтора F^1 , расположенные на одной ординате октаэдра в μc -положении друг к другу, стерически неэквивалентны и различаются по величинам химических сдвигов и между ними наблюдается КССВ J_{ELEI} .

Обращает на себя внимание то обстоятельство, что неэквивалентность атомов фтора F¹, находяшихся в транс-положении друг к другу, в мезодиастереомере μuc -TiF₄L₂ проявляется в спектрах ЯМР 19 F{ 1 H} уже при комнатной температуре, тогда как для изученных ранее мезо-стереоизомеров цис-TiF_a[Ph₂P(O)CH₂CH(OH)Me], (цис- $TiF_{\lambda}L'_{\lambda}$ [9] $u'uu\bar{c}$ - $TiF_{\lambda}[Ph_{\lambda}P(O)CHMeCH_{\lambda}C(O)]$ $[Et]_{2}^{4}$ (иис-TiF₄L₂") [10] сигналы $[F^{1}]_{2}^{4}$ в этих условиях представляли собой группу перекрывающихся широких резонансных линий. Более того, в спектре ЯМР 31 Р 1 Н 1 иис-Ті 4 L 2 (см. рис. 4) при снижении температуры до –45° C сигналы атомов фосфора рацемического и мезо-диастереоизомеров *цис*-ТіF₄L₂ разделялись, тогда как в случае энантиомеров uuc-TiF₄L', и uuc-TiF₄L'', вплоть до замерзания раствора наблюдался обменный сигнал. По нашему мнению, в случае *цис*-TiF₄L₂ замедление протекающих в растворе динамических и обменных процессов связано с наличием в L объемного циклогексанового кольца, ограничивающего подвижность лиганда в координационной сфере центрального иона. Кроме этого, в отличие от uc-TiF₄L', и uc-TiF₄L", для которых суммарные концентрации рацемических энантиомеров и концентрации мезо-энантимеров равны, т.е. подчиняются статистическому распределению, в случае *цис*-TiF₄L, относительная концентрация мезо-диастереомеров несколько выше, что может быть связано с тонкими эффектами внутрисферных взаимодействий оптических центров (1R,2S)- и (1S,2R)-стереоизомеров лиганда с ионами фтора.

Авторы заявляют, что у них нет конфликта интересов.

ФИНАНСИРОВАНИЕ

Работа выполнена в рамках Государственного задания Института общей и неорганической химии им. Н.С. Курнакова РАН и Инсти-

тута элементоорганических соединений им. А. Н. Несмеянова РАН (№ 075-03-2023-642) Министерства науки и высшего образования Российской Федерации.

СПИСОК ЛИТЕРАТУРЫ

- Сафиулина А. М., Матвеева А. Г., Евтушенко А. В. и др. // Журн. общ. химии. 2015. Т. 85. № 9. С. 1551.
- Горюнов Е. И., Бодрин Г. В., Горюнова И. Б. и др. // Изв. АН. Сер. хим. 2013. № 3. С. 779.
- 3. *Ильин Е.Г., Паршаков А.С., Яржемский В.Г. и др.* // Докл. PAH. 2015. T. 465. № 3. С. 314. https://doi.org/10.7868/S0869565215330166
- 4. *Ильин Е.Г., Паршаков А.С., Данилов В.В. и др.* // Докл. PAH. 2016. T. 471. № 2. С. 163. https://doi.org/10.7868/S0869565216320116
- 5. Ильин Е.Г., Паршаков А.С., Данилов В.В. и др. // Коорд. химия. 2018. Т. 44. № 5. С. 318. https://doi.org/10.1134/S0132344X18050067 (*Il'in E. G., Parshakov A. S., Danilov V. V. et al.* // Russ. J. Coord. Chem. 2018. V. 44. P. 619). https://doi.org/10.1134/S1070328418100068
- 6. Ильин Е. Г., Паршаков А. С., Привалов В. И. и др. // Докл. PAH. 2016. Т. 467. № 5. С. 547. https://doi.org/10.7868/S086956521611013X
- 7. Ильин Е. Г., Паршаков А. С., Александров Г. Г. и др. // Докл. PAH. 2016. Т. 470. № 2. С. 176. https://doi.org/10.7868/S0869565216260121

- 8. *Ильин Е.Г., Ковалёв В.В., Нифантьев Э.* Е. // Докл. РАН. 2018. Т. 479. № 3. С. 283. https://doi.org/10.7868/S0869565218090104
- 9. Ильин Е. Г., Паршаков А. С., Данилов В. В. и др. // Коорд. химия. 2019. Т. 45. № 5. С. 290 (II'in E.G., Parshakov A. S., Danilov V. V. et al. // Russ. J. Coord. Chem. 2019. V. 45. P. 340). https://doi.org/10.1134/S1070328419030035
- 10. Ильин Е. Г., Паршаков А. С., Привалов В. И. и др. // Коорд. химия. 2019. Т. 45. № 9. С. 569 (*l'in E.G., Parshakov A. S., Privalov V. I. et al.* // Russ. J. Coord. Chem. 2019. V. 45. P. 667). https://doi.org/10.1134/S1070328419090057
- 11. *Krause L., Herbst-Irmer R., Sheldrick G. M., Stalke D. //* J. Appl. Cryst. 2015. V. 48. № 1. P. 3. https://doi.org/10.1107/S1600576714022985
- 12. *Sheldrick G. M.* // Acta Crystfllogr. C. 2015. V. 71. № 1. P. 3. https://doi.org/10.1107/S2053229614024218
- Groom C. R., Bruno I. J., Lightfoot M. P., Ward S. C. // Acta Crystallogr. B. 2016. V. 72. P. 171. https://doi.org/10.1107/S2052520616003954.14
- 14. Buslaev Yu. A., Ilyin E. G. // J. Fluor. Chem. 1984. V. 25. № 1. P. 57.
- 15. Потапов В. М. Стереохимия. М.: Химия, 1988.
- Gaudemer A., Minkin V.I., Jacques J. Stereochemistry Fundamental and Metods. V. 1 / Ed. Kagan H. B. Stuttgart, 1977. P. 73.
- 17. *Eliel E. L.*, *Wilen S. H.*, *Doile M.* P. Basic Organic Stereochemistry. New York: Wiley, 2001.
- 18. *Mislow K., Raban M.* Topics in Stereochemistry. V. 1 / Ed. Allinger N. L., Eliel E. L. New York: Wiley-Interscience, 1967.

Stereochemistry of the *cis*-Tetrafluoro Complexes of Titanium with 1-Ac-2-[Ph₂P(O)]-Cyclohexane (1RS,2SR) Stereoisomers in CH₂Cl₂

E. G. Il'in^{1, *}, A. S. Parshakov¹, V. I. Privalov¹, A. V. Churakov¹, G. V. Bodrin² and E. I. Goryunov²

¹Kurnakov Institute of General and Inorganic Chemistry, Russian Academy of Sciences, Moscow, Russia ²Nesmeyanov Institute of Organoelement Compounds, Russian Academy of Sciences, Moscow, Russia *e-mail: eg ilin@mail.ru

The monodentate phosphoryl-containing ligand 1-Ac-2-[Ph₂P(O)]-cyclohexane (L) bearing two asymmetric carbon atoms is synthesized. The study of its crystal structure shows that L is a racemic mixture of (1R,2S) and (1S,2R) stereoisomers. The complex formation of L with TiF_4 in CH_2Cl_2 is studied by $^{19}F\{1H\}$ and $^{31}P\{1H\}$ NMR spectroscopy. The compositions of the complexes formed in the solution are determined. Racemic and meso-diastereomers of the octahedral complex cis- TiF_4L_2 are formed in the solution as found by an analysis of the ^{19}F and ^{31}P NMR spectra taking into account the concept of heterotropy of organic compounds. The influence of the optical configuration of stereoisomers of the monodentate ligand coexisting in the coordination sphere of the [MF₄L₂] octahedral tetrafluoro complexes of transition d^0 metals on the chemical shifts of the fluorine atoms arranged in the trans positions relative to each other is shown. In the meso-diastereomer of cis- TiF^4L_2 , this results in a nonequivalence of the fluorine atoms on the F-Ti-F' ordinate of the octahedron, and the spin-spin coupling constant JFF' = 286.1 Hz is observed in the $19F\{1H\}$ NMR spectrum.

Keywords: titanium tetrafluoride, complex formation, NMR, stereochemistry

REFERENCES

- Safiulina A. M., Matveeva A. G., Evtushenko A. V. et al. // Russ. J. Gen. Chem. 2015. V. 85. № 9. P. 2128.
- 2. *Goryunov E. I., Bodrin G. V., Goryunova I. B. et al.* // Russ. Chem. Bull. 2013. № 3. P. 779.
- 3. *Il'in E. G., Parshakov A. S., Yarzhemskii V. G. et al.* // Dokl. Ross. Akad. Nauk. 2015. V. 465. № 3. P. 314.
- 4. *Il'in E. G., Parshakov A. S., Danilov V. V. et al.* // Dokl. Ross. Akad. Nauk. 2016. V. 471. № 2. P. 163.
- Il'in E. G., Parshakov A. S., Danilov V. V. et al. // Russ. J. Coord. Chem. 2018. V. 44. P. 619. https://doi.org/10.1134/S1070328418100068
- 6. *Il'in E. G., Parshakov A. S., Privalov V. I. et al.* // Dokl. Ross. Akad. Nauk. 2016. V. 467. № 5. P. 547.
- 7. *Il'in E. G., Parshakov A. S., Aleksandrov G. G. et al.* // Dokl. Ross. Akad. Nauk. 2016. V. 470. № 2. P. 176.
- 8. *Il'in E. G., Kovalev V.V., and Nifant'ev E. E. //* Dokl. Ross. Akad. Nauk. 2018. V. 479. № 3. P. 283.
- Il'in E. G., Parshakov A. S., Danilov V. V. et al. // Russ. J. Coord. Chem. 2019. V. 45. P. 340. https://doi.org/10.1134/S1070328419030035
- Parshakov A. S., Privalov V. I. et al. // Russ. J. Coord. Chem. 2019. V. 45. P. 667.

- https://doi.org/10.1134/S1070328419090057
- 11. *Krause L.*, *Herbst-Irmer R.*, *Sheldrick G. M.*, *and Stalke D. J.* // Appl. Crystallogr. 2015. V. 48. № 1. P. 3. https://doi.org/10.1107/S1600576714022985
- 12. *Sheldrick G. M.* // Acta Crystallogr., Sect. C: Struct. Chem. 2015. V. 71. № 1. P. 3.
 - https://doi.org/10.1107/S2053229614024218
- Groom C. R., Bruno I. J., Lightfoot M. P., and Ward S. C. // Acta Crystallogr., Sect. B: Struct. Sci., Cryst. Eng. Mater. 2016. V. 72. P. 171.
 - https://doi.org/10.1107/S2052520616003954.14
- 14. *Buslaev Yu.A, and Ilyin E. G.* // J. Fluorine Chem. 1984. V. 25. № 1. P. 57.
- 15. *Potapov V. M.* Stereokhimiya (Stereochemistry). Moscow: Khimiya, 1988.
- 16. *Gaudemer A., Minkin V.I., and Jacques J.* // Stereochemistry Fundamental and Methods. V. 1. Kagan H. B., Ed. Stuttgart, 1977. P. 73.
- 17. *Eliel E. L., Wilen S. H., and Doile M. P.* Basic Organic Stereochemistry. New York: Wiley, 2001.
- 18. *Mislow K, and Raban M*. Topics in Stereochemistry // Allinger N. L., and Eliel E. L., Eds. New York: Wiley-Interscience, 1967. V. 1.

УЛК 546.814: 547.567.4: 544.653: 543.442.3

РЕДОКС-АКТИВНЫЕ КОМПЛЕКСЫ ОЛОВА(IV) НА ОСНОВЕ ПРОСТРАСТВЕННО-ЗАТРУДНЕННЫХ КАТЕХОЛАТНЫХ ЛИГАНДОВ

© 2024 г. С. В. Барышникова^{1, *}, М. В. Арсеньев¹, Н. О. Дружков¹, Г. К. Фукин¹, Е. В. Баранов¹, А. В. Пискунов¹

¹Институт металлоорганической химии им. Г.А. Разуваева РАН, Нижний Новгород, Россия *e-mail: baryshnikova@iomc.ras.ru
Поступила в редакцию 28.04.2023 г.
После доработки 17.05.2023 г.

Принята к публикации 19.05.2023 г.

Реакция окислительного присоединения пространственно-экранированных 3,6-дициклогексил-o-бензохинона (L¹), 3,5-ди-mpem-октил-o-бензохинона (L²), 4-mpem-октил-o-бензохинона (L³) и 3,5- δuc (2-фенилпропил)-o-бензохинона (L⁴) к хлориду олова(II) в среде ТГФ независимо от мольного соотношения исходных реагентов позволяет получить соответствующие катехолатные комплексы олова(IV) с общей формулой RCatSnCl₂ · 2THF, где Cat - катехолатный фрагмент, R - 3,6-c-Hex (I), 3,5-tret-Oct (II), 4-tret-Oct (III), 3,5-tC(Me)₂Ph (IV). Молекулярное строение замещенного o-бензохинона L4 и комплексов I и III в кристаллическом виде установлено с помощью PCA (CCDC № 2259370 (L⁴), № 2259371 (I), № 2259372 (III)). Окислительно-восстановительные свойства полученных соединений I-IV изучены методом циклической вольтамперометрии.

Kлючевые слова: катехолат, o-бензохинон, олово(IV), циклическая вольтамперометрия, рентгеноструктурный анализ

DOI: 10.31857/S0132344X24020049 **EDN**: ORPODO

В последние несколько десятилетий активно развивающийся раздел координационной химии, изучающий комплексы переходных и непереходных металлов на основе редокс-активных лигандов, привлекает пристальное внимание исследователей в областях как фундаментальной, так и прикладной науки [1–11]. Интерес к данным соединениям обусловлен главным образом тем, что редокс-активные лиганды способны обратимо окисляться и восстанавливаться, находясь в координационной сфере металла, образуя при этом анион-радикальную или дианионную форму.

Эта особенность позволила обнаружить много интересных особенностей и необычных свойств соединений данного класса. Среди них металлотропия и элементотропия, уникальная чувствительность параметров спектров ЭПР о-семихиноновых и о-иминосемихиноновых комплексов к природе и сольватирующей способности растворителя [12]; внутримолекулярная редокс-изомерия и феномен фото-/термомеханического эффекта (обратимый изгиб кристаллов комплекса под действием излучения

или тепла) [13-15]; внутримолекулярный перенос электрона, индуцируемый замещением нейтральных лигандов в координационной сфере металла [16]; необычные магнитные свойства, обусловленные различными типами магнитных взаимодействий "металл - парамагнитный лиганд" и "лиганд – лиганд" [1, 17, 18]. Подавляющее большинство среди соединений, демонстрирующих вышеперечисленные нетривиальные свойства относятся к производным переходных металлов, а сами процессы сопровождаются изменением степени окисления переходного металла. В отличие от последних, непереходные металлы не имеют множественных устойчивых степеней окисления. Комбинация в одной молекуле непереходного металла и редокс-активного лиганда в определенных условиях позволяет моделировать химическое поведение комплексов переходных металлов. Для таких соединений становится возможно участие в таких процессах как окислительное присоединение и восстановительное элиминирование. Так, впервые обнаружено уникальное явление обратимого связывания молекулярного кислорода [19, 20], окислительное присоединение галоидных алкилов [21-23] и обратимое присоединение фенилацетилена [24] к комплексам непереходных металлов. Также показано, что монокатехолатные комплексы металлов главных групп способны окисляться как моно-, так и диоксидом азота, образуя при этом моно-о-бензосемихиноновые производные [25, 26]. Таким образом, в зависимости от природы лиганда катехолатные комплексы непереходных металлов способны изменять свои окислительно-восстановительные свойства, что дает возможность в значительной степени расширить границы редокс-превращений, и делает их перспективными с точки зрения развития химии комплексов металлов главных групп с редокс-активными лигандами как пограничной области между химией комплексов переходных и непереходных металлов.

В настоящей работе представлен синтез нового пространственно-экранированного о-бензохинона, а также ряда редокс-активных комплексов олова(IV) с пространственно-затрудненными катехолами, установлено их молекулярное строение и изучены электрохимические свойства.

ЭКСПЕРИМЕНТАЛЬНАЯ ЧАСТЬ

Все манипуляции по синтезу комплексов олова с замещенными о-бензохинонами проводили в условиях отсутствия кислорода и влаги воздуха. Использованные в синтезах растворители очищали и обезвоживали согласно рекомендациям [27, 28]. o-Бензохиноны L^1 - L^3 получали по известной методике [29, 30]. Спектры ЯМР ¹Н регистрировали на спектрометре Bruker Avance Neo (300 МГц). Для регистрации спектров ЯМР использовали CDCl, в качестве растворителя. ИК-спектры в области 400-4000 см⁻¹ регистрировали на спектрометре с Фурье-преобразователем ФСМ-1201 в вазелиновом масле. Элементный анализ выполнен на элементном анализаторе Elementar Vario EL cube. Электрохимические измерения проводили в стандартной трехэлектродной ячейки в растворе CH₂Cl₂ с использованием потенциостата Smartstat PS-50. В качестве рабочего электрода применялся стеклоуглеродный дисковый электрод (d = 2 мм). Платиновая проволока и Ag/AgCl/KCl (нас.) использовались как вспомогательный электрод и электрод сравнения соответственно. Все измерения проводили в атмосфере аргона. Скорость сканирования составляла 200 мВ/с. В качестве электролита использовали H-Ви₄NClO₄ (0.2 M). Концентрация комплексов — 2×10^{-3} моль/л.

Синтез 3,5-*бис*(2-фенилпропан-2-ил)-*о*-бензо-хинона (L⁴). Смесь пирокатехина (2.2 г, 0.02 моль), α -метилстирола (7.08 г, 0.06 моль) и *бис*-катехолата титана (0.3 г) нагревали при 160°С в течение 6 ч. Далее избыток α -метилстирола удаляли при пониженном давлении и реакционную смесь растворяли в 20 мл CH₃C(O)OH и окисляли добавлением концентрированной HNO₃ по каплям до прекращения выделения NO₂. Продукт экстрагировали горячим гексаном, промывали водой и перекристаллизовывали из метанола. Выход зеленых кристаллов, пригодных для PCA, — 2.34 г (34%).

Найдено, %: С 83.85; Н 6.12.

Для $C_{24}H_{24}O_{2}$

вычислено, %: С 83.69; Н 7.02.

ИК (ваз. масло, см⁻¹): 1664 с, 1662 ср, 1599 ср, 1567 ср, 1493 с, 1466 с, 1443 с, 1367 с, 1316 сл, 1265 с, 1234 ср, 1207 ср, 1189 ср, 1156 ср, 1142 ср, 1101 ср, 1077 ср, 1055 ср, 1026 с, 1004 ср, 988 сл, 965 с, 941 ср, 926 сл, 913 ср, 904 ср, 879 с, 846 с, 805 с, 768 с, 704 с, 660 ср, 614 ср, 599 ср, 573 с, 536 с, 502 ср, 479 ср.

ЯМР ¹H (CDCl₃; δ , м.д.): 1.40 (c, 6H, 2CH₃), 1.57 (c, 6H, 2CH₃), 6.41 (d, ⁴J(HH) = 2.2, 1H, CH_{аром}), 6.46 (d, ⁴J(HH) = 2.2, 1H, CH_{аром}), 7.00–7.45 (м, 10H, 2Ph). ЯМР ¹³С (CDCl₃; δ , м.д.): 27.16, 28.27, 42.02, 44.20, 122.82, 125.47, 125.97, 126.37, 127.26, 128.23, 128.97, 136.16, 144.38, 146.83, 148.56.

Общая методика синтеза комплексов I–IV на основе замещенных о-бензохинонов. Раствор замещенного o-бензохинона (1 экв) в ТГФ (10 мл) добавляли к раствору SnCl₂ · dioxane (1 экв) в 20 мл того же растворителя. Цвет реакционной смеси менялся от зеленого до желтого или коричневого. ТГФ упаривали при пониженном давлении досуха и остаток растворяли в смеси растворителей СН₂Сl₂-гексан в соотношении 1 : 1. Комплексы олова(IV) выделяли в виде желтых мелкокристаллических осадков, после выдерживания раствора при -18°C в течение ночи. Пригодные для РСА кристаллы получили для комплексов I и III. Все полученные катехолатные комплексы олова I – IV чувствительны к кислороду и влаге воздуха в растворе и твердом состоянии.

 $(3,6-c-\text{HexCat})\text{SnCl}_2 \cdot 2\text{THF (I)}$. Мелкокристаллический осадок желтого цвета, полученный из лиганда $L^1(0.250 \text{ г}, 0.918 \text{ ммоль})$ и $\text{SnCl}_2 \cdot \text{dioxane}$ (0.254 г, 0.918 ммоль). Выход -0.523 г (94%).

 Найдено, %: С 51.76; Н 6.84. Для $\mathrm{C_{26}H_{40}O_{4}Cl_{2}Sn}$

вычислено, %: С 51.51; Н 6.65.

ИК (ваз. масло; v, см⁻¹): 1456 c, 1414 cp, 1377 cp, 1364 cp, 1325 сл, 1276 c, 1252 c, 1178 сл, 1137 cp, 1075 c, 1053 сл, 1024 сл, 978 c, 955 c, 918 сл, 893 cp, 848 сл, 816 c, 801 cp, 742 c, 654 c, 602 c, 525 c.

ЯМР ¹H (CDCl₂; δ, м.д.): 0.71–1.53 и 1.60–2.07

(м., оба по 5H, CH_{2 шиклогекс}), 1.86 (м., 4H, 2CH₂(T-

 Γ Ф)), 2.61–2.79 (м., 1H, $CH_{\text{пиклогекс}}$), 3.83 (м., 4H,

 $2CH_2O(T\Gamma\Phi)$), 6.71 (c., 1H, CH_{apom}).

(3,5-*tret*-OctCat)SnCl₂ · 2THF (II). Мелкокристаллический осадок коричневого цвета, полученный из лиганда $L^2(0.250 \text{ г}, 0.751 \text{ ммоль})$ и $SnCl_2$ · dioxane (0.208 г, 0.751 ммоль). Выход — 0.461 г (92%).

Найдено, %: С 54.36; Н 7.98.

Для C₃₀H₅₂Cl₂O₄Sn

вычислено, %: С 54.07; Н 7.87.

ИК (ваз. масло; v, см⁻¹): 1567 c, 1465 cp, 1416 c, 1395 cp, 1378 cp, 1363 c, 1349 cp, 1333 cp, 1300 cp, 1289 cp, 1253 c, 1234 c, 1213 сл, 1182 сл, 1134 ср, 1103 сл, 1043 сл, 1002 c, 984 c, 969 c, 924 ср, 909 ср, 886 сл, 834 c, 772 c, 741 cp, 702 c, 680 сл, 665 ср, 637 ср, 596 c, 525 c, 502 с.

ЯМР ¹H (CDCl₃; δ , м.д.): 0.73 и 0.75 (с., оба по 9H, 3CH₃), 1.30 и 1.43 (с., оба по 6H, 2CH₃), 1.67 и 1.93 (с., оба по 2H, CH₂), 1.88 (м., 8H, 2CH₂(Т-ГФ)), 3.86 (м., 8H, 2CH₂Ō(ТГФ)), 6.52 и 6.62 (д., ⁴J(H, H) = 2 Гц, оба по 1H, CH_{аром}).

(4-tret-OctCat)SnCl₂ · 2THF (III). Мелкокристаллический осадок бледно-желтого цвета, полученный из лиганда $L^3(0.117 \text{ г}, 0.531 \text{ ммоль})$ и $SnCl_2$ · dioxane (0.147 г, 0.531 ммоль). Выход — 0.273 г (93%).

Найдено, %: С 47.81; Н 6.64.

Для C₂₂H₃₆Cl₂O₄Sn

вычислено, %: С 47.68; Н 6.55.

ИК (ваз. масло; v, см⁻¹): 1577 сл, 1465 ср, 1415 с, 1378 ср, 1365 с, 1348 ср, 1313 ср, 1254 с, 1205 ср, 1129 ср, 1115 ср, 1082 сл, 1043 с, 1005 с, 946 ср, 933 сл, 919 ср, 902 сл, 864 ср, 838 с, 805 с, 723 ср, 693 ср, 660 с, 619 ср, 572 сл, 513 сл.

ЯМР ¹H (CDCl₃; δ, м.д.): 0.71 (с., 9H, 3CH₃), 1.30 (с., 6H, 2CH₃), 1.94 (с., 2H, CH₂), 1.88 (м., 8H, 2CH₂(ТГФ)), 3.86 (м., 8H, 2CH₂O(ТГФ)), 6.56–7.11 (м., 3H, CH₂₀₂₄).

 $(3,5-C(Me)_2Ph-Cat)SnCl_2$ • 2THF (IV). Мелкокристаллический осадок желтого цвета, полученный из лиганда L^4 (0.250 г, 0.726 ммоль) и $SnCl_2$ • dioxane (0.201 г, 0.726 ммоль). Выход — 0.458 г (93%).

Найдено,%: С56.95; Н 6.05.

Для $C_{32}H_{40}Cl_2O_4Sn$

вычислено,%: С56.66; Н 5.94.

ИК (ваз. масло; v, см⁻¹): 1597 сл, 1572 ср, 1465 ср, 1420 с, 1378 с, 1298 с, 1279 с, 1242 ср, 1230 сл, 1202 ср, 1182 сл, 1154 сл, 1114 сл, 1074 сл, 1030 ср, 999 ср, 977 с, 919 ср, 904 ср, 812 ср, 857 ср, 828 с, 815 с, 767 с, 747 ср, 722 ср, 700 с, 662 сл, 639 ср, 614 с, 587 ср, 562 ср, 547 ср, 534 ср, 489 ср.

ЯМР ¹H (CDCl₃; δ , м.д.): 1.61 и 1.70 (с., оба по 3H, CH₃), 1.86 (м., 8H, 2CH₂(ТГФ)), 3.84 (м., 8H, 2CH₂O(ТГФ)), 6.73 и 6.88 (д. ⁴J(НН) = 2 Гц, оба по 1H, CH_{арол}), 7.39–7.08 (м., 10H, 2C₆H₅).

РСА *о*-бензохинона L⁴ и комплексов I и III проведен автоматических монокристальных дифрактометрах Agilent Xcalibur E (для L^4 , T = 298(2)K) и Bruker D8 Quest (для I и III, T = 100(2) K) (ω - и φ -сканирование, Мо K_{α} -излучение, λ = = 0.71073 Å). Сбор дифракционных данных, начальное индицирование отражений и уточнение параметров элементарной ячейки произведены с использованием программ CrysAlisPro [31] (для L^4) и APEX4 [32] (для I и III). Экспериментальные наборы интенсивностей интегрированы с помощью программ CrysAlisPro [31] (для L4) и SAINT [33, 34] (для I и III). Структуры расшифрованы "dual-space" методом с применением программы SHELXT [35] и уточнены полноматричным методом наименьших квадратов по F^{2h}_{kl} в анизотропном приближении для неводородных атомов. Водородные атомы помещены в геометрически рассчитанные положения и уточнены изотропно в модели "наездника" с фиксированными тепловыми параметрами ($U_{\text{изо}}(\mathrm{H})=1.5U_{\text{экв}}(\mathrm{C})$ для $\mathrm{CH_3}$ -групп и $U_{\text{изо}}(\mathrm{H})=1.2U_{\text{экв}}(\mathrm{C})$ для остальных групп). Уточнения структур L⁴, I и III проведены с использованием программного пакета SHELXTL [36, 37]. Алгоритм SCALE3 ABSPACK [38] использован для эмпирического учета поглощения L⁴. Учет поглощения для I и III произведен по программе SADABS [39]. В комплексе I один Су-заместитель катехолатного лиганда разупорядочен по двум положениям. Молекула A комплекса III содержит разупорядоченные фрагменты координированных молекул ТГФ. Кристаллографические данные, параметры рентгеноструктурных экспериментов и уточнения структур приведены в табл. 1.

Структуры зарегистрированы в Кембриджском банке структурных данных (ССDС № 2259370 (L⁴), № 2259371 (I), № 2259372 (III) и доступны по адресу: ccdc.cam.ac.uk/structures).

Одноточечные DFT-расчеты периодических трехмерных структур I и III выполнены в рамках обменно-корреляционного функционала ВЗLYР [40, 41] в программе CRYSTAL17 [42] с использованием полноэлектронного базисного набора DGDZVP [43—46]. Координаты атомов для одноточечного DFT-расчета взяты из данных рутинных рентгеноструктурных экспериментов I и III. Коэффициент сжатия обратного пространства установлен равным 4, что соответствует 30 К точкам в неприводимой зоне

Бриллюэна, в которой была диагонализирована гамильтонова матрица.

Программа PLATON (версия 60119) [47] применена для генерирования соответственно 35168 и 64284 независимых индексов Миллера hkl для I и III с обратным разрешением до $s=1.16~{\rm \AA}^{-1}$. Опция XFAC программы CRYSTAL17 использована для получения набора теоретических структурных факторов F_{hkl} из функции электронной плотности, полученной одноточечными расчетами неоптимизированных кристаллических структур I и III.

На основе рассчитанных структурных амплитуд F_{hkl} с помощью программы MoPro [48] в рамках мультипольного формализма Хансена—Коппенса [49] получены для каждого атома комплексов I и III заселенности сферически-симметричной валентной оболочки (P_{val}) и мультипольных параметров (P_{lm}), описывающих ее деформацию, вместе с соответствующими коэффициентами расширения-сжатия (k, k). Уровни мультипольного разложения были гексадекапольными для

Таблица 1. Кристаллографические данные, параметры эксперимента и уточнения структур соединения L4 и комплексов I и III

Помолиомя	Значение			П	Значение		
Параметр	L ⁴	I	III	Параметр	L^4	I	III
Бруто-фор- мула	C ₂₄ H ₂₄ O ₂	$C_{26}H_{40}O_4Cl_2Sn$	C ₂₂ H ₃₆ O ₄ Cl ₂ Sn	Размеры кристалла,	0.97 × 0.49 × 0.21	0.44 × 0.39 × 0.21	0.44 × 0.35 × 0.05
M	344.43	606.17	554.10	MM	0.21	0.21	0.05
Кристалличе- ская система	Триклин- ная	Триклинная	Триклинная	Количество измеренных/	32345 /	56520 / 5112	81 105 / 11 866
Простран- ственная	PĪ	PĪ	PĪ	независимых отражений	9319	00020 / 0112	
группа				$R_{\rm int}$	0.0150	0.0426	0.0479
<i>T</i> , K	298(2)	100(2)	100(2)	Количество			
λ, Å	0.71073	0.71073	0.71073	независимых отражений	7652	4795	10001
a, Å	10.6231(2)	6.9833(5)	7.7893(6)	$c I > 2\sigma(I)$			
$b, m \AA$	11.2965(2)	10.7268(8)	12.9674(10)	Число			
c, Å	18.3795(2)	19.4323(14)	25.298(2)	уточняемых параметров/	477 / 0	315 / 12	553 / 32
α, град	80.619(1)	100.432(2)	85.554(2)	ограничений			
β, град	83.776(1)	100.0950(19)	88.569(2)	$R_1, wR_2 (I > 2\sigma(I))$	0.0430, 0.1146	0.0239, 0.0552	0.0280, 0.0613
ү, град	62.917(2)	104.8902(19)	74.870(2)	R_1, wR_2	0.0525		0.0402
V, Å ³	1936.03(6)	1345.31(17)	2459.2(3)	(по всем	0.0535, 0.1204	0.0271, 0.0573	0.0403, 0.0651
Z	4	2	4	данным)			
ρ (выч.), г/см ³	1.182	1.496	1.497	$S(F^2)$	1.054	1.073	1.053
μ , mm^{-1}	0.074	1.177	1.280	Остаточная			1.299 / -0.676
F(000)	736	624	1136	электронная плотность	0.260 /	0.385 /	
Размеры кристалла, мм	0.97 × 0.49 × × 0.21	0.44 × 0.39 × × 0.21	0.44 × 0.35 × × 0.05	(max/min), e/Å ³	-0.157	-0.721	1.277 / -0.070

атома олова, октупольными для всех остальных атомов, не являющихся водородными, и одним дипольным для атомов водорода. Полученные значения P_{val} , P_{lm} , k и k' использованы (но сами не уточнялись) для мультипольного уточнения координат и тепловых параметров атомов комплексов I и III по экспериментальным наборам отражений ($\sin\theta/\lambda=0.61$ (I) и 0.66 (III) Å⁻¹) в реальной симметрии кристалла.

Анализ топологии экспериментально-теоретической функции $\rho(r)$ проведен с помощью пакета программ WINXPRO [50].

РЕЗУЛЬТАТЫ И ИХ ОБСУЖДЕНИЕ

Замещенные o-бензохиноновые лиганды I и III синтезировали по известным методикам [29, 30]. 3,5- δ ис(2-фенилпропан-2-ил)-o-бензохинон (L⁴) получали по реакции алкилирования пирокатехина α -метилстиролом в присутствии δ ис-катехолата титана с последующим окислением образующегося на первой стадии пирокатехина азотной кислотой (схема 1).

Строение лиганда L^4 подтверждено комплексом физико-химических методов исследования. В ИК-спектрах бензохинона L^4 имеются интенсивные полосы в области 1640-1700 см⁻¹, характерные для валентных колебаний карбонильных групп в стерически экранированных бензохинонах. Строение o-хинона L^4 также подтверждено данными спектроскопии 1 H, 13 C ЯМР. Спектр 1 H ЯМР L^4 представлен узкими интенсивными синглетами от протонов метильных групп, дублетами от ароматических протонов с константами $^4J_{\rm HH}=2$ Гц, а также мультиплетами от протонов фенильных фрагментов в положениях 3 и 5 ароматического кольца.

Схема 1.

$$I - IV$$

$$R CatSnCl_2 \cdot 2THF$$

$$I - IV$$

$$R CatSnCl_2 \cdot 2THF$$

$$II$$

$$(3,6-c-HexCat)SnCl_2 \cdot 2THF$$

$$(3,5-tret-OctCat)SnCl_2 \cdot 2THF$$

$$IV$$

$$(4-tret-OctCat)SnCl_2 \cdot 2THF$$

$$(3,5-C(Me)_2Ph-Cat)SnCl_2 \cdot 2THF$$

Полученные замещенные o-бензохиноны L^1 — L^4 легко взаимодействуют с диоксанатом дихлорида олова в растворе $T\Gamma\Phi$ (схема 2).

Схема 2.

В ходе реакции происходит окисление низковалентного атома олова(II) до олова(IV) и восстановление o-бензохинона до дианионного состояния, при этом образуются соответствующие катехолатные комплексы I—IV (см. схему 2). Окисление Sn(II) в Sn(IV) о-бензохиноном не зависит от мольного соотношения исходных реагентов и сопровождается восстановлением одной молекулы o-бензохинона до катехолата.

Строение комплексов I–IV подтверждено различными физико-химическими методами (спектроскопия ИК, ЯМР 1 Н, РСА, элементный анализ). Восстановление o-бензохинона подтверждается исчезновением полос в ИК-спектрах комплексов I–IV, отвечающих валентным колебаниям групп С=О o-бензохинона в области $1650 \, \mathrm{cm}^{-1}$, а также наличием полос поглощения, отвечающих валентным колебаниям одинарных связей С—О, характерных для катехолатных комплексов ($1245 \, \mathrm{cm}^{-1}$).

Все комплексы являются диамагнитными и имеют хорошо разрешенные спектры ЯМР,

		L ⁴	I	III		
Связь	Молекула А	Молекула В		Молекула А	Молекула Е	
			d, Å			
n(1)—O(1)	_	_	2.0163(16)	2.0289(14)	2.0271(14)	
Sn(1) - O(2)	_	_	2.0118(16)	2.0211(14)	2.0212(14)	
Sn(1) - O(3)	_	_	2.1694(16)	2.1849(14)	2.1839(14)	
Sn(1) - O(4)	_	_	2.1891(16)	2.1520(14)	2.1549(14)	
Sn(1)— $Cl(1)$	_	_	2.3756(6)	2.3629(6)	2.3620(5)	
Sn(1)— $Cl(2)$	_	_	2.3663(6)	2.3453(5)	2.3426(5)	
O(1) - C(1)	1.2090(13)	1.2118(14)	1.375(3)	1.361(2)	1.363(2)	
O(2) - C(2)	1.2139(13)	1.2099(14)	1.373(3)	1.359(2)	1.360(2)	
C(1)-C(6)	1.4859(14)	1.4802(16)	1.393(3)	1.382(3)	1.378(3)	
C(1)-C(2)	1.5472(16)	1.5483(18)	1.410(3)	1.414(3)	1.411(3)	
C(2)-C(3)	1.4490(15)	1.4502(17)	1.396(3)	1.381(3)	1.373(3)	
C(3)-C(4)	1.3419(15)	1.3374(15)	1.396(3)	1.401(3)	1.400(3)	
C(4)-C(5)	1.4769(14)	1.4723(15)	1.385(3)	1.393(3)	1.397(3)	
C(5)-C(6)	1.3445(14)	1.3393(15)	1.399(3)	1.395(3)	1.394(3)	
Угол			ω, град			
O(1)—Sn(1)—O(2)	_	_	83.33(6)	83.12(6)	83.38(6)	
Cl(1)— $Sn(1)$ — $Cl(2)$	_	_	95.29(2)	94.61(2)	96.01(2)	
O(3)-Sn(1)-O(4)	_	_	176.08(6)	178.67(5)	179.21(6)	
O(1)-Sn(1)-Cl(1)	_	_	90.17(5)	173.15(4)	171.05(4)	
O(2)-Sn(1)-Cl(1)	_	_	172.20(5)	90.25(4)	87.75(4)	
O(1)-Sn(1)-Cl(2)	_	_	174.07(5)	92.00(4)	92.83(4)	
- ini ini ini	1	1	1 04 00 (2)	1	1	

Таблица 2. Основные длины связей (Å) и углы (град) в o-бензохиноне (L⁴) и катехолатах олова(IV) (I) и (III) согласно данным РСА

которые также подтверждают их строение. Спектры ¹Н ЯМР соединений в растворе дихлорметана содержат набор сигналов от протонов групп (фенильные, метильные, *трет*-октильные и циклогексильные группы), входящих в состав органических лигандов комплексов I—IV. Протоны арильного кольца в комплексах проявляются в спектрах ¹Н ЯМР в виде сигналов, химические сдвиги которых находятся в диапазоне 6.5—7.1 м.д.

O(2)-Sn(1)-Cl(2)

В случае комплексов II и IV на основе 3,5-дизамещенных *о*-бензохиноновых лигандов, сигналы от ароматических протонов катехолатного кольца являются дублетами с константами $^4J_{\rm HH}=2$ Гц.

175.09(4)

175.91(4)

91.39(5)

Молекулярное строение o-бензохинона L^4 и комплексов I и III в кристаллическом состоянии установлено с помощью PCA (рис. 1 и 2). Основные длины связей и углы приведены в табл. 2.

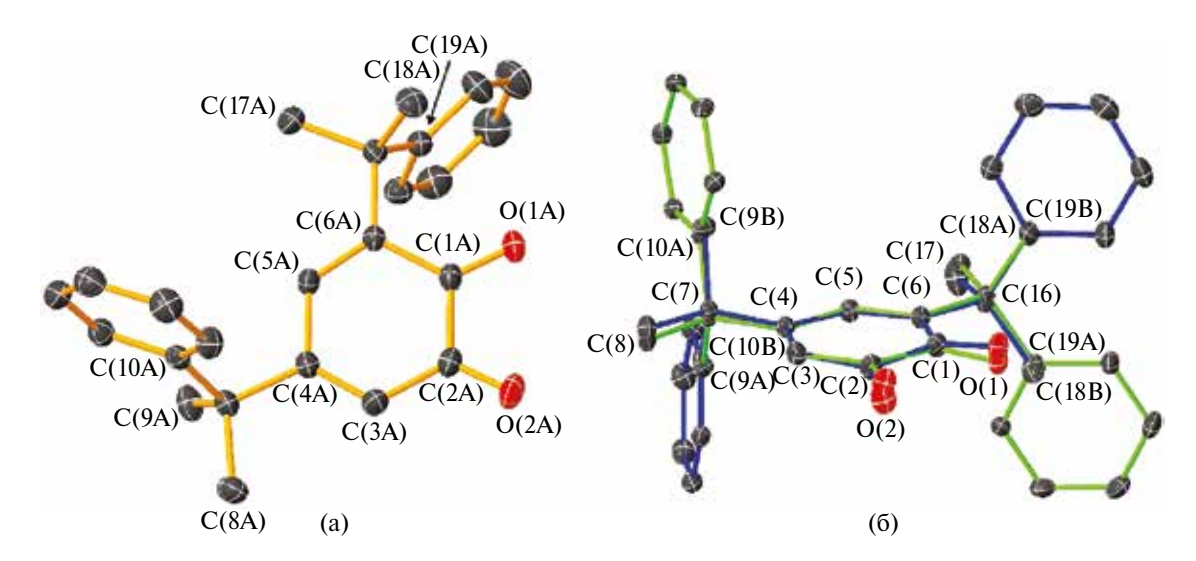


Рис. 1. Строение молекулы А o-бензохинона L^4 (приведены тепловые эллипсоиды 30%-ной вероятности) a; δ — суперпозиция структур молекул А и В (зеленые и синие связи соответственно) соединения L^4 с тепловыми эллипсоидами атомов 15%-ной вероятности (атомы водорода не показаны).

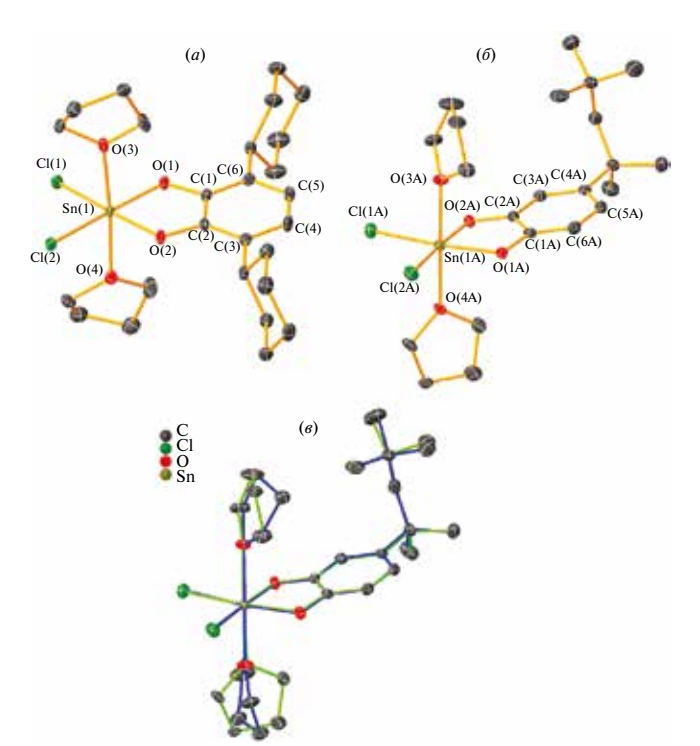


Рис. 2. Молекулярное строение комплексов I (*a*) и III (δ , молекула A); суперпозиция структур молекул A и B комплекса III (зеленые и синие связи соответственно) (ϵ). Приведены тепловые эллипсоиды 50%-ной вероятности. Атомы водорода не показаны.

Ассиметричная часть элементарной ячейки кристалла о-бензохинона L⁴ содержит две независимые молекулы А и В, отличающиеся положением метильных (атомы С(9) и С(18)) и фенильных (C(10) и C(19)) заместителей относительно плоскости o-бензохинона (см. рис. 1, δ). В молекулах А и В метильные группы С(8) и С(17) находятся в плоскости о-бензохинонового цикла. Фенильные группы с атомами C(10), C(19) и, соответственно, метильные атомы C(9), C(18)расположены в транс-позициях относительно плоскости хинонового фрагмента. Структурные характеристики соединения L4 типичны для стерически экранированных о-бензохинонов (см. рис. 1, табл. 2). В частности, расстояния С-О соответствуют двойным связям и наблюдается альтернирование одинарных и двойных связей С-С в центральном шестичленном цикле C(1)—C(6). Фенильные группы пропильных заместителей в положениях 3 и 5 ароматического кольца вследствие необходимости минимизации стерических взаимодействий расположены перпендикулярно плоскости о-бензохинонового фрагмента. Двугранные углы между ними варьируются в диапазоне $87.0^{\circ}-90.0^{\circ}$.

Аналогично L⁴, в кристалле III обнаружены две независимые молекулы A и B комплекса оло-

Таблица 3. Основные топологические параметры электронной плотности в координационной сфере атома олова, полученные экспериментально-теоретически*

Связь	ν(r), a.e.	ρ(r), a.e.	$\Delta^2 \rho(\mathbf{r}),$ a.e.	$h_e(\mathbf{r})$, a.e.					
	I								
Sn(1)—O(1)	-0.178	0.109	0.408	-0.038					
Sn(1) - O(2)	-0.180	0.110	0.411	-0.038					
Sn(1) - O(3)	-0.098	0.076	0.239	-0.019					
Sn(1) - O(4)	-0.092	0.073	0.223	-0.018					
Sn(1)— $Cl(1)$	-0.099	0.081	0.145	-0.031					
Sn(1)—Cl(2)	-0.100	0.081	0.150	-0.031					
		III							
Sn(1A)— $O(1A)$	-0.167	0.105	0.394	-0.034					
Sn(1A)— $O(2A)$	-0.172	0.107	0.406	-0.035					
Sn(1A)— $O(3A)$	-0.093	0.073	0.230	-0.017					
Sn(1A)— $O(4A)$	-0.103	0.078	0.254	-0.020					
Sn(1A)-l(1A)	-0.103	0.083	0.153	-0.032					
Sn(1A)—l(2A)	-0.107	0.085	0.161	-0.034					

^{*}Плотность потенциальной энергии ($v(\mathbf{r})$), электронная плотность ($\rho(\mathbf{r})$), лапласиан электронной плотности ($\Delta^2 \rho(\mathbf{r})$) и плотность электронной энергии ($h_e(\mathbf{r})$) в критических точках (3,—1).

ва(IV), которые отличаются геометрией координированных молекул $T\Gamma\Phi$ (см. рис. 2, θ). Атомы олова в комплексах I и III имеют искаженное октаэдрическое окружение (см. рис. $2, a, \delta$). Атомы кислорода O(1) и O(2) катехолатного фрагмента и атомы хлора Cl(1), Cl(2) находятся в экваториальной плоскости, в то время как атомы кислорода O(3) и O(4) двух молекул координированного ТГФ располагаются в апикальных позициях. Циклопентадиенильные заместители катехолатного лиганда в комплексе І находятся в конформации "кресло". Длины связей Sn(1)—O(1,2) в I и III (2.0118(16)—2.0289(14) Å) близки к сумме ковалентных радиусов атомов кислорода и олова(IV) (2.09 Å) [51] и достаточно близки к аналогичным длинам связей в различных катехолатных комплексах олова(IV) (1.995(8)—2.079(3) Å) [52–56]. Длины связей Sn-Cl (2.3426(5)-2.3756(6) Å) в I и III типичны для связей Sn^{IV}-Cl (сумма ковалентных радиусов атомов олова и хлора составляют 2.39 Å [51]) и находятся в интервале аналогичных значений для комплексов Sn(IV) (2.34–2.46 Å) [57–60]. Напротив, длины Sn-O_{тго} для координированного тетрагидрофурана в комплексах I и III превышают сумму ковалентных радиусов атомов олова и кислорода и демонстрируют донорно-акцепторный характер взаимодействия [51, 53]. Длины связей С-О (1.359(2)—1.375(3) Å) катехолатного фрагмента лежат в диапазоне длин связей для координированных дианионных производных катехолат-

Таблица 4. Атомные заряды (q/e) в координационной сфере олова, полученные экспериментально-теоретически

Комплекс	q(Sn(1))	q(O(1))	q(O(2))	q(O(3))	q(O(4))	q(Cl(1))	q(Cl(2))
I	1.89	-0.95	-0.96	-0.86	-0.85	-0.58	-0.56
III*	1.92	-0.96	-0.96	-0.84	-0.88	-0.56	-0.56

^{*}Заряды приведены для одной независимой молекулы (А).

ных комплексов различных металлов (от 1.33 до 1.39 Å) [1, 12, 61]. Расстояния С—С в ароматических кольцах катехолатных лигандов близки к аналогичным значениям в бензоле (1.40 Å).

Для комплексов I и III была исследована экспериментально-теоретическая топология электронной плотности. Для этого мы использовали асферический рассеивающий фактор независимой области ячейки (кристаллический инвариом), который позволяет адекватно воспроизвести топологию экспериментальной электронной плотности и энергию межмолекулярных взаимодействий в кристалле [62, 63]. Согласно теории Р. Бейдера [64], все взаимодействия в координационной сфере атомов олова в I и III являются промежуточными ($\Delta^2 \rho(\mathbf{r}) > 0$, $h_1(\mathbf{r}) < 0$; ковалентная полярная связь; табл. 3). Это согласуется с распределением зарядов в координационной сфере атомов олова (табл. 4). Подобная ситуация имеет место в катехолатных и амидофенолятных комплексах сурьмы(V) [65, 66]. Полный заряд на катехолатном центре комплекса I составляet -0.68 е и несколько меньше, чем аналогичная величина в III (-0.76 е).

Окислительно-восстановительные свойства комплексов I-IV исследовали методом циклической вольтамперометрии (ЦВА) в растворе хлористого метилена в атмосфере аргона (рис. 3, табл. 5). На рис. 3 представлены типичные для данных соединений кривые ЦВА в интервале $0.2-1.6~\mathrm{B}.$

Таблица 5. Электрохимические потенциалы (B) окисления I–IV (298 K, Ag/AgCl/KCl, CH₂Cl₂, $c=1\times 10^{-3}$ M, 0.2 M [n-Bu_aN]ClO $_a$, V=0.2 B/c, Ar)

Комплекс	E_p , B*
I	1.24
II	1.14
III	1.22
IV	1.20

 $^{^*}E_{_{p}}$ — потенциал пика для необратимого процесса.

Циклическая вольтамперограмма комплексов олова(IV) I—IV демонстрирует одну необратимую стадию электрохимического окисления в интер-

вале от 0.95 до 1.30 В, которая соответствует окислению катехолатного центра. Следует отметить, что величины зарядов на катехолатных центрах в I (-0.68 е) и III (-0.76 е) коррелируют с электрохимическим потенциалом окисления (см. табл. 5). Чем больше отрицательный заряд, тем меньше электрохимический потенциал окисления. Это подтверждает корректность использования кристаллических инвариомов для исследования топологии электронной плотности.

Таким образом, получен пространственноэкранированный o-бензохинон (L^4) и комплекс (3,5- $C(Me)_2$ Ph-Cat)SnCl $_2 \cdot 2$ THF (IV) на его основе, а также ряд монокатехолатных комплексов олова(IV) с замещенными o-бензохиноновыми лигандами, молекулярное строение лиганда L^4 и двух комплексов (3,6-c-HexCat)SnCl $_2 \cdot 2$ THF (I) и (4-tret-OctCat)SnCl $_2 \cdot 2$ THF (III) в кристаллическом виде установлено с помощью рентгеноструктурного анализа. Окислительно-восстановительные свойства полученных соединений исследованы с помощью ЦВА. Показано, что электрохимическое окисление комплексов происходит в области 1.14— 1.24 В как одностадийный процесс, в котором принимают участие катехолатный центр.

Авторы заявляют, что у них нет конфликта интересов.

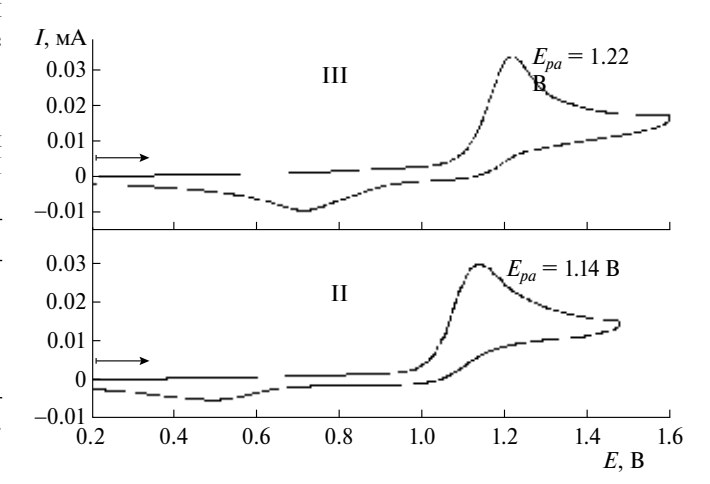


Рис. 3. Кривые ЦВА для комплексов II и III (стеклоуглеродный электрод, Ag/AgCl/KCl, 0.2 M $[n\text{-Bu}_4\text{N}]$ ClO₄, CH₂Cl₂, $c=2\times10^{-3}$ моль/л, V=0.2 B/c, Ar).

БЛАГОДАРНОСТИ

Работа выполнена с использованием оборудования центра коллективного пользования "Аналитический центр ИМХ РАН" при поддержке гранта "Обеспечение развития материально-технической инфраструктуры центров коллективного пользования научным оборудованием" (уникальный идентификатор RF-2296.61321X0017, соглашение № 075-15-2021-670).

ФИНАНСИРОВАНИЕ

Работа выполнена при финансовой поддержке Совета по грантам Президента Российской Федерации для государственной поддержки молодых российских ученых и по государственной поддержке ведущих научных школ Российской Федерации (проект № НШ-403.2022.1.3). Исследование экспериментально-теоретической электронной плотности поддержано Российским научным фондом № 21-13-00336.

СПИСОК ЛИТЕРАТУРЫ

- 1. Pierpont C. // Coord. Chem. Rev. 2001. V. 219–221. P. 415.
- 2. Kaim W.// Inorg. Chem. 2011. V. 50. P. 9752.
- Mao G., Song Y., Hao T. et al. // Chin. Sci. Bull. 2014.
 V. 59. P. 2936.
- Starikova A.A., Minkin V.I. // Russ. Chem. Rev. 2018.
 V. 87. P. 1049.
- Fomenko I.S., Gushchin A. L. // Russ. Chem. Rev. 2020.
 V. 89. P. 966.
- Broere D.L., Plessius R., Van der Vlugt J. I. // Chem. Soc. Rev. 2015. V. 44. P. 6886.
- 7. Luca O.R., Crabtree R. H. // Chem. Soc. Rev. 2013. V. 42. P. 1440.
- 8. Baryshnikova S.V., Poddel'sky A.I. // Molecules. 2022. V. 27. 3928.
- 9. *Ершова И.В., Пискунов А.В., Черкасов В. К.* // Успехи химии. 2020. V. 89. P. 1157.
- 10. *Pashanova K.I.*, *Poddel'sky A.I.*, *Piskunov A.V.* // Coord. Chem. Rev. 2022. V. 459. P. 214399.
- Zanello P., Corsini M. // Coord. Chem. Rev. 2006.
 V. 250. P. 2000.
- 12. Поддельский А.И., Абакумов Г.А., Бубнов М. П., Черкасов В. К., Абакумова Л. Г. // Изв. АН. Сер. хим. 2004. № 6. С. 1142.
- 13. Абакумов Г.А., Неводчиков В. И. // Докл. АН СССР. 1982. Т. 266. № 6. С. 1407.
- Lange C.W., Foldeaki M., Nevodchikov V.I. et al. // J. Am. Chem. Soc. 1992. V. 114. P. 4220.
- 15. *Jung O.-S.*, *Pierpont C. G.* // J. Am. Chem. Soc. 1994. V. 116. P. 2229.
- 16. Nevodchikov V.I., Abakumov G.A., Cherkasov V.K.,

- *Razuvaev G.A.* // J. Organomet. Chem. 1981. V. 214. P. 119.
- 17. *Pierpont C.G., Buchanan R.M.* // Coord. Chem. Rev. 1981. V. 38. P. 45.
- 18. *Poddel'sky A.I.*, *Cherkasov V. K.*, *Abakumov G. A.* // Coord. Chem. Rev. 2009. V. 253. P. 291.
- 19. *Abakumov G.A.*, *Poddel'sky A.I.*, *Grunova E. V. et al.* // Angew. Chem. 2005. V. 117. P. 2827.
- 20. Cherkasov V.K., Abakumov G.A., Grunova E. V. et al. // Chem. Eur. J. 2006. V. 12. P. 3916.
- 21. *Piskunov A. V., Ershova I. V., Fukin G. K., Shavyrin A. S.* // Inorg. Chem. Commun. 2013. V. 38. № 12. P. 127.
- 22. *Пискунов А.В.*, *Пискунова М. С.*, *Чегерев М. Г.* // Изв. АН. Сер. хим. 2014. № 4. С. 912.
- 23. *Fedushkin I.L.*, *Dodonov V.A.*, *Skatova A.A. et al.* // Chem. Eur. J. 2018. V. 24. № 8. P. 1877.
- 24. Fedushkin I.L., Nikipelov A. S., Morozov A. G. et al. // Chem. Eur. J. 2012. V. 18. P. 255.
- 25. Ilyakina E.V., Poddel'sky A.I., Cherkasov V.K., Abakumov G.A. // Mendeleev Commun. 2012. V. 22. P. 208.
- 26. *Ilyakina E.V., Poddel'sky A.I., Piskunov A.V et al.* // Inorg. Chim. Acta. 2013. V. 394. P. 282.
- 27. *Гордон А., Форд Р.* Спутник химика. М.: Мир, 1976. С. 437.
- 28. *Райхардт К.* Растворители и эффекты среды в органической химии. М.: Мир, 1991. 763 с.
- 29. Кочерова Т.Н., Дружков Н.О., Мартьянов К.А. и др. // Изв. АН. Сер. хим. 2020. Р. 2383.
- 30. *Кочерова Т.Н., Дружков Н. О., Арсеньев М. В. и др. //* Изв. АН. Сер. хим. 2023. Т. 72. № 5. С. 1192.
- 31. Data Collection, Reduction and Correction Program. CrysAlisPro 1.171.38.46 Software Package. Rigaku OD, 2015.
- 32. APEX4. Bruker Molecular Analysis Research Tool. Version 2021.4–0. Madison (WI, USA): Bruker AXS Inc., 2021.
- 33. SAINT Data Reduction and Correction Program. Version 8.40B. Madison (WI, USA): Bruker AXS, 2019.
- 34. Krause L., Herbst-Irmer R., Sheldrick G. M., Stalke D. // J. Appl. Cryst. 2015. V. 48. P. 3.
- 35. Sheldrick G. // Acta Crystallogr. A. 2015. V. 71. P. 3.
- 36. Sheldrick G.M. // SHELXTL. Version 6.14. Structure Determination Software Suite; Madison (WI, USA): Bruker AXS, 2003.
- 37. Sheldrick G. // Acta Crystallogr. C. 2015. V. 71. P. 3.
- 38. SCALE3 ABSPACK: Empirical absorption correction. CrysAlisPro 1.171.38.46 Software Package, Rigaku OD, 2015.
- 39. SADABS. Version 2016/2. Bruker/Siemens Area Detector Absorption Correction Program. Madison (WI, USA): Bruker AXS., 2016.
- 40. Becke A.D. // J. Chem. Phys. 1993. V. 98. P. 5648.
- 41. Lee C., Yang W., Parr R. G. // Phys. Rev. B. 1988. V. 37. P. 785.

- 42. *Dovesi R., Erba A., Orlando R. et al.* // WIREs Comput Mol Sci. 2018. V. 8. e1360.
- 43. Godbout N., Salahub D. R., Andzelm J., Wimmer E. // Can. J. Chem. 1992. V. 70. P. 560.
- 44. *Pritchard B.P., Altarawy Doaa et al.* // J. Chem. Inf. Model. 2019. V. 59. P. 4814.
- 45. Feller D. // J. Comput. Chem. 1996. V. 17. P. 1571.
- 46. *Schuchardt K.L.*, *Didier B. T.*, *Elsethagen T. et al.* // J. Chem. Inf. Model. 2007. V. 47. № 3. P. 1045.
- 47. Spek A.L. // Acta Crystallogr. C. 2015. V. 71. P. 9.
- 48. *Jelsch C., Guillot B., Lagoutte A., Lecomte C.* // J. Appl. Crystallogr. 2005. V. 38. P. 38.
- 49. *Hansen N.K., Coppens P.* // Acta Crystallogr. A. 1978. V. 34. P. 909.
- 50. Stash A.I., Tsirelson V.G. // J. Appl. Cryst. 2014. V. 47. P. 2086.
- 51. Batsanov S. // Russ. J. Inorg. Chem. 1991. V. 36. P. 1694.
- 52. *Baryshnikova S.V., Poddel'sky A.I., Bellan E.V. et al.* // Inorg. Chem. 2020. V. 59. P. 6774.
- Lado A.V., Poddel'sky A.I., Piskunov A. V. et al. // Inorg. Chim. Acta. 2005. V. 358. P. 4443.
- 54. *Piskunov A.V., Lado A.V., Ilyakina E.V. et al.* // J. Organomet. Chem. 2008. V. 693. P. 128.

- 55. Turek J., Kampová H., Padelkova Z., Ruzicka A. // J. Organomet. Chem. 2013. V. 745–746. P. 25.
- 56. Annan T.A., McGarvey B.R., Ozarowski A. et al. // Dalton Trans. 1989. V. 3. P. 439.
- 57. *Zubieta J.A., Zuckerman J.J.* // Prog. Inorg. Chem. New York: Wiley Interscience, 1978. V. 24. P. 251.
- 58. *Archer S.J.*, *Koch K.R.*, *Schmidt S.* // Inorg. Chim. Acta. 1987. V. 126. P. 209.
- 59. Baryshnikova S.V., Bellan E.V., Poddel'sky A.I. et al. // Eur. J. Inorg. Chem. 2016. № 33. P. 5230.
- 60. *Ilyakina E.V., Poddel'sky A.I., Fukin G.K. et al.* // Inorg. Chem. 2013. V. 52. P. 5284.
- 61. Brown S.N. //Inorg. Chem. 2012. V. 51. C. 1251.
- 62. Fukin G.K., Cherkasov A. V. // Mendeleev Commun. 2021. V. 31. P. 182.
- 63. *Pochekutova T.S.*, *Fukin G. K.*, *Baranov E. V. et al.* // Inorg. Chim. Acta. 2022. V. 531. P. 120734.
- 64. *Bader R.F.W.* Atoms in Molecules A Quantum Theory. Oxford: Oxford Univ. Press., 1990.
- 65. Fukin G.K., Baranov E. V., Jelsch C. et al. // J. Phys. Chem. A. 2011. V. 115. P. 8271.
- 66. Фукин Г.К., Самсонов М.А., Баранов Е.В. и др. // Изв. АН. Сер. хим. 2016. № 1. Р. 54.

Redox-Active Tin(IV) Complexes Based on Sterically Hindered Catecholate Ligands

S. V. Baryshnikova^{1, *}, M. V. Arsen'eva¹, N. O. Druzhkov¹, G. K. Fukin¹, E. V. Baranov¹ and A. V. Piskunov¹

¹Razuvaev Institute of Organometallic Chemistry, Russian Academy of Sciences, Nizhny Novgorod, Russia *e-mail: barvshnikova@iomc.ras.ru

The oxidative addition of sterically hindered 3,6-dicyclohexyl-o-benzoquinone (L¹), 3,5-di-tert-octyl-o-benzoquinone (L²), 4-tert-octyl-o-benzoquinone (L³), and 3,5-bis(2-phenylpropyl)-o-benzoqui-none (L⁴) to tin(II) chloride in THF affords the corresponding tin(IV) catecholate complexes with the generalformula RCatSnCl $_2$ · 2THF, where Cat is the catecholate fragment; and R is 3,6-c-Hex (I), 3,5-tert-Oct (II), 4-tert-Oct (III), and 3,5-C(Me) $_2$ Ph (IV), regardless of the molar ratio of the starting reactants. The molecu-lar structures of substituted o-benzoquinone L⁴ and complexes I and III in the crystalline form are determined by X-ray diffraction (XRD) (CIF files CCDC nos. 2259370 (L⁴), 2259371 (I), and 2259372 (III)). The oxidation-reduction properties of synthesized compounds I—IV are studied by cyclic voltammetry.

Keywords: catecholate, o-benzoquinone, tin(IV), cyclic voltammetry, XRD

REFERENCES

- 1. *Pierpont C.* // Coord. Chem. Rev. 2001. V. 219–221. P. 415.
- 2. Kaim W.// Inorg. Chem. 2011. V. 50. P. 9752.
- Mao G., Song Y., Hao T. et al. // Chin. Sci. Bull. 2014.
 V. 59. P. 2936.
- Starikova A.A., Minkin V.I. // Russ. Chem. Rev. 2018.
 V. 87. P. 1049.
- Fomenko I.S., Gushchin A. L. // Russ. Chem. Rev. 2020.
 V. 89. P. 966.
- 6. Broere D.L., Plessius R., Van der Vlugt J. I. // Chem. Soc.

- Rev. 2015. V. 44. P. 6886.
- 7. Luca O.R., Crabtree R. H. // Chem. Soc. Rev. 2013. V. 42. P. 1440.
- 8. *Baryshnikova S.V., Poddel'sky A.I.* // Molecules. 2022. V. 27. P. 3928.
- 9. *Ershova I.V., Piskunov A. V., and Cherkasov V. K.* // Russ. Chem. Rev. 2020. V. 89. P. 1157.
- 10. *Pashanova K.I.*, *Poddel'sky A.I.*, *Piskunov A. V.* // Coord. Chem. Rev. 2022. V. 459. P. 214399.
- 11. *Zanello P., Corsini M.* // Coord. Chem. Rev. 2006. V. 250. P. 2000.

- 12. *Poddel'skii* A.I., Abakumov G.A., Bubnov M.P., Cherkasov V.K., and Abakumova L.G. // Izv. Akad. Nauk. Ser. Khim. 2004. № 6. P. 1142.
- 13. *Abakumov G.A.*, *and Nevodchikov V.I.* // Dokl. Akad. Nauk SSSR. 1982. V. 266. № 6. P. 1407.
- Lange C.W., Foldeaki M., Nevodchikov V.I. et al. // J. Am. Chem. Soc. 1992. V. 114. P. 4220.
- Jung O.-S., Pierpont C. G. // J. Am. Chem. Soc. 1994.
 V. 116. P. 2229.
- 16. Nevodchikov V.I., Abakumov G.A., Cherkasov V.K., Razuvaev G.A. // J. Organomet. Chem. 1981. V. 214. P. 119.
- 17. *Pierpont C.G., Buchanan R. M.* // Coord. Chem. Rev. 1981. V. 38. P. 45.
- 18. Poddel'sky A.I., Cherkasov V. K., Abakumov G. A. // Coord. Chem. Rev. 2009. V. 253. P. 291.
- 19. *Abakumov G.A.*, *Poddel'sky A.I.*, *Grunova E. V. et al.* // Angew. Chem. 2005. V. 117. P. 2827.
- Cherkasov V. K. Abakumov G. A., Grunova E. V. et al. // Chem. Eur. J. 2006. V. 12. P. 3916.
- 21. *Piskunov A. V., Ershova I. V., Fukin G. K., Shavyrin A. S.* // Inorg, Chem. Commun. 2013. V. 38. № 12. P. 127.
- 22. Piskunov A.V., Piskunova M.S., and Chegerev M.G. // Russ. Chem. Bull. 2014. № 4. P. 912.
- 23. Fedushkin I.L., Dodonov V.A., Skatova A.A. et al. // Chem. Eur. J. 2018. V. 24. № 8. P. 1877.
- 24. Fedushkin I.L., Nikipelov A. S., Morozov A. G. et al. // Chem. Eur. J. 2012. V. 18. P. 255.
- 25. *Ilyakina E.V., Poddel'sky A.I., Cherkasov V.K., Abakumov G.A.* // Mendeleev Commun. 2012. V. 22. P. 208.
- 26. *Ilyakina E.V., Poddel'sky A.I., Piskunov A.V. et al.* // Inorg. Chim. Acta. 2013. V. 394. P. 282.
- 27. Gordon A., and Ford R. The Chemist's Companion: A Handbook of Practical Data, Techniques, and References. New York: Wiley, 1972.
- 28. *Райхардт К*. Растворители и эффекты среды в органической химии. М.: Мир, 1991. 763 с.
- 29. *Kocherova T.N.*, *Druzhkov N.O.*, *Mart'yanov K.A. et al.* // Russ. Chem. Bull. 2020. V. 69. № 12. P. 2383.
- 30. *Kocherova T.N.*, *Druzhkov N. O.*, *Arsen'ev M.V. et al.* // Russ. Chem. Bull. 2023. V. 72. № 5. P. 1192.
- Data Collection, Reduction and Correction Program. CrysAlisPro 1.171.38.46 – Software Package. Rigaku OD, 2015.
- APEX4. Bruker Molecular Analysis Research Tool. Version 2021.4–0. Madison (WI, USA): Bruker AXS Inc., 2021.
- 33. SAINT Data Reduction and Correction Program. Version 8.40B. Madison (WI, USA): Bruker AXS, 2019.
- 34. Krause L., Herbst-Irmer R., Sheldrick G. M., Stalke D. // J. Appl. Cryst. 2015. V. 48. P. 3.
- 35. Sheldrick G. // Acta Crystallogr. A. 2015. V. 71. P. 3.
- 36. *Sheldrick G.M.* // SHELXTL. Version 6.14. Structure Determination Software Suite; Madison (WI, USA): Bruker AXS, 2003.
- 37. *Sheldrick G.* // Acta Crystallogr. C. 2015. V. 71. P. 3.

- SCALE3 ABSPACK: Empirical absorption correction. CrysAlisPro 1.171.38.46 – Software Package, Rigaku OD 2015
- SADABS. Version 2016/2. Bruker/Siemens Area Detector Absorption Correction Program. Madison (WI, USA): Bruker AXS., 2016.
- 40. Becke A.D. // J. Chem. Phys. 1993. V. 98. P. 5648.
- 41. Lee C., Yang W., Parr R. G. // Phys. Rev. B. 1988. V. 37. P. 785.
- 42. *Dovesi R., Erba A., Orlando R. et al.* // WIREs Comput Mol Sci. 2018. V. 8. P. 1360.
- 43. *Godbout N., Salahub D. R., Andzelm J., Wimmer E.* // Can. J. Chem. 1992. V. 70. P. 560.
- 44. *Pritchard B.P., Altarawy D. et al.* // J. Chem. Inf. Model. 2019. V. 59. P. 4814.
- 45. Feller D. // J. Comput. Chem. 1996. V. 17. P. 1571.
- 46. Schuchardt K.L., Didier B. T., Elsethagen T. et al. // J. Chem. Inf. Model. 2007. V. 47. № 3. P. 1045.
- 47. Spek A.L. // Acta Crystallogr. C. 2015. V. 71. P. 9.
- 48. *Jelsch C., Guillot B., Lagoutte A., Lecomte C.* // J. Appl. Crystallogr. 2005. V. 38. P. 38.
- 49. *Hansen N.K.*, *Coppens P.* // Acta Crystallogr. A. 1978. V. 34. P. 909.
- 50. *Stash A.I.*, *Tsirelson V. G.* // J. Appl. Cryst. 2014. V. 47. P. 2086.
- 51. *Batsanov S.* // Russ. J. Inorg. Chem. 1991. V. 36. P. 1694.
- 52. Baryshnikova S.V., Poddel'sky A.I., Bellan E.V. et al. // Inorg. Chem. 2020. V. 59. P. 6774.
- 53. *Lado A.V., Poddel'sky A.I., Piskunov A. V. et al.* // Inorg. Chim. Acta. 2005. V. 358. P. 4443.
- 54. *Piskunov A.V.*, *Lado A.V.*, *Ilyakina E.V. et al.* // J. Organomet. Chem. 2008. V. 693. P. 128.
- 55. Turek J., Kampová H., Padelkova Z., Ruzicka A. // J. Organomet. Chem. 2013. V. 745–746. P. 25.
- 56. Annan T.A., McGarvey B.R., Ozarowski A. et al. // Dalton Trans. 1989. V. 3. P. 439.
- 57. *Zubieta J.A., Zuckerman J.J.* // Prog. Inorg. Chem. New York: Wiley Interscience, 1978. V. 24. P. 251.
- 58. Archer S.J., Koch K.R., Schmidt S. // Inorg. Chim. Acta. 1987. V. 126. P. 209.
- 59. Baryshnikova S.V., Bellan E.V., Poddel'sky A.I. et al. // Eur. J. Inorg. Chem. 2016. № 33. P. 5230.
- 60. *Ilyakina E.V., Poddel'sky A.I., Fukin G. K. et al.* // Inorg. Chem. 2013. V. 52. P. 5284.
- 61. Brown S.N. // Inorg. Chem. 2012. V. 51. C. 1251.
- 62. *Fukin G.K.*, *Cherkasov A. V. //* Mendeleev Commun. 2021. V. 31. P. 182.
- 63. *Pochekutova T.S., Fukin G. K., Baranov E. V. et al.* // Inorg. Chim. Acta. 2022. V. 531. P. 120734.
- 64. *Bader R.F.W.* Atoms in Molecules A Quantum Theory. Oxford: Oxford Univ. Press., 1990.
- 65. Fukin G.K., Baranov E. V., Jelsch C. et al. // J. Phys. Chem. A. 2011. V. 115. P. 8271.
- 66. Фукин Г.К., Самсонов М.А., Баранов Е.В. и др. // Изв. АН. Сер. хим. 2016. № 1. Р. 54.

УЛК 546.47

МЕТАЛЛ-ОРГАНИЧЕСКИЕ КООРДИНАЦИОННЫЕ ПОЛИМЕРЫ Cd(II) НА ОСНОВЕ ИОДЗАМЕЩЕННЫХ ПРОИЗВОДНЫХ ТЕРЕФТАЛЕВОЙ КИСЛОТЫ И 1,1'-(1,4-БУТАНДИИЛ)-бис-ИМИДАЗОЛА

© 2024 г. М.А. Бондаренко^{1, 2}, А. С. Загузин^{1, 2}, П.А. Абрамов¹, И.В. Корольков¹, Д.А. Жеребцов², В. П. Федин¹, С.А. Адонин^{1, 2, 3, *}

¹Институт неорганической химии им. А.В. Николаева СО РАН, Новосибирск, Россия ²Южно-Уральский государственный университет, Челябинск, Россия ³Институт химии им. А.Е. Фаворского СО РАН, Иркутск, Россия

*e-mail: adonin@niic.nsc.ru

Поступила в редакцию 25.04.2023 г. После доработки 23.05.2023 г. Принята к публикации 24.05.2023 г.

Получены два металл-органических координационных полимера на основе Cd(II), 2-иод (2-I-Bdc) и 2,5-ди-иод-(2,5-I-Bdc)терефталата — {[Cd(2-I-Bdc)(Bbi)]} (I) и {[Cd₂(2,5-I-Bdc)₂(DMF)₂(Bbi)]} (II) (Bbi = 1,1'-(1,4-бу-тандиил) δuc (имидазол)). Строение обоих комплексов установлено методом PCA (CCDC № 2258217 (I) и 2257566 (II)).

Ключевые слова: кадмий, координационные полимеры, карбоксилаты, рентгеноструктурный анализ **DOI**: 10.31857/S0132344X24020059 **EDN**: ORJUFU

Металл-органические координационные полимеры (МОКП, МОГ) активно изучаются на протяжении последних двух десятилетий [1-7]. Это обуславливается широким спектром их применения в различных сферах как химии, так и материаловедения; вот лишь некоторые из них - селективное разделение газов [8-10], люминесцентные сенсоры [14-16]и др. Очень большую долю МОКП составляют карбоксилаты металлов (особенно часто ароматические) [17–19]. Ключевое значение имеет дизайн линкерных лигандов, поскольку именно они в значительной степени обеспечивают появление разных видов нековалентных взаимодействий с гостевыми молекулами в порах и, вследствие этого, селективность (сорбции, распознавания и т.д.). Наиболее важную роль в этих процессах играет водородная связь [20]. Тем не менее можно отметить, что в последнее время появляются работы, в которых описываются МОКП, содержащие строительные блоки, способные образовывать и иные супрамолекулярные контакты. К ним относится, в частности, галогенная связь (Γ C) [21–29]. Хотя число статей, посвященных ГС в МОКП, пока что не очень велико [30, 31], мы предполагаем, что это направление имеет большой потенциал развития.

В рамках данной работы нами было получено два МОКП на основе Cd(II) и иодзамещенных производных терефталевой кислоты, а именно {[Cd(2-I-Bdc)(Bbi)]} (I) и { $[Cd_2(2,5-I-Bdc)_2(DMF)_2(Bbi)]$ } (II) (2-I-Bdc = 2-иодтерефталат, 2,5-I-Bdc = 2,5-дииодтерефталат, Bbi = 1,1'-(1,4-бутандиил)бис(имидазол)), строение которых определено методом PCA.

ЭКСПЕРИМЕНТАЛЬНАЯ ЧАСТЬ

Исходные реагенты получали из коммерческих источников. 2-Иод [32] и 2,5-дииодтерефталевую [33] кислоты, а также 1,1'-(1,4-бутандиил)-*бис*(имидазол) [34] получали согласно литературным методикам.

Синтез {[Cd(2-I-Bdc)(Bbi)]} (I). 31 мг Cd(NO₃) $_2$ · 4H $_2$ O, 29 мг 2-иодтерефталевой кислоты (H $_2$ (2-I-Bdc)), 19 мг Вbi и 7.5 мл ДМФА помещали в ампулу, которую запаивали, подвергали ультразвуковой обработке (10 мин) и выдерживали при 125°C в течение 48 ч с последующим медленным охлаждением. На стенках ампулы образуются бесцветные кристаллы I. Выход — 85%.

Синтез {[$Cd_2(2,5\text{-I-Bdc})_2(DMF)_2(Bbi)$]} (II) выполняли аналогично I, используя 42 мг 2,5-ди-

Помоления	Значение		Помозкоми	Значение		
Параметр	I	II	Параметр	I	II	
Брутто-формула	$C_{36}H_{34}N_8O_8I_2Cd_2$	$C_{32}H_{32}N_6O_{10}I_4Cd_2$	Число рефлексов	_		
M	1185.31	1393.03	C (F)	3617	3540	
Сингония	Триклинная	Триклинная	$(I > 2\sigma(I))$			
Пространствен-	$P^{ar{l}}$	$P^{\overline{I}}$	$R_{ m int}$	0.025	0.020	
ная группа			$(\sin \theta/\lambda)_{max}, \mathring{A}^{-1}$	0.610	0.610	
a, Å	9.1371(2)	9.7866(2)	IIIIX	$-11 \leqslant h \leqslant 11$,	$-11 \leqslant h \leqslant 11$,	
$b, ext{Å}$	9.8545(2)	10.0262(2)	Диапазоны	$-11 \leqslant n \leqslant 11$, $-12 \leqslant k \leqslant 11$,	$-11 \leqslant h \leqslant 11$, $-12 \leqslant k \leqslant 12$,	
c, Å	11.9888(3)	12.3614(3)	индексов h, k, l	$-14 \leqslant l \leqslant 14$	$-15 \leqslant l \leqslant 15$	
α, град	77.148(1)	75.222(1)	$R[F^2 > 2\sigma(F^2)],$			
β, град	68.926(1)	67.237(1)	$wR(F^2), S$	0.072, 0.186, 1.17	0.050, 0.148, 1.09	
ү, град	84.510(1)	66.939(1)	Остаточная			
V, Å ³	981.91 (4)	1021.39 (4)	электронная	1.11 / 2.51	2.21 / 2.00	
Z	1	1	плотность (тах/	1.11 / -2.51	2.31 / -2.88	
μ , mm^{-1}	2.72	4.12	min), e Å ⁻³			

Таблица 1. Кристаллографические данные и детали уточнения структур комплексов I, II

иодтерефталевой кислоты. Образуются бесцветные кристаллы II.

PCA комплексов I и II проведен на дифрактометре Bruker D8 Venture (MoK_{α} -излучение, $\lambda = 0.71073$ Å) при 150 К. Интенсивности отражений измерены методом ω- и ф-сканирования узких (0.5°) фреймов. Поглощение учтено эмпирически с использованием SADABS. Структуры расшифрованы с помощью SHELXT [35] и уточнены полноматричным МНК в анизотропном для неводородных атомов приближении по алгоритму SHELXL 2017-1 [36] в программе ShelXle [37]. Кристаллографические данные и результаты уточнения структур приведены в табл. 1.

Координаты атомов и другие параметры рентгеноструктурных экспериментов депонированы в Кембриджском банке структурных данных (CCDC № 2258217 (I) и 2257566 (II); deposit@ ccdc.cam.ac.uk или http://www.ccdc.cam.ac.uk/ data_request/cif).

РЕЗУЛЬТАТЫ И ИХ ОБСУЖДЕНИЕ

Соединения I и II получены сольвентотермальным методом, широко используемым в химии МОКП [38–42]. Согласно данным РФА (рис. 1), комплекс 1 образуется в однофазном виде, в то время как все попытки получить однофазный образец 2 оказались безуспешными (проводились дополнительные эксперименты с варьированием температуры, объема растворителя и т.д.).

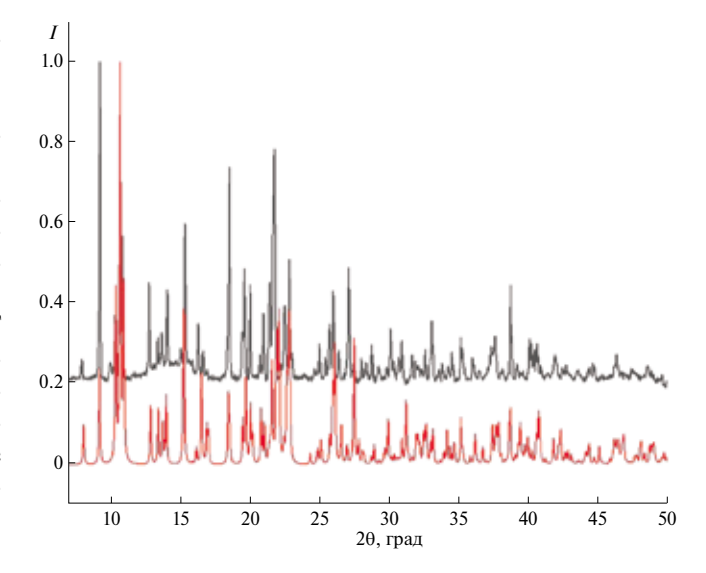


Рис. 1. Экспериментальная (вверху) и рассчитанная по данным PCA (внизу) порошковые дифрактограммы для I.

В структуре I Cd(II) образует биядерные строительные блоки (рис. 2). Координационное окружение каждого из атомов Cd состоит из двух атомов азота линкеров Bbi (Cd–N = 2.245-2.340 Å), а также трех карбоксилатных групп 2-иодтерефталатных лигандов. Один из них координируется по псевдобидентатному типу: расстояния Cd–O составляют 2.233 и 2.690 Å, последнее, наиболее вероятно, соответствует семикоординации. Второй и третий 2-иодтерефталатные лиганды выступают в роли мостиковых: один атом О связывается лишь с одним Cd (Cd–O = 2.369 Å), второй же является μ_2 -мостиковым (Cd–O = 2.448-2.523 Å). Атомы I 2-иодтерефталатных линкеров

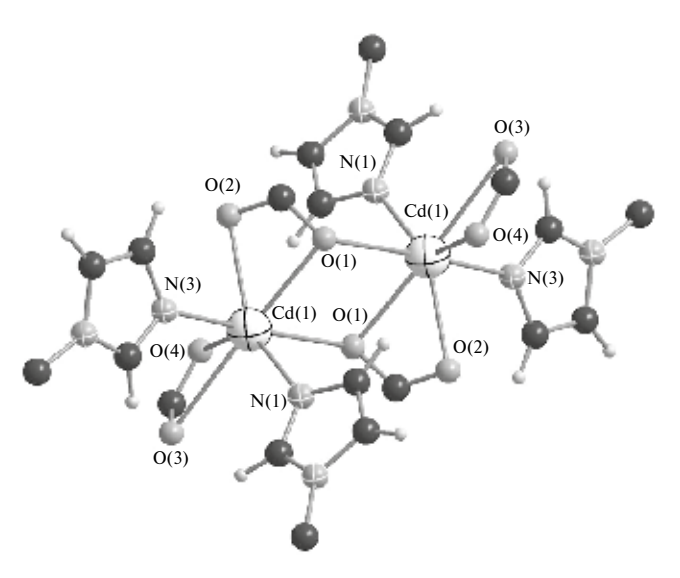


Рис. 2. Строение биядерных строительных блоков в структуре I.

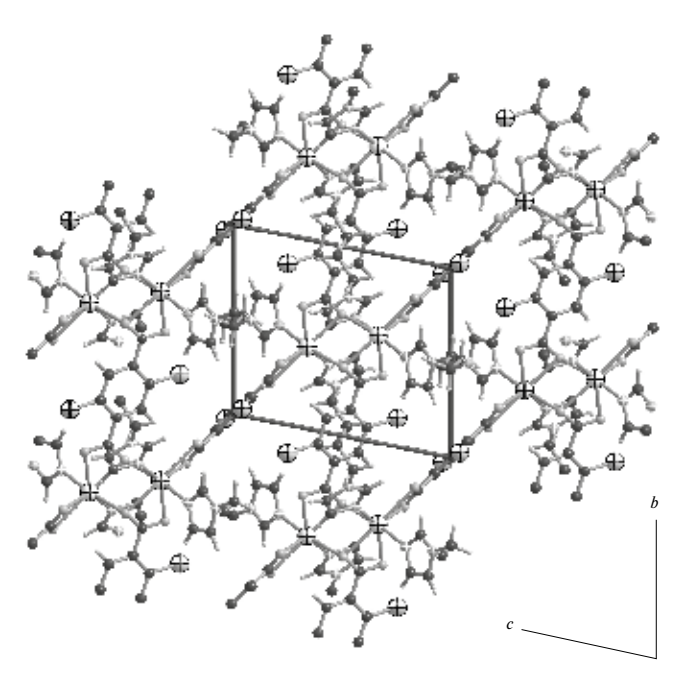


Рис. 3. Трехмерная структура I.

разупорядочены по двум позициям с равной заселенностью. Трехмерная структура I показана на рис. 3.

Строение II существенно отличается от I. Хотя строительные блоки в II также являются биядерными (рис. 4), в координационной сфере каждого из атомов Cd присутствует лишь один Bbi-лиганд (Cd-N = 2.241 Å). Каждый из метиленовых фрагментов Bbi-лигандов разупорядочен по двум позициям с заселенностью 0.6: 0.4. Мотив связывания карбоксилатных линкеров

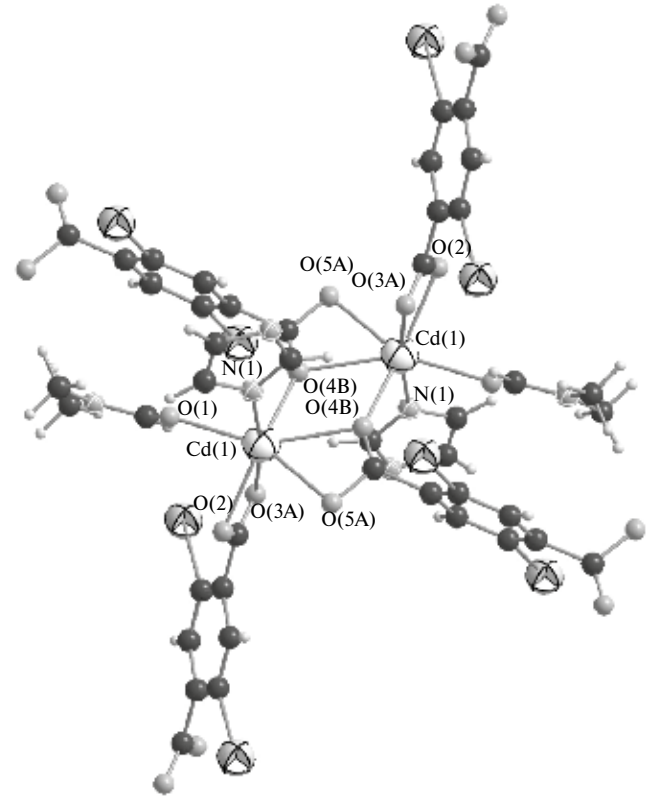


Рис. 4. Строение биядерного строительного блока $\{Cd_2(2,5\text{-I-Bdc})Bbi(DMF)_2\}$ в кристаллической структуре комплекса II.

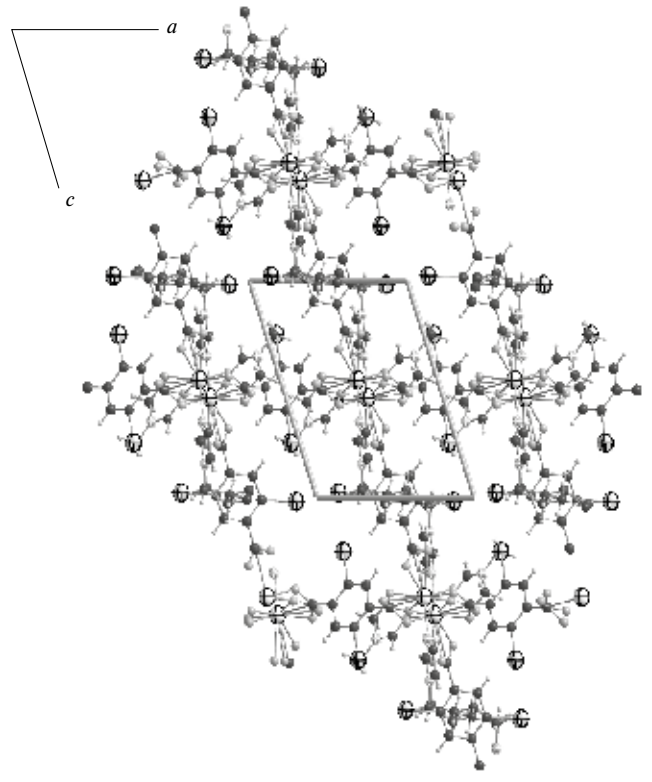


Рис. 5. Кристаллическая упаковка комплекса II.

идентичен таковому в I, однако они частично разупорядочены (Cd-O = 2.265-2.52 Å). Помимо этого, каждый из Cd связан с одним DMF (Cd-O = 2.347 Å). Упаковка в кристалле II показана на рис. 5.

Несмотря на то что оба соединения имеют трехмерную структуру, согласно расчетам, в них отсутствует свободный объем, доступный для вхождения гостевых молекул.

Авторы заявляют, что у них нет конфликта интересов.

БЛАГОДАРНОСТИ

Авторы благодарят Центр коллективного пользования СПбГУ за помощь в проведении первичных экспериментов РСА (дополнительные эксперименты проводились в ИНХ СО РАН).

ФИНАНСИРОВАНИЕ

Работа выполнена при поддержке Российского научного фонда (грант № 21-73-20019) и (частично) при поддержке Минобрнауки России (структурная характеризация образцов — № 121031700313-8).

СПИСОК ЛИТЕРАТУРЫ

- 1. *Cheplakova A.M., Gusarov V.S., Samsonenko D. G. et al.* // J. Struct. Chem. 2022. V. 63. № 6. P. 895. https://doi.org/10.1134/S0022476622060063
- 2. *Andreichenko A.A., Burlak P. V., Kovalenko K. A. et al.* // J. Struct. Chem. 2022. V. 63. № 3. P. 378. https://doi.org/10.1134/S0022476622030052
- 3. *Dubskikh V.A., Lysova A.A., Samsonenko D. G. et al.* // J. Struct. Chem. 2022. V. 63. № 2. P. 227. https://doi.org/10.1134/S0022476622020032
- 4. *Kiraev S.R.*, *Nikolaevskii S.A.*, *Kiskin M.A. et al.* // Inorg. Chim. Acta. 2018. V. 477. P. 15. https://doi.org/10.1016/J.ICA.2018.02.011
- 5. *Primakov P.V., Denisov G. L., Novikov V. V. et al.* // Mendeleev Commun. 2022. V. 32. № 1. P. 105. https://doi.org/10.1016/j.mencom.2022.01.034
- 6. *Li G.-L.*, *Yin W.-D.*, *Zhang J.-Y. et al.* // Russ. J. Inorg. Chem. 2022. V. 67. № 11. P. 1745. https://doi.org/10.1134/S0036023622600800
- 7. *Guo L.-D., Zhao X.-H., Liu Y.-Y. et al.* // Russ. J. Inorg. Chem. 2022. V. 67. № 13. P. 2140. https://doi.org/10.1134/S0036023622700097
- 8. Sapianik A.A., Dudko E. R., Kovalenko K. A. et al. // ACS Appl. Mater. Interfaces. 2021. V. 13. № 12. P. 14768.

- https://doi.org/10.1021/acsami.1c02812
- 9. *Zhan C.-H.*, *Huang D.-P.*, *Wang Y. et al.* // CrystEng-Comm. 2021. V. 23. № 15. P. 2788. https://doi.org/10.1039/d1ce00235j
- Wang X., Zou Y., Zhang Y. et al. // J. Colloid Interface Sci. 2022. V. 626. P. 836. https://doi.org/10.1016/j. jcis.2022.07.008
- 11. *Sapianik A.A., Kovalenko K.A., Samsonenko D. G. et al.* // Chem. Commun. 2020. V. 56. № 59. P. 8241. https://doi.org/10.1039/d0cc03227a
- 12. *Ye C.-R.*, *Wang W.-J.*, *Chen W. et al.* // Angew. Chem. Int. Ed. 2021. V. 60. № 44. P. 23590. https://doi.org/10.1002/anie.202109964
- 13. *Mukherjee S., Sensharma D., Qazvini O. T. et al.* // Coord. Chem. Rev. 2021. V. 437. https://doi.org/10.1016/j.ccr.2021.213852
- 14. *Pavlov D.I.*, *Sukhikh T.S.*, *Ryadun A.A. et al.* // J. Mater. Chem. C. 2022. V. 10. № 14. P. 5567. https://doi.org/10.1039/d1tc05488k
- Yang Z., Zhang W., Yin Y. et al. // Food Control. 2022.
 V. 133. https://doi.org/10.1016/j.foodcont.2021.108684
- 16. *Cook T.R., Zheng Y.-R., Stang P.J.* // Chem. Rev. 2013. V. 113. № 1. P. 734.
 - https://doi.org/10.1021/cr3002824
- 17. *Zorina-Tikhonova E.N.*, *Yambulatov D. S.*, *Kiskin M.A. et al.* // Russ. J. Coord. Chem. 2020. V. 46. № 2. P. 75. https://doi.org/10.1134/S1070328420020104
- 18. *Yashkova K.A.*, *Mel'nikov S.N.*, *Nikolaevskii S.A. et al.* // J. Struct. Chem. 2021. V. 62. № 9. P. 1378. https://doi.org/10.1134/S0022476621090067
- 19. *Kolokolov F.A., Kulyasov A. N., Magomadova M. A. et al.* // Russ. J. Gen. Chem. 2016. V. 86. № 5. P. 1209. https://doi.org/10.1134/S1070363216050418
- 20. *Ahmed I., Jhung S. H.* // Chem. Eng. J. 2017. V. 310. P. 197. https://doi.org/10.1016/j.cej.2016.10.115
- 21. *Bartashevich E., Tsirelson V.* // J. Comput. Chem. 2018. V. 39. № 10. P. 573. https://doi.org/10.1002/jcc.25112
- 22. *Yushina I.D., Masunov A. E., Lopez D. et al.* // Cryst. Growth Des. 2018. V. 18. № 9. P. 5069. https://doi.org/10.1021/acs.cgd.8b00529
- 23. *Eliseeva A.A., Ivanov D. M., Novikov A. S. et al.* // Cryst-EngComm. 2019. V. 21. № 4. P. 616. https://doi.org/10.1039/c8ce01851k
- 24. *Eliseeva A.A., Ivanov D. M., Novikov A. S. et al.* // Dalton Trans. 2020. V. 49. № 2. P. 356. https://doi.org/10.1039/c9dt04221k
- 25. *Aliyarova I.S., Tupikina E.Y., Soldatova N.S. et al.* // Inorg. Chem. 2022. V. 61. № 39. P. 15398. https://doi.org/10.1021/acs.inorgchem.2c01858
- 26. *Soldatova N.S., Postnikov P.S., Suslonov V.V. et al.* // Org. Chem. Front. 2020. V. 7. № 16. P. 2230. https://doi.org/10.1039/d0qo00678e
- 27. Aliyarova I.S., Ivanov D. M., Soldatova N. S. et al. //

- Cryst. Growth Des. 2021. V. 21. № 2. P. 1136. https://doi.org/10.1021/acs.cgd.0c01463
- 28. *Rozhkov A.V., Novikov A. S., Ivanov D. M. et al.* // Cryst. Growth Des. 2018. V. 18. № 6. P. 3626. https://doi.org/10.1021/acs.cgd.8b00408
- 29. *Melekhova A.A., Novikov A. S., Dubovtsev A. Y. et al.* // Inorg. Chim. Acta. 2019. V. 484. P. 69. https://doi.org/10.1016/j.ica.2018.09.024
- 30. *Kalaj M., Momeni M. R., Bentz K. C. et al.* // Chem. Commun. 2019. V. 55. № 24. P. 3481. https://doi.org/10.1039/C9CC00642G
- 31. *Li B., Dong M.-M., Fan H.-T. et al.* // Cryst. Growth Des. 2014. V. 14. № 12. P. 6325. https://doi.org/10.1021/cg501073e
- 32. *Christine T., Tabey A., Cornilleau T. et al.* // Tetrahedron. 2019. V. 75. № 52. P. 170765. https://doi.org/10.1016/j.tet.2019.130765
- 33. *Perry R.J.*, *Wilson B. D.*, *Turner S. R. et al.* // Macromolecules. 1995. V. 28. № 10. P. 3509. https://doi.org/10.1021/ma00114a003
- 34. *Barsukova M.O., Samsonenko D. G., Goncharova T. V. et al.* // Russ. Chem. Bull. 2016. V. 65. № 12. P. 2914. https://doi.org/10.1007/s11172-016-1677-4

- 35. *Sheldrick G.M.* // Acta Crystallogr. A. 2008. V. 64. № 1. P. 112.
 - https://doi.org/10.1107/S0108767307043930
- 36. *Sheldrick G.M.* // Acta Crystallogr. C. 2015. V. 71. № 1. P. 3. https://doi.org/10.1107/S2053229614024218
- 37. *Hübschle C.B.*, *Sheldrick G. M.*, *Dittrich B.* // J. Appl. Crystallogr. 2011. V. 44. № 6. P. 1281. https://doi.org/10.1107/S0021889811043202
- 38. *Dubskikh V.A., Lysova A.A., Samsonenko D. G. et al.* // Russ. J. Coord. Chem. 2021. V. 47. № 10. P. 664. https://doi.org/10.1134/S107032842110002X
- 39. *Dubskikh V.A., Lysova A.A., Samsonenko D. G. et al.* // J. Struct. Chem. 2020. V. 61. № 11. P. 1800. https://doi.org/10.1134/S002247662011013X
- 40. *Ghosh S., Steinke F., Rana A. et al.* // Inorg. Chem. Front. 2022. V. 9. № 5. P. 859. https://doi.org/10.1039/d1qi01190a
- 41. *Rana A., Nandi S., Biswas S.* // New J. Chem. 2022. V. 46. № 21. P. 10477. https://doi.org/10.1039/d2nj01068b
- 42. *Ghosh S., Steinke F., Rana A. et al.* // Eur. J. Inorg. Chem. 2021. V. 2021. № 37. P. 3846. https://doi.org/10.1002/ejic.202100568

Cadmium(II) Metal-Organic Frameworks Based on Iodine-Substituted Terephthalic Acid Derivatives and 1,1'-(1,4-Butanediyl)-bis-imidazole

M. A. Bondarenko^{1,2}, A. S. Zaguzin^{1,2}, P. A. Abramov¹, I. V. Korol'kov¹,

D. A. Zherebtsov², V. P. Fedin¹ and S. A. Adonin^{1, 2, 3, *}

¹Nikolaev Institute of Inorganic Chemistry, Siberian Branch, Russian Academy of Sciences, Novosibirsk, Russia ²South Ural State University, Chelyabinsk, Russia ³Favorsky Irkutsk Institute of Chemistry, Siberian Branch, Russian Academy of Sciences, Irkutsk, Russia *e-mail: adonin@niic.nsc.ru

Two metal-organic frameworks based on Cd(II) and 2-iodo-(2-I-Bdc) and 2,5-diodo-(2,5-I-Bdc)terephthalate were obtained: $\{[Cd(2-I-Bdc)(Bbi)]\}$ (I) and $\{[Cd_2(2,5-I-Bdc)_2(DMF)_2(Bbi)]\}$ (II) (Bbi = 1,1'-(1,4-butanediyl) bis(imidazole)). The structures of both complexes were established by X-ray diffraction (CCDC no. 2258217 (I) and 2257566 (II)).

Keywords: cadmium, metal-organic frameworks, carboxylates, X-ray diffraction analysis

REFERENCES

- 1. *Cheplakova A.M., Gusarov V.S., Samsonenko D.G. et al.* // J. Struct. Chem. 2022. V. 63. № 6. P. 895. https://doi.org/10.1134/S0022476622060063
- 2. *Andreichenko A.A.*, *Burlak P. V.*, *Kovalenko K. A. et al.* // J. Struct. Chem. 2022. V. 63. № 3. P. 378. https://doi.org/10.1134/S0022476622030052
- 3. *Dubskikh V.A., Lysova A.A., Samsonenko D. G. et al.* // J. Struct. Chem. 2022. V. 63. № 2. P. 227. https://doi.org/10.1134/S0022476622020032
- 4. Kiraev S.R., Nikolaevskii S.A., Kiskin M.A. et al. // Inorg. Chim. Acta. 2018. V. 477. P. 15.

- https://doi.org/10.1016/J.ICA.2018.02.011
- 5. *Primakov P.V., Denisov G. L., Novikov V. V. et al.* // Mendeleev Commun. 2022. V. 32. № 1. P. 105. https://doi.org/10.1016/j.mencom.2022.01.034
- 6. *Li G.-L.*, *Yin W.-D.*, *Zhang J.-Y. et al.* // Russ. J. Inorg. Chem. 2022. V. 67. № 11. P. 1745. https://doi.org/10.1134/S0036023622600800
- 7. *Guo L.-D., Zhao X.-H., Liu Y.-Y. et al.* // Russ. J. Inorg. Chem. 2022. V. 67. № 13. P. 2140. https://doi.org/10.1134/S0036023622700097
- 8. Sapianik A.A., Dudko E. R., Kovalenko K. A. et al. // ACS Appl. Mater. Interfaces. 2021. V. 13. № 12. P. 14768. https://doi.org/10.1021/acsami.1c02812

- 9. *Zhan C.-H.*, *Huang D.-P.*, *Wang Y. et al.* // CrystEng-Comm. 2021. V. 23. № 15. P. 2788. https://doi.org/10.1039/d1ce00235j
- Wang X., Zou Y., Zhang Y. et al. // J. Colloid Interface Sci. 2022. V. 626. P. 836. https://doi.org/10.1016/j.jcis.2022.07.008
- 11. *Sapianik A.A., Kovalenko K.A., Samsonenko D. G. et al.* // Chem. Commun. 2020. V. 56. № 59. P. 8241. https://doi.org/10.1039/d0cc03227a
- 12. *Ye C.-R.*, *Wang W.-J.*, *Chen W. et al.* // Angew. Chem. Int. Ed. 2021. V. 60. № 44. P. 23590. https://doi.org/10.1002/anie.202109964
- 13. *Mukherjee S., Sensharma D., Qazvini O. T. et al.* // Coord. Chem. Rev. 2021. V. 437. https://doi.org/10.1016/j.ccr.2021.213852
- 14. *Pavlov D.I.*, *Sukhikh T.S.*, *Ryadun A.A. et al.* // J. Mater. Chem. C. 2022. V. 10. № 14. P. 5567. https://doi.org/10.1039/d1tc05488k
- Yang Z., Zhang W., Yin Y. et al. // Food Control. 2022.
 V. 133. https://doi.org/10.1016/j.foodcont.2021.108684
- Cook T.R., Zheng Y.-R., Stang P.J. // Chem. Rev. 2013.
 V. 113. № 1. P. 734. https://doi.org/10.1021/cr3002824
- 17. *Zorina-Tikhonova E.N.*, *Yambulatov D. S.*, *Kiskin M. A. et al.* // Russ. J. Coord. Chem. 2020. V. 46. № 2. P. 75. https://doi.org/10.1134/S1070328420020104
- 18. *Yashkova K.A., Mel'nikov S.N., Nikolaevskii S.A. et al.* // J. Struct. Chem. 2021. V. 62. № 9. P. 1378. https://doi.org/10.1134/S0022476621090067
- 19. *Kolokolov F.A., Kulyasov A. N., Magomadova M. A. et al.* // Russ. J. Gen. Chem. 2016. V. 86. № 5. P. 1209. https://doi.org/10.1134/S1070363216050418
- Ahmed I., Jhung S. H. // Chem. Eng. J. 2017. V. 310.
 P. 197.
 https://doi.org/10.1016/j.cej.2016.10.115
- 21. *Bartashevich E., Tsirelson V.* // J. Comput. Chem. 2018. V. 39. № 10. P. 573. https://doi.org/10.1002/jcc.25112
- 22. *Yushina I.D., Masunov A. E., Lopez D. et al.* // Cryst. Growth Des. 2018. V. 18. № 9. P. 5069. https://doi.org/10.1021/acs.cgd.8b00529
- 23. *Eliseeva A.A.*, *Ivanov D. M.*, *Novikov A. S. et al.* // Cryst-EngComm. 2019. V. 21. № 4. P. 616. https://doi.org/10.1039/c8ce01851k
- 24. *Eliseeva A.A.*, *Ivanov D. M.*, *Novikov A. S. et al.* // Dalton Trans. 2020. V. 49. № 2. P. 356. https://doi.org/10.1039/c9dt04221k
- 25. *Aliyarova I.S.*, *Tupikina E. Y.*, *Soldatova N. S. et al.* // Inorg. Chem. 2022. V. 61. № 39. P. 15398.

- https://doi.org/10.1021/acs.inorgchem.2c01858
- 26. *Soldatova N.S., Postnikov P.S., Suslonov V.V. et al.* // Org. Chem. Front. 2020. V. 7. № 16. P. 2230. https://doi.org/10.1039/d0qo00678e
- 27. *Aliyarova I.S.*, *Ivanov D. M.*, *Soldatova N. S. et al.* // Cryst. Growth Des. 2021. V. 21. № 2. P. 1136. https://doi.org/10.1021/acs.cgd.0c01463
- 28. *Rozhkov A.V., Novikov A. S., Ivanov D. M. et al.* // Cryst. Growth Des. 2018. V. 18. № 6. P. 3626. https://doi.org/10.1021/acs.cgd.8b00408
- Melekhova A.A., Novikov A. S., Dubovtsev A. Y. et al. // Inorg. Chim. Acta. 2019. V. 484. P. 69. https://doi.org/10.1016/j.ica.2018.09.024
- 30. *Kalaj M., Momeni M. R., Bentz K. C. et al.* // Chem. Commun. 2019. V. 55. № 24. P. 3481. https://doi.org/10.1039/C9CC00642G
- 31. *Li B., Dong M.-M., Fan H.-T. et al.* // Cryst. Growth Des. 2014. V. 14. № 12. P. 6325. https://doi.org/10.1021/cg501073e
- 32. *Christine T., Tabey A., Cornilleau T. et al.* // Tetrahedron. 2019. V. 75. № 52. P. 170765. https://doi.org/10.1016/j.tet.2019.130765
- 33. *Perry R.J., Wilson B. D., Turner S. R. et al.* // Macromolecules. 1995. V. 28. № 10. P. 3509. https://doi.org/10.1021/ma00114a003
- 34. *Barsukova M.O., Samsonenko D. G., Goncharova T. V. et al.* // Russ. Chem. Bull. 2016. V. 65. № 12. P. 2914. https://doi.org/10.1007/s11172-016-1677-4
- 35. *Sheldrick G.M.* // Acta Crystallogr. A. 2008. V. 64. № 1. P. 112. https://doi.org/10.1107/S0108767307043930
- 36. *Sheldrick G.M.* // Acta Crystallogr. C. 2015. V. 71. № 1. P. 3. https://doi.org/10.1107/S2053229614024218
- 37. *Hübschle C.B., Sheldrick G.M., Dittrich B.* // J. Appl. Crystallogr. 2011. V. 44. № 6. P. 1281. https://doi.org/10.1107/S0021889811043202
- 38. *Dubskikh V.A., Lysova A.A., Samsonenko D. G. et al.* // Russ. J. Coord. Chem. 2021. V. 47. № 10. P. 664. https://doi.org/10.1134/S107032842110002X
- 39. *Dubskikh V.A.*, *Lysova A.A.*, *Samsonenko D. G. et al.* // J. Struct. Chem. 2020. V. 61. № 11. P. 1800. https://doi.org/10.1134/S002247662011013X
- 40. *Ghosh S., Steinke F., Rana A. et al.* // Inorg. Chem. Front. 2022. V. 9. № 5. P. 859. https://doi.org/10.1039/d1qi01190a
- 41. *Rana A., Nandi S., Biswas S.* // New J. Chem. 2022. V. 46. № 21. P. 10477. https://doi.org/10.1039/d2nj01068b
- 42. *Ghosh S., Steinke F., Rana A. et al.* // Eur. J. Inorg. Chem. 2021. V. 2021. № 37. P. 3846. https://doi.org/10.1002/ejic.202100568

УЛК 546.73

ДВУХ- И ТРЕХМЕРНЫЕ ПОЛИМЕРНЫЕ ТЕРЕФТАЛАТЫ Co(II) C 3,3',5,5'-ТЕТРАБРОМ-4,4'-БИПИРИДИНОМ (3,3'5,5-BrBipy)

© 2024 г. И. Ф. Сахапов^{1,2}, А. А. Загидуллин^{2,3}, Д. Р. Исламов^{2,3}, В. В. Шарутин¹, Д. Г. Яхваров^{2,3}, Д. А. Жеребцов¹, В. А. Милюков², А. С. Загузин^{1,4}, В. П. Федин⁴, С. А. Алонин^{1,4,5,*}

¹Южно-Уральский государственный университет, Челябинск, Россия ²Институт органической и физической химии им. А. Е. Арбузова РАН, Казань, Россия ³Химический институт им. А. М. Бутлерова, Казанский (Приволжский) федеральный университет, Казань, Россия ⁴Институт неорганической химии им. А. В. Николаева СО РАН, Новосибирск, Россия ⁵Иркутский институт химии им. А. Е. Фаворского СО РАН, Иркутск, Россия

> *e-mail: adonin@niic.nsc.ru Поступила в редакцию 27.04.2023 г.

> После доработки 05.05.2023 г. Принята к публикации 05.05.2023 г.

Взаимодействием 3,3',5,5'-тетрабром-4,4'-бипиридина (BrBipy) с нитратом кобальта и терефталевой кислотой (H_2 Bdc) получены двух- и трехмерные координационные полимеры { $[Co_2(Bdc)_2(BrBipy)_2(H_2O)_4] \cdot 4DMF$ } (I) и { $[Co_2(Ddc)_4(BrDipy)] \cdot 2MeOH$ } соответственно. Строение комплексов изучено методом PCA (CCDC № 2259216 (I) и 2259214) (II)).

Ключевые слова: кобальт, координационные полимеры, линкерные лиганды, рентгеноструктурный анализ **DOI**: 10.31857/S0132344X24020062 **EDN**: origlz

На протяжении последних лет изучеметалл-органических координационных полимеров (МОКП, англ. "metal-organic frameworks", MOF) остается одной из "горячих тем" современной неорганической химии [1-8]. Эти соединения исследуются с точки зрения возможности их применения в таких областях, как селективное разделение разнообразных органических субстратов [9–11], концентрирование неорганических ионов, в том числе благородных металлов [12-14], выделение органических и неорганических загрязнителей из смесей [15–17], разработка сенсоров [18-21] и др. Львиную долю МОКП составляют гомо- или гетерометаллические карбоксилаты (как правило, ароматические) [4, 22, 23]. При этом важнейшее значение имеет дизайн соответствующих линкеров, обеспечивающий разнообразие нековалентных взаимодействий с гостевыми молекулами в порах и, соответственно, селективность (сорбции, распознавания и т.д.). Как правило, главенствующую роль здесь играет водородная связь, однако в последнее время повышенный интерес вызывают МОКП со "строительными блоками", которые способны образовывать иные супрамолекулярные контакты, в частности, галогенную связь (ГС) [24—29]. Хотя число статей, описывающих подобные исследования, на сегодняшний день сравнительно мало [30, 31], мы полагаем, что это направление имеет большой потенциал развития.

Ранее с помощью квантово-химических расчетов нами было показано [32], что галогензамещенные производные 4,4'-бипиридина (4,4'-Віру) способны выступать в роли доноров ГС. Несмотря на то что синтез некоторых соединений данного класса был описан ранее [33, 34], число МОКП на их основе крайне (и, по нашему мнению, незаслуженно) мало. Для бром- и иодзамещенных Віру известно лишь несколько гомо- и гетеролигандных комплексов Ag(I) [35].

В настоящей работе нами получены и структурно охарактеризованыдвух-итрехмерные МОКП на основе 3,3',5,5'-тетрабром-4,4'-бипиридина (BrBipy), а именно $\{[Co_2(Bdc)_2(BrBipy)_2(H_2O)_4] \cdot 4DMF\}$ (I) и $\{[Co_2(Bdc)_4(BrBipy)] \cdot 2MeOH\}$ (II) $(Bdc^2- au)$ анион терефталевой кислоты), строение которых определено методом рентгеноструктурного анализа (**PCA**).

ЭКСПЕРИМЕНТАЛЬНАЯ ЧАСТЬ

Исходные реагенты получали из коммерческих источников. 3,3',5,5'-тетрабром-4,4'-бипиридин синтезировали согласно литературной методике [36].

Синтез I. Навески $120 \,\mathrm{mr} \, (0.65 \,\mathrm{ммоль}) \,\mathrm{Co(NO_3)_2}$ и 31 мг (0,63 ммоль) ВгВіру растворяли в 25 мл смеси метанола и ДМФА (1 : 1) в ультразвуковой бане (15 мин). К раствору добавляли 110 мг (0.65 ммоль) терефталевой кислоты, перемешивали, после чего раствор помещали в тефлоновый реактор, выдерживали 48 ч при $100^{\circ}\mathrm{C}$, после чего медленно охлаждали до комнатной температуры в течение 24 ч. Образуются кристаллы I, пригодные для PCA.

Синтез II выполняли по методике, аналогичной I, используя 25 мл метанола. Образуются кристаллы II, пригодные для РСА.

РСА кристаллов I проведен на четырехкружном дифрактометре Rigaku XtaLAB Synergy S с детектором HyPix и микрофокусной рентгеновской трубкой PhotonJet с использованием CuK_{α} -излучения (1.54184 Å) при температуре 100 К. Получения

ченные данные проиндексированы и интегрированы с помощью пакета программ CrysAlisPro. Учет поглощения проведен с использованием модуля ABSPACK: численная коррекция поглощения на основе гауссовского интегрирования по многогранной кристаллической модели и эмпирическая коррекция поглощения на основе сферических гармоник в соответствии с симметрией кристалла. Модуль GRAL использован для анализа систематических затуханий и опрелеления пространственной группы симметрии. РСА II проведен на автоматическом трехкружном дифрактометре Bruker D8 QUEST (графитовый монохроматор, $\lambda(\text{Mo}K_a) = 0.71073 \text{ Å}, \omega$ - и ϕ -сканирование с шагом 1°) при температуре 100(2) K. Сбор и индексирование данных, определение и уточнение параметров элементарной ячейки II проведены с использованием пакета программ АРЕХ2. Эмпирическая коррекция поглощения кристалла II проведена на основе формы кристалла, дополнительная сферическая коррекция и учет систематических ошибок проведены с использованием SADABS.

Обе структуры решены прямым методом с использованием SHELXT [37] и уточнены методом наименьших квадратов с использованием

Таблица 1. Кристаллографические данные и детали уточнения структур комплексов I, II

Помомоти	Значение			
Параметр	I	II		
Брутто-формула	$C_{36}H_{24}N_4O_{12}Br_8Co_2\cdot 4(C_3H_7NO)$	$C_{52}H_{24}N_4O_{16}Br_8Co_4 \cdot 4(CH_4O)$		
M	1754.11	1963.92		
Сингония	Ромбическая	Monoclinic		
Пространственная группа	P2,2,2	C2/m		
a, Å	21.6736(3)	16.0645(16)		
b, Å	11.7936(2)	14.8872(13)		
c, Å	11.4544(2)	13.7455(13)		
β, град	90	92.773 (3)		
V, Å ³)	2927.86(8)	3283.5(5)		
Z	2	2		
μ, mm ⁻¹	11.46	5.94		
T_{\min} , T_{\max}	0.360, 0.681	0.384, 0.862		
Число рефлексов измеренных/независимых	15151, 5757	7127, 7127		
Число рефлексов с $I > 2\sigma(I)$	5392	5874		
$R_{\rm int}$	0.053	0.0717		
Область сканирования по θ , град	75.9–3.9	28.8-1.5		
$(\sin \theta/\lambda)_{\max}$, Å ⁻¹	0.629	0.677		
Диапазоны индексов h, k, l	$-26 \le h \le 23$, $-14 \le k \le 13$, $-13 \le l \le 14$	$-21 \le h \le 21,$ $0 \le k \le 20,$ $0 \le l \le 18$		
$R(F^2 > 2\sigma(F^2)), wR(F^2), S$	0.062, 0.150, 1.04	0.062, 0.138, 1.06		
Остаточная электронная плотность (max/min), е \mathring{A}^{-3}	1.29 / -1.19	1.96 / -1.46		

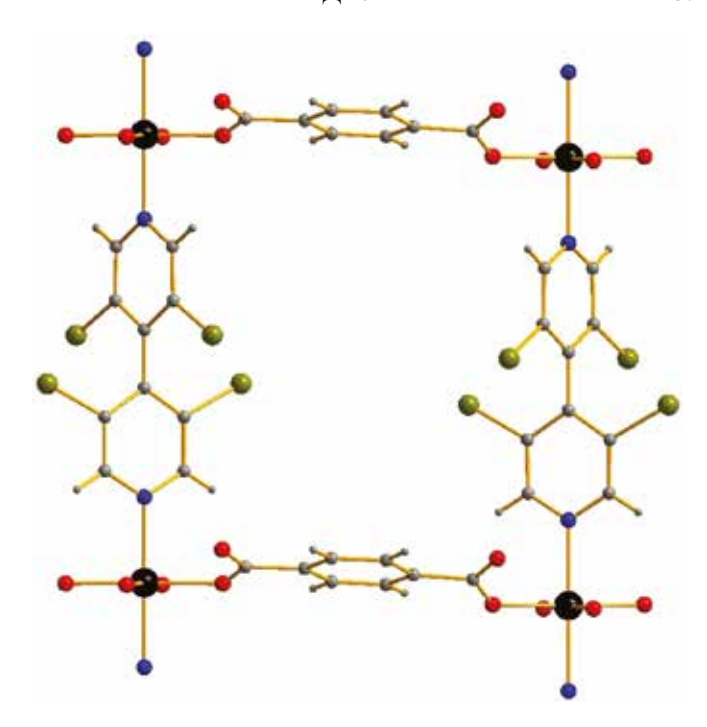


Рис. 1. Фрагмент молекулярной структуры I. Здесь и далее Co — черный, O — красный, Br — оливковый, C — серый, N — синий. Для части лигандов показаны только донорные атомы.

SHELXL [38]. Все неводородные атомы уточнены анизотропно. Атомы водорода помещены в расчетные положения и уточнены в модели наездника. Кристаллографические данные структур I и II представлены в табл. 1.

Кристаллографические параметры I и II депонированы в Кембриджском банке структурных данных (ССОС № 2259216 (I) и 2259214) (II); deposit@ccdc.cam.ac.uk или http://www.ccdc.cam.ac.uk/data request/cif).

РЕЗУЛЬТАТЫ И ИХ ОБСУЖДЕНИЕ

Образцы I и II получены методом сольвентотермального синтеза, который весьма широко применяется в химии МОКП. К сожалению, несмотря на многочисленные эксперименты, нам не удалось найти экспериментальные условия, в которых I и II образовывались бы в виде однофазных образцов (это следует из данных рентгенофазового анализа). Это не позволило нам определить выход, провести полноценную характеризацию посредством дополнительных физико-химических методов. Источником H_2O в I, наиболее вероятно, стал растворитель.

Комплекс I представляет собой двухмерный координационный полимер (рис. 1). Атом

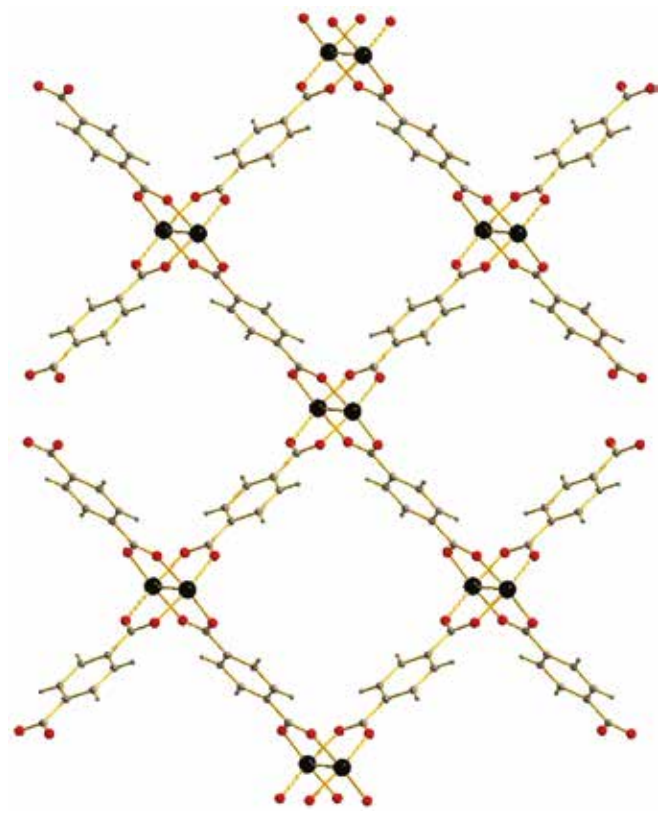


Рис. 2. Слои { $[Co_2Bdc_4]$ } в структуре II. *Бис*-пиридильные лиганды не отображены.

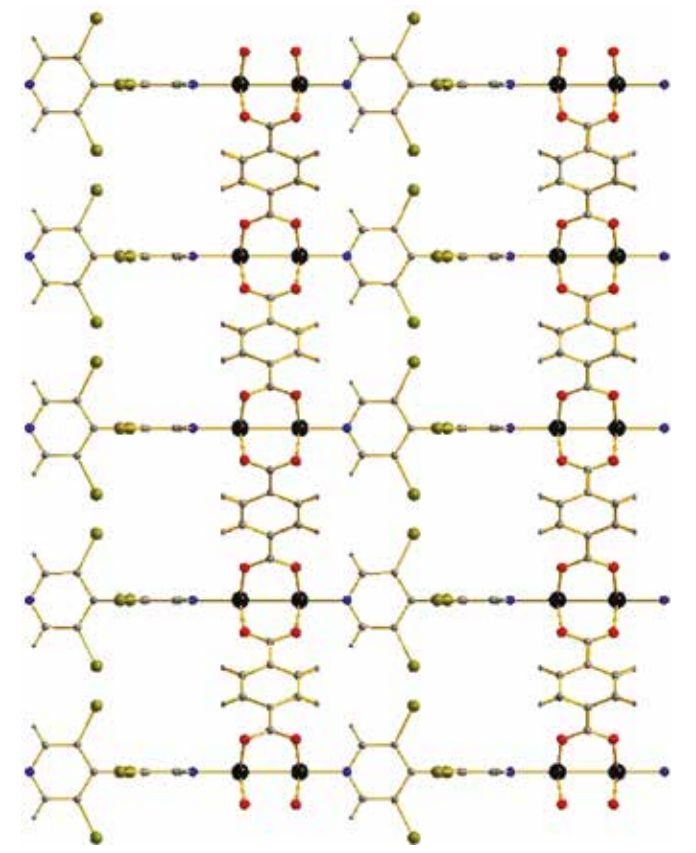


Рис. 3. Трехмерная структура II.

Со(II) не образует полиядерных фрагментов. Координационное окружение каждого атома Со(II) октаэдрическое; оно состоит из двух ВгВіру (Со-N2.158-2.190 Å), двух терефталатных фрагментов (Со-О 2.036-2.056 Å) и двух аквалигандов (Со-О 2.106-2.117 Å). Последние занимают *транс*-позиции, "блокируя", таким образом, дальнейшую самосборку с образованием трехмерного каркаса. Исходя из анализа расстояний Вг···О и сравнения их с суммой соответствующих ван-дер-ваальсовых радиусов по Бонди (3.35 Å [39, 40]), можно предположить, что атомы Вг вступают в образование ГС с сольватными молекулами DMF (Вг···О 3.098-3.130 Å).

В отличие от I, в структуре II Co(II) образует биядерные строительные блоки типа "китайского фонарика" ${Co,Bdc_a}$ (Co···Co 2.578 Å). Диапазон длин связей $\dot{\text{Co}} - \dot{\text{O}}$ (2.012-2.019 Å) типичен для таких фрагментов, т.е. хорошо согласуется с литературными данными [41, 42]. Наличие одновременно четырех терефталатных лигандов приводит к образованию слоев (рис. 2), которые, в свою очередь, соединяются бис-пиридильными линкерами (Co-N2.048-2.049 Å) в трехмерный каркас (рис. 3). Углы между ароматическими фрагментами в BrBipy составляют 90°. В структуре присутствуют сильно разупорядоченные гостевые молекулы метанола (две на формульную единицу), занимающие полости пористого каркаса.

Таким образом, отметим, что BrBipy действительно может выступать в роли линкерного лиганда, и с его участием могут образовываться в том числе и пористые МОКП. Более того, подтверждается способность BrBipy к образованию ГС с гостевыми молекулами, что говорит о возможности использования таких соединений для селективного разделения органических субстратов при условии выделения целевых МОКП в чистом виде. Работы в этом направлении ведутся нашим коллективом.

Авторы заявляют об отсутствии конфликта интересов.

БЛАГОДАРНОСТИ

Авторы благодарят Центр коллективного пользования СПбГУ за проведение дополнительных экспериментов по структурной характеризации веществ.

ФИНАНСИРОВАНИЕ

Работа выполнена при поддержке Российского научного фонда (грант № 21-73-20019) и (частично) при поддержке Минобрнауки РФ (структурная характеризация образцов, № 121031700313-8).

СПИСОК ЛИТЕРАТУРЫ

- 1. *Kiraev S.R.*, *Nikolaevskii S.A.*, *Kiskin M.A. et al.* // Inorg. Chim. Acta. 2018. V. 477. P. 15. https://doi.org/10.1016/J.ICA.2018.02.011
- 2. *Cheplakova A.M., Gusarov V.S., Samsonenko D. G. et al.* // J. Struct. Chem. 2022. V. 63. № 6. P. 895. https://doi.org/10.1134/S0022476622060063
- 3. *Li G.-L.*, *Yin W.-D.*, *Zhang J.-Y. et al.* // Russ. J. Inorg. Chem. 2022. V. 67. № 11. P. 1745. https://doi.org/10.1134/S003602-3622600800
- 4. *Yashkova K.A., Mel'nikov S.N., Nikolaevskii S.A. et al.* // J. Struct. Chem. 2021. V. 62. № 9. P. 1378. https://doi.org/10.1134/S0022476621090067
- 5. *Sidorov A.A.*, *Gogoleva N.V.*, *Bazhina E. S. et al.* // Pure Appl. Chem. 2020. V. 92. № 7. P. 1093. https://doi.org/10.1515/pac-2019-1212
- 6. *Gorbunova Y.G.*, *Fedin V.P.*, *Blatov V.A.* // Russ. Chem. Rev. 2022. V. 91. № 4. https://doi.org/10.1070/RCR5050
- 7. *Cui G.-H.*, *He C.-H.*, *Jiao C.-H. et al.* // CrystEng-Comm. 2012. V. 14. № 12. P. 4210. https://doi.org/10.1039/c2ce25264c
- 8. *Hu J.-M.*, *Blatov V.A.*, *Yu B. et al.* // Dalton Trans. 2016. V. 45. № 6. P. 2426. https://doi.org/10.1039/c5dt04679c
- 9. *Sapianik A.A.*, *Dudko E. R.*, *Kovalenko K. A. et al.* // ACS Appl. Mater. Interfaces. 2021. V. 13. № 12. P. 14768. https://doi.org/10.1021/acsami.1c02812
- 10. *Sapianik A.A., Kovalenko K.A., Samsonenko D. G. et al.* // Chem. Commun. 2020. V. 56. № 59. P. 8241. https://doi.org/10.1039/d0cc03227a
- 11. *Lysova A.A.*, *Samsonenko D. G.*, *Kovalenko K. A. et al.* // Angew. Chem. Int. Ed. 2020. V. 59. № 46. P. 20561. https://doi.org/10.1002/anie.202008132
- 12. *Maponya T.C., Modibane K. D., Somo T. R. et al.* // Sep. Purif. Technol. 2023. V. 307. https://doi.org/10.1016/j.seppur.2022.122767
- 13. *Maponya T.C., Makgopa K., Somo T.R. et al.* // Environ. Nanotechnol. Monit. Manag. 2023. V. 20. https://doi.org/10.1016/j.enmm.2023.100805
- 14. *Mansoorianfar M., Nabipour H., Pahlevani F. et al.* // Environ. Res. 2022. V. 214. https://doi.org/10.1016/j.envres.2022.114113
- Mahmoud M.E., Elsayed S. M., Mahmoud S. E.M.E. et al. // Polyhedron. 2022. V. 226. https://doi.org/10.1016/j.poly.2022.116082
- 16. *Liu K.-G.*, *Bigdeli F.*, *Sharifzadeh Z. et al.* // J. Clean. Prod. 2023. V. 404.

- https://doi.org/10.1016/j.jclepro.2023.136709
- 17. *Zhou D.-D., Liu Q.-Y., Chen M. et al.* // J. Environ. Chem. Eng. 2023. V. 11. № 3. https://doi.org/10.1016/j.jece.2023.109666
- 18. *Norouzi F., Khavasi H. R.* // New J. Chem. 2020. V. 44. № 21. P. 8937. https://doi.org/10.1039/d0nj01149e
- Zhang Y., Yuan S., Day G. et al. // Coord. Chem. Rev. 2018. V. 354. P. 28. https://doi.org/10.1016/j.ccr.2017.06.007
- 20. *Zhang H., Wang Z.-X., Luo Y.-H. et al.* // Polyhedron. 2022. V. 224. https://doi.org/10.1016/j.poly.2022.116016
- 21. Yousefi R., Asgari S., Banitalebi Dehkordi A. et al. // Environ. Res. 2023. V. 226. https://doi.org/10.1016/j.envres.2023.115664
- 22. *Zorina-Tikhonova E.N., Yambulatov D.S., Kiskin M.A. et al.* // Russ. J. Coord. Chem. 2020. V. 46. № 2. P. 75. https://doi.org/10.1134/S1070328420020104
- 23. *Kolokolov F.A., Kulyasov A. N., Magomadova M. A. et al.* // Russ. J. Gen. Chem. 2016. V. 86. № 5. P. 1209. https://doi.org/10.1134/S1070363216050418
- 24. *Eliseeva A.A.*, *Ivanov D. M.*, *Novikov A. S. et al.* // Cryst-EngComm 2019. V. 21. № 4. P. 616. https://doi.org/10.1039/c8ce01851k
- 25. *Eliseeva A.A.*, *Ivanov D. M.*, *Novikov A. S. et al.* // Dalton Trans. 2020. V. 49. № 2. P. 356. https://doi.org/10.1039/c9dt04221k
- 26. *Aliyarova I.S., Tupikina E.Y., Soldatova N.S. et al.* // Inorg. Chem. 2022. V. 61. № 39. P. 15398. https://doi.org/10.1021/acs.inorgchem.2c01858
- 27. *Soldatova N.S.*, *Suslonov V.V.*, *Kissler T.Y. et al.* // Crystals. 2020. V. 10. № 3. https://doi.org/10.3390/cryst10030230
- 28. *Soldatova N.S., Postnikov P.S., Suslonov V.V. et al.* // Org. Chem. Front. 2020. V. 7. № 16. P. 2230. https://doi.org/10.1039/d0qo00678e
- 29. *Aliyarova I.S., Ivanov D. M., Soldatova N. S. et al.* // Cryst. Growth Des. 2021. V. 21. № 2. P. 1136.

- https://doi.org/10.1021/acs.cgd.0c01463
- 30. *Kalaj M., Momeni M.R., Bentz K.C. et al.* // Chem. Commun. 2019. V. 55. № 24. P. 3481. https://doi.org/10.1039/C9CC00642G
- 31. *Li B., Dong M.-M., Fan H.-T. et al.* // Cryst. Growth Des. 2014. V. 14. № 12. P. 6325. https://doi.org/10.1021/cg501073e
- 32. *Novikov A.S., Sakhapov I.F., Zaguzin A.S. et al.* // J. Struct. Chem. 2022. V. 63. № 11. P. 1880. https://doi.org/10.1134/S002247662211018X
- 33. *Lee D.A.*, *Peloquin D. M.*, *Yapi E. W. et al.* // Polyhedron 2017. V. 133. P. 358. https://doi.org/10.1016/j.poly.2017.05.040
- 34. *Richard J., Joseph J., Wang C. et al.* // J. Org. Chem. 2021. V. 86. № 4. P. 3356. https://doi.org/10.1021/acs.joc.0c02708
- 35. *Aubert E., Abboud M., Doudouh A. et al.* // RSC Adv. 2017. V. 7. № 12. P. 7358. https://doi.org/10.1039/c6ra28197d
- 36. *Abboud M., Mamane V., Aubert E. et al.* // J. Org. Chem. 2010. V. 75. № 10. P. 3224. https://doi.org/10.1021/jo100152e
- 37. *Sheldrick G.M.* // Acta Crystallogr. A. 2015. V. 71. № 1. P. 3. https://doi.org/10.1107/S2053273314026370
- 38. *Sheldrick G.M.*, *IUCr* // Acta Crystallogr. C. 2015. V. 71. № 1. P. 3. https://doi.org/10.1107/S2053229614024218
- 39. *Bondi A.* // J. Phys. Chem. 1966. V. 70. № 9. P. 3006. https://doi.org/10.1021/j100881a503
- 40. *Mantina M., Chamberlin A. C., Valero R. et al.* // J. Phys. Chem. A. 2009. V. 113. № 19. P. 5806. https://doi.org/10.1021/jp8111556
- 41. *Gong Y., Zhang M. M., Zhang P. et al.* // CrystEng-Comm 2014. V. 16. № 42. P. 9882. https://doi.org/10.1039/c4ce01506a
- 42. *Ju Z., Yan W., Gao X. et al.* // Cryst. Growth Des. 2016. V. 16. № 5. P. 2496. https://doi.org/10.1021/acs.cgd.5b00681

Two- and Three-Dimensional Polymeric Co(II) Terephthalates with 3,3',5,5'-Tetrabromo-4,4'-bipyridine (3,3'5,5'-BrBipy)

I. F. Sakhapov^{1, 2}, A. A. Zagidullin^{2, 3}, D. R. Islamov^{2, 3}, V. V. Sharutin¹, D. G. Yakhvarov^{2, 3}, D. A. Zherebtsov¹, V. A. Milyukov², A. S. Zaguzin^{1, 4}, V. P. Fedin⁴ and S. A. Adonin^{1, 4, 5, *}

¹South Ural State University, Chelyabinsk, Russia

²Arbuzov Institute of Organic and Physical Chemistry, Russian Academy of Sciences, Kazan, Russia

³Alexander Butlerov Institute of Chemistry, Kazan (Volga Region) Federal University, Kazan, Russia

⁴Nikolaev Institute of Inorganic Chemistry, Siberian Branch, Russian Academy of Sciences, Novosibirsk, Russia

⁵Favorsky Irkutsk Institute of Chemistry, Siberian Branch, Russian Academy of Sciences, Irkutsk, Russia

*e-mail: adonin@niic.nsc.ru

The reaction of 3,3',5,5'-tetrabromo-4,4'-bipyridine (BrBipy) with cobalt nitrate and terephthalic acid (H_2 Bdc) gave 2D and 3D metal-organic frameworks { $[Co_2(Bdc)_2(BrBipy)_2(H_2O)_4] \cdot 4DMF$ } (I) and { $[Co_2(Ddc)_4(BrDipy)] \cdot 2MeOH$ } (II), respectively. The structure of the complexes was studied by X-ray diffraction (CCDC nos. 2259216 (I) and 2259214) (II)).

Keywords: cobalt, metal-organic frameworks, linker ligands, X-ray diffraction analysis

REFERENCES

- Kiraev S.R., Nikolaevskii S.A., Kiskin M.A. et al. // Inorg. Chim. Acta. 2018. V. 477. P. 15. https://doi.org/10.1016/J.ICA.2018.02.011
- 2. Cheplakova A.M., Gusarov V.S., Samsonenko D.G. et al. // J. Struct. Chem. 2022. V. 63. № 6. P. 895. https://doi.org/10.1134/S0022476622060063
- 3. *Li G.-L., Yin W.-D., Zhang J.-Y. et al.* // Russ. J. Inorg. Chem. 2022. V. 67. № 11. P. 1745. https://doi.org/10.1134/S003602-3622600800
- 4. *Yashkova K.A., Mel'nikov S.N., Nikolaevskii S.A. et al.* // J. Struct. Chem. 2021. V. 62. № 9. P. 1378. https://doi.org/10.1134/S0022476621090067
- Sidorov A.A., Gogoleva N. V., Bazhina E. S. et al. // Pure Appl. Chem. 2020. V. 92. № 7. P. 1093. https://doi.org/10.1515/pac-2019-1212
- 6. *Gorbunova Y.G., Fedin V.P., Blatov V.A.* // Russ. Chem. Rev. 2022. V. 91. № 4. https://doi.org/10.1070/RCR5050
- 7. *Cui G.-H., He C.-H., Jiao C.-H. et al.* // CrystEng-Comm. 2012. V. 14. № 12. P. 4210. https://doi.org/10.1039/c2ce25264c
- 8. *Hu J.-M.*, *Blatov V.A.*, *Yu B. et al.* // Dalton Trans. 2016. V. 45. № 6. P. 2426. https://doi.org/10.1039/c5dt04679c
- 9. *Sapianik A.A.*, *Dudko E. R.*, *Kovalenko K. A. et al.* // ACS Appl. Mater. Interfaces. 2021. V. 13. № 12. P. 14768. https://doi.org/10.1021/acsami.1c02812
- 10. *Sapianik A.A., Kovalenko K.A., Samsonenko D.G. et al.* // Chem. Commun. 2020. V. 56. № 59. P. 8241. https://doi.org/10.1039/d0cc03227a
- 11. *Lysova A.A.*, *Samsonenko D. G.*, *Kovalenko K. A. et al.* // Angew. Chem. Int. Ed. 2020. V. 59. № 46. P. 20561. https://doi.org/10.1002/anie.202008132
- 12. *Maponya T.C., Modibane K. D., Somo T. R. et al.* // Sep. Purif. Technol. 2023. V. 307. https://doi.org/10.1016/j.seppur.2022.122767
- 13. *Maponya T.C., Makgopa K., Somo T.R. et al.* // Environ. Nanotechnol. Monit. Manag. 2023. V. 20. https://doi.org/10.1016/j.enmm.2023.100805
- 14. Mansoorianfar M., Nabipour H., Pahlevani F. et al. // Environ. Res. 2022. V. 214. https://doi.org/10.1016/j.envres.2022.114113
- 15. *Mahmoud M.E., Elsayed S.M., Mahmoud S.E.M.E. et al.* // Polyhedron. 2022. V. 226. https://doi.org/10.1016/j.poly.2022.116082
- Liu K.-G., Bigdeli F., Sharifzadeh Z. et al. // J. Clean. Prod. 2023. V. 404. https://doi.org/10.1016/j.jclepro.2023.136709
- 17. *Zhou D.-D.*, *Liu Q.-Y.*, *Chen M. et al.* // J. Environ. Chem. Eng. 2023. V. 11. № 3. https://doi.org/10.1016/j. jece.2023.109666
- 18. *Norouzi F., Khavasi H. R.* // New J. Chem. 2020. V. 44. № 21. P. 8937. https://doi.org/10.1039/d0nj01149e
- 19. Zhang Y., Yuan S., Day G. et al. // Coord. Chem.

- Rev. 2018. V. 354. P. 28. https://doi.org/10.1016/j.ccr.2017.06.007
- 20. Zhang H., Wang Z.-X., Luo Y.-H. et al. // Polyhedron. 2022. V. 224. https://doi.org/10.1016/j.poly.2022.116016
- 21. Yousefi R., Asgari S., Banitalebi Dehkordi A. et al. // Environ. Res. 2023. V. 226. https://doi.org/10.1016/j.envres.2023.115664
- 22. *Zorina-Tikhonova E.N., Yambulatov D. S., Kiskin M.A. et al.* // Russ. J. Coord. Chem. 2020. V. 46. № 2. P. 75. https://doi.org/10.1134/S1070328420020104
- 23. *Kolokolov F.A., Kulyasov A. N., Magomadova M. A. et al.* // Russ. J. Gen. Chem. 2016. V. 86. № 5. P. 1209. https://doi.org/10.1134/S1070363216050418
- 24. *Eliseeva A.A.*, *Ivanov D. M.*, *Novikov A. S. et al.* // Cryst-EngComm 2019. V. 21. № 4. P. 616. https://doi.org/10.1039/c8ce01851k
- 25. *Eliseeva A.A., Ivanov D. M., Novikov A. S. et al.* // Dalton Trans. 2020. V. 49. № 2. P. 356. https://doi.org/10.1039/c9dt04221k
- 26. *Aliyarova I.S., Tupikina E. Y., Soldatova N. S. et al.* // Inorg. Chem. 2022. V. 61. № 39. P. 15398. https://doi.org/10.1021/acs.inorgchem.2c01858
- 27. *Soldatova N.S., Suslonov V.V., Kissler T. Y. et al.* // Crystals. 2020. V. 10. № 3. https://doi.org/10.3390/cryst10030230
- 28. *Soldatova N.S., Postnikov P.S., Suslonov V.V. et al.* // Org. Chem. Front. 2020. V. 7. № 16. P. 2230. https://doi.org/10.1039/d0qo00678e
- 29. *Aliyarova I.S., Ivanov D. M., Soldatova N. S. et al.* // Cryst. Growth Des. 2021. V. 21. № 2. P. 1136. https://doi.org/10.1021/acs.cgd.0c01463
- 30. *Kalaj M., Momeni M. R., Bentz K. C. et al.* // Chem. Commun. 2019. V. 55. № 24. P. 3481. https://doi.org/10.1039/C9CC00642G
- 31. *Li B., Dong M.-M., Fan H.-T. et al.* // Cryst. Growth Des. 2014. V. 14. № 12. P. 6325. https://doi.org/10.1021/cg501073e
- 32. *Novikov A.S., Sakhapov I.F., Zaguzin A.S. et al.* // J. Struct. Chem. 2022. V. 63. № 11. P. 1880. https://doi.org/10.1134/S002247662211018X
- 33. *Lee D.A.*, *Peloquin D. M.*, *Yapi E. W. et al.* // Polyhedron. 2017. V. 133. P. 358. https://doi.org/10.1016/j.poly.2017.05.040
- 34. *Richard J., Joseph J., Wang C. et al.* // J. Org. Chem. 2021. V. 86. № 4. P. 3356. https://doi.org/10.1021/acs.joc.0c02708
- 35. *Aubert E., Abboud M., Doudouh A. et al.* // RSC Adv. 2017. V. 7. № 12. P. 7358. https://doi.org/10.1039/c6ra28197d
- 36. *Abboud M., Mamane V., Aubert E. et al.* // J. Org. Chem. 2010. V. 75. № 10. P. 3224. https://doi.org/10.1021/jo100152e
- 37. *Sheldrick G.M.* // Acta Crystallogr. A. 2015. V. 71. № 1. P. 3. https://doi.org/10.1107/S2053273314026370

- 38. *Sheldrick G.M., IUCr* // Acta Crystallogr. C. 2015. V. 71. № 1. P. 3. https://doi.org/10.1107/S2053229614024218
- 39. *Bondi A.* // J. Phys. Chem. 1966. V. 70. № 9. P. 3006. https://doi.org/10.1021/j100881a503
- 40. *Mantina M., Chamberlin A. C., Valero R. et al.* // J. Phys. Chem. A. 2009. V. 113. № 19. P. 5806.
- https://doi.org/10.1021/jp8111556
- 41. *Gong Y., Zhang M. M., Zhang P. et al.* // CrystEng-Comm 2014. V. 16. № 42. P. 9882. https://doi.org/10.1039/c4ce01506a
- 42. *Ju Z., Yan W., Gao X. et al.* // Cryst. Growth Des. 2016. V. 16. № 5. P. 2496. https://doi.org/10.1021/acs.cgd.5b00681

УДК 546.05, 546.650, 546.664, 546.659

СИНТЕЗ И СТРОЕНИЕ КОМПЛЕКСОВ ЛАНТАНОИДОВ (SM, DY) С 9,10-ФЕНАНТРЕНДИИМИНОВЫМ РЕДОКС-АКТИВНЫМ ЛИГАНДОМ

© 2024 г. Д. К. Синица^{1, *}, Д. П. Акимкина^{1, 2}, Т. С. Сухих¹, С. Н. Конченко¹, Н. А. Пушкаревский¹

 1 Институт неорганической химии им. А. В. Николаева СО РАН, Новосибирск, Россия 2 Новосибирский государственный университет, Новосибирск, Россия

*e-mail: sinitsa@niic.nsc.ru

Поступила в редакцию 18.05.2023 г. После доработки 22.06.2023 г. Принята к публикации 07.07.2023 г.

Исследовано комплексообразование редокс-активного лиганда бис-(N, N'-2,6-диизопропилфенил)-9,10-фенантрендиимина (Dipp PDI) с катионами шелочных металлов (Li, K) и лантаноилов (Sm, Dv). Восстановление ^{Dipp}PDI избытком щелочного металла приводит к дианионной форме лиганда (^{Dipp}PDA²⁻), которая кристаллизуется с катионом калия в виде координационного полимера $[K_3(^{Dipp}PDA)(Thf)_3]$ (Thf = тетрагидрофуран, ТГФ). Взаимодействие эквимолярных количеств литиевой соли с дианионной формой лиганда и нейтрального диимина приводит к образованию литиевого комплекса с анион-радикальной формой (Dipp PSI -), закристаллизованной в виде [Li(DippPSI)(Thf),]. Комплекс самария(III) [SmCp*(DippPDA)(Thf)] (I) получен при восстановлении ^{Dipp}PDI самароценом [SmCp*,(Thf),] (Cp* = пентаметилциклопентадиенид); в реакции происходит окисление как катиона самария(II), так и аниона Ср*-. С аналогичным иттербоценом ^{Dipp}PDI не взаимодействует. Комплексы диспрозия(III) получены в реакциях ионного обмена между DyI,(Thf), к и калиевой или литиевой солями с дианионом ^{Dipp}PDA²⁻. В реакции с калиевой солью образуются подобные комплексы [Dy(DippPDA)I(Thf),] (IIThf) и [Dy(DippPDA)I(Thf)(Et,O)] (IIEt,O) в зависимости от используемого растворителя — смеси $T\Gamma\Phi$ — гексан или диэтиловый эфир — n-гексан соответственно. В Π^{TM} наблюдается координация катиона диспрозия π -системой сопряженного фрагмента NCCN лиганда; в $\Pi^{Et,O}$ такая координация отсутствует. В реакции с $\text{Li}_3(\text{Dipp}PDA)$ образуется двойная комплексная соль $[\text{Li}(\text{Thf})_3(\text{Et}_3O)][\text{DyI}_3(\text{Dipp}PDA)(\text{Thf})]$ (III, кристаллизация из смеси $T\Gamma\Phi - Et_0$). Кристаллизация из $T\Gamma\Phi$ приводит к соли [Li(Thf)][DyI_0(DippPDA) (Thf)] (III'), содержащей тот же анион, что и III. Строение всех новых комплексов исследовано методом РСА (CCDC № 2260307-2260313).

Ключевые слова: редокс-активный лиганд, фенантрендиимин, самарий(III), диспрозий(III), лантаноцен, рентгеноструктурный анализ, стерические свойства лиганда

DOI: 10.31857/S0132344X24020078 **EDN**: ORFUQM

В современной координационной химии редокс-активные лиганды вызывают повышенный интерес. Такие лиганды (иногда также называемые "non-innocent") могут обратимо изменять свой заряд, что позволяет расширить возможности окислительно-восстановительных превращений в комплексах с ними. Известно большое количество структурных типов редокс-активных лигандов [1]. Среди них выделяются три семейства диоксоленовых и родственных им лигандов, широко известных по проявлению редокс-таутомерии в их комплексах [2]: в нейтральной форме (L^0) это o-хиноны, o-иминохиноны и 1,2-фенилендиимины. В составе комплексов они способны обратимо принимать до

двух электронов, переходя между нейтральной, анион-радикальной и дианионной формами (схема 1, a). Для лигандов с близкими по донорным свойствам заместителями в диоксоленовом C_6 -цикле, типичные редокс-потенциалы этих переходов (L^0/L^- и L^- / L^2) смещаются в более восстановительную область при движении от хинонов к дииминам.

Редокс-переходы в лиганде могут быть использованы для переноса электронов в каталитических реакциях [3, 4], активации или обратимого связывания малых молекул [5, 6]. Возможность существования нескольких устойчивых состояний для комплексов с редокс-активными лиган-

$$(a) \qquad \qquad X = \overline{e} \qquad X$$

Схема 1. Обобщенное строение изучаемых лигандов и редокс-переходы в них (a); наиболее исследованные типы дииминовых редокс-активных лигандов и лиганд, изучаемый в этой работе (b).

дами может быть использована для создания элементов молекулярной электроники (например, элементов памяти или переключателей) и спиновых меток [7–10]. Сочетание таких лигандов с катионами лантаноидов (Ln) может привести к комплексам, проявляющим необычную для соединений этих металлов редокс-активность, а также демонстрирующим магнитные или фотофизические свойства, связанные с редокс-состоянием лиганда [11]. Комплексы лантаноидов с о-хиноновыми лигандами исследованы достаточно хорошо [12-14], в то время как для родственных о-иминохиноновых [15–18] и о-фенилендииминовых [19-21] лигандов известны лишь единичные примеры. Для ряда комплексов неодима [16], диспрозия и гольмия [18] с редокс-активным 4,6-ди-трет-бутил-N-(2,6-ди-изопропилфенил)о-иминобензохиноновым лигандом в различных зарядовых состояниях (DippIQ, DippISQ.-, DippAP2-) были исследованы редокс-свойства и показана возможность восстановления элементарных халькогенов за счет дианионной формы лиганда. Для восстановления менее активных субстратов, например пниктогенов и пниктогенидных комплексов [22, 23], необходимы более высокие восстановительные потенциалы, которых можно достичь при использовании дииминовых лигандов. Комплексы лантаноидов с родственными α-дииминовыми лигандами (1,4-диаза-1,3-диеновыми (DAD), дииминоаценафтеновыми (BIAN) 2,2'-бипиридиновыми/бипиримидиновыми (схема 1, δ) изучены очень хорошо. Для них описаны различные варианты синтеза, известны примеры стерически-индуцированных редокс-переходов [24], а также показана возможность редокс-изомерии [25-27]. В то же время химия комплексов лантаноидов с 1,2-фенилендииминовыми лигандами практически не развита. Описан лишь синтез и спектроскопическая характеризация ряда комплексов Ln с незамещенным 1,2-фенилендиамином [19-21], однако данные о молекулярном строении этих комплексов не получены; комплексы с анионными формами этого лиганда также неизвестны. Мы выбрали лиганд бис-(N-2,6-диизопропилфенил)-9,10-фенантрендиимин ($^{\text{Dipp}}\mathbf{PDI}$) с объемными заместителями у донорных атомов азота, способствующих образованию молекулярных комплексов. Этот лиганд образует анион-радикальную фенантренсемидииминовую (Dipp PSI •-) и дианионную фенантрендиамидную ($^{\text{Dipp}}$ **PDA**²⁻) формы. В нескольких работах описана его реакционная способность при координации к переходным металлам и при восстановлении щелочными металлами, а также его восстановительные свойства [28]. Целью настоящей работы являлось исследование методов синтеза комплексов лантаноидов с этим лигандом и их структурная характеризация. Из ряда лантаноидов были выбраны Sm и Yb (как обладающие доступными переходами Ln^{3+}/Ln^{2+}) и Dy для сопоставления со структурами известных комплексов с иминохиноновым лигандом $^{\text{Dipp}}AP^{2-}$.

ЭКСПЕРИМЕНТАЛЬНАЯ ЧАСТЬ

Все операции по синтезу, выделению и очистке соединений проводили в бескислородной атмосфере (аргон высокой чистоты или вакуум)

с использованием аппаратуры Шленка, вакуумированных запаянных ампул и перчаточного бокса с аргоновой атмосферой. Растворители для реакций подвергали обезвоживанию, дегазировали и перегоняли в инертной атмосфере над сплавом Na - К. Исходные лантаноцены $[LnCp_{2}^{*}(Thf)_{2}]$ (Ln = Sm, Yb; Cp* = пентаметилциклопентадиенид; Thf = тетрагидрофуран, $T\Gamma\Phi$) [29], иодид диспрозия [DyI,(Thf), [[30], Dipp PDI [31] синтезировали по известным методикам. Все остальные реагенты коммерчески доступны. ИК-спектры записывали на спектрометре ФТ-801 ("Симекс") в таблетках KBr, приготовленных путем прессования в инертной атмосфере. Элементный анализ выполняли с помощью автоматического анализатора Vario Micro Cube (Elementar) аналитической лаборатории ИНХ СО РАН. Спектры ЯМР ¹Н регистрировали на спектрометре Bruker Avance 500 на частоте 500.13 МГц. В качестве внутреннего стандарта использовали сигналы растворителя (1.72 м.д. для $T\Gamma\Phi$ - d_{\circ}). Монокристаллы для рентгеноструктурного анализа (РСА) отбирали из массы вещества после очистки и кристаллизации продукта, а также выращивали в запаянных ампулах, содержащих целевое вещество и небольшое количество растворителя, выдерживаемых при циклически изменяющейся температуре (20–45 °C с интервалом в 2 ч).

Синтез [K_2(^{Dipp}**PDA)(Thf)_3].** *Memod 1.* В сосуд Шленка помещали ^{Dipp}**PDI** (200 мг, 0.380 ммоль) и избыток металлического калия (200 мг, 5.13 ммоль). К полученной смеси сконденсировали при охлаждении 10 мл ТГФ и перемешивали при комнатной температуре в течение 24 ч. Спустя 30 мин после начала перемешивания раствор поменял цвет с красного на темно-синий, с дальнейшим постепенным изменением на темно-красный. Полученный раствор отделяли от непрореагировавшего калия и упаривали досуха. К сухому остатку сконденсировали 5 мл гексана. Выдерживание при комнатной температуре привело к образованию красных кристаллов продукта, совместно с небольшим количеством второй фазы, желтым мелкокристаллическим веществом. Кристаллы $[K_2(DippPDA)(Thf)_3]$, подходящие для РСА отбирали из смеси.

Метод 2. В сосуд Шленка помещали $^{\text{Dipp}}$ PDI (100 мг, 0.190 ммоль) и КС $_{8}$ (51 мг, 0.38 ммоль). К полученной смеси сконденсировали при охлаждении 10 мл ТГФ и перемешивали при комнатной температуре в течение 24 ч. Спустя 30 мин

после начала перемешивания раствор над осадком поменял цвет с красного на темно-синий, с дальнейшим постепенным изменением на темно-красный. Раствор отделяли от осадка углерода с помощью фильтрования и концентрировали до 2 мл. Поверх раствора в вакууме сконденсировали 5 мл гексана. Выдерживание смеси при комнатной температуре привело к образованию красно-коричневого мелкокристаллического продукта. Раствор декантировали, продукт высушивали в вакууме. Выход — 95 мг (61%).

Найдено, %: С 66.7; Н 7.2; N 3.8. Для $C_{50}H_{66}KN_2O_3$. вычислено, %: С 73.1; H 8.1; N 3.4.

ИК-спектр (v, см $^{-1}$): 3503 ср, 3393 ср, 2962 с, 2867 ср, 1590 ср, 1466 с, 1411 ср, 1375 ср, 1341 ср, 1267 сл, 1057 сл, 884 сл, 790 сл, 752 ср, 723 ср. ЯМР 1 Н (ТГФ- 1 - $^{$

Синтез [Li(Dipp PSI)(Thf),]. В сосуд Шленка помещали ^{Dipp}PDI (100 мг, 0.190 ммоль) и избыток металлического лития (10 мг, 1.43 ммоль). К полученной смеси сконденсировали при охлаждении 10 мл ТГФ и перемешивали при комнатной температуре в течение 24 ч. Спустя 30 мин после начала перемешивания цвет раствора изменился с красного на темно-синий, в дальнейшем он менялся на темно-красный. Непрореагировавший литий отделяли фильтрованием и к раствору при перемешивании добавляли Dipp PDI (100 мг, 0.190 ммоль). Цвет раствора спустя час изменился на темно-синий. Растворитель полностью удаляли в вакууме без нагревания; к маслянистому остатку добавляли 3 мл гексана. Образовавшийся осадок продукта отфильтровывали и высушивали. Выход -109 мг (85%). Кристаллы, пригодные для РСА, выращивали из смеси растворителей $T\Gamma\Phi$ — гексан (1:3).

Найдено, %: С 81.7; H 8.9; N 4.1. Для $C_{46}H_{58}LiN_2O_2$ вычислено, %: С 81.5; H 8.6; N 4.1. ИК-спектр (v, см⁻¹⁾: 3393 ср, 3058 ср, 2960 с, 2867 с, 1590 ср, 1455 с, 1425 с, 1381 ср, 1361 ср, 1338 ср, 1262 ср, 1108 сл, 1045 ср, 933 сл, 753 с, 721 ср, 591 сл.

Синтез [SmCp*(DippPDA)(Thf)] (I). В сосуд Шленка помещали [SmCp*2(Thf)2] (200 мг, 0.350 ммоль) и DippPDI (186 мг, 0.350 ммоль). К полученной смеси при охлаждении сконденсировали 10 мл ТГФ, раствор перемешивали при комнатной температуре в течение 24 ч. Спустя сутки исходный растворитель полностью удаляли в вакууме без нагревания; к твердому остатку добавляли гексан. Образовавшийся осадок продукта отфильтровывали и промывали гексаном (3 × 5 мл). Выход I 254 мг (82%). Кристаллы, пригодные для PCA, выращивали из смеси растворителей ТГФ — гексан (1:3).

Найдено, %: С 71.0; H 8.0; N 2.8. Для комплекса $C_{52}H_{65}N_2OSm$ (I) вычислено, %: С 70.6; H 7.4; N 3.2.

ИК-спектр (v, см⁻¹): 3676 сл, 3393 ср, 2961 с, 2924 с, 2866 с, 1589 ср, 1465 с, 1377 ср, 1340 ср, 1253 сл, 1117 сл, 1043 сл, 865 сл, 790 сл, 753 ср, 723 ср, 572 ср.

Синтез [DyI(Dipp PDA)(Thf)(solv)] (solv = Thf, II Thf ; solv = Et $_2$ O, II Et_2O). В сосуд Шленка помещали избыток металлического калия (33 мг, 0.84 ммоль) и Dipp PDI (200 мг, 0.380 ммоль) и сконденсировали 10 мл ТГФ при охлаждении жидким азотом. Через 12 ч перемешивания при комнатной температуре темно-красный раствор

соли отделяли от непрореагировавшего калия и к этому раствору при перемешивании добавляли [DyI₃(Thf)_{3.5}] (302 мг, 0.380 ммоль). Реакционную смесь перемешивали в течение 24 ч. Образовавшийся осадок КІ отделяли с помощью центрифугирования; раствор упаривали досуха. Далее в реакционный сосуд сконденсировали 5 мл гексана, образовавшийся осадок продукта отфильтровывали и высушивали. Выход — 273 мг (75%). Желтые кристаллы комплексов Π^{Thf} и Π^{Et_2O} , пригодные для PCA, получали при перекристаллизации из смеси $\Pi^{TO} - H^{-1}$ ексан (1:3) или диэтиловый эфир — H^{-1} ексан (1:3) соответственно.

Найдено, %: С 57.7; H 6.2; N 3.3. Для комплекса $C_{46}H_{58}DyIN_2O_2(II^{Thf})$ вычислено, %: С 57.5; H 6.1; N 2.9.

ИК-спектр (v, см⁻¹): 3392 ср, 3060 сл, 2962 с, 2866 с, 1589 ср, 1464 с, 1424 с, 1371 с, 1340 с, 1254 с, 1115 сл, 1018 ср, 926 сл, 863 ср, 786 ср, 753 с, 723 ср, 655 сл.

Синтез [Li(Thf)₃(Et₂O)][DyI₂($^{\text{Dipp}}$ PDA)(Thf)] (III). В сосуд Шленка помещали избыток металлического лития (10 мг, 1.4 ммоль) и $^{\text{Dipp}}$ PDI (200 мг, 0.380 ммоль) и сконденсировали 10 мл ТГФ при охлаждении жидким азотом. Через 12 ч перемешивания при комнатной температуре темно-красный раствор соли отделяли от непрореагировавшего лития и к нему при перемешивании добавляли [DyI₃(Thf)_{3.5}] (302 мг, 0.380 ммоль). Реакционную смесь перемешивали в течение 24 ч при температуре 70°C. Желто-оранжевый раствор

Таблица 1. Характеристичные длины связей (d) и углы (ω) в изучаемых комплексах и сравнение их с литературными данными

Связь или угол	Dipp PDI a	[Li(DippPSI:-)(Thf)2]	$[K_2^{(Dipp}PDA^{2-})(Thf)_3]$	I	IIEt ₂ O	$\mathbf{H}^{\mathrm{Thf}}$	IIIe
C-N ^B	1.27	1.33	1.39, 1.40	1.40, 1.41	1.40, 1.42	1.41	1.42, 1.41 / 1.40, 1.42
$C-C^c$	1.50	1.46	1.42	1.39	1.40	1.41	1.40 / 1.39
M-N	_	2.04, 2.01	2.78, 2.86 (K(Thf) ₃); 2.71, 2.86 (K(Dipp))	2.28, 2.32	2.20, 2.19	2.18, 2.19	2.22, 2.24 / 2.22, 2.24
Ln–I	_	_	_	_	3.05	3.03	3.01, 2.99 / 3.03, 3.01
M-O ^r	_	2.02, 2.09	2.75, 2.76	2.43	2.38 (Thf), 2.40 (Et ₂ O)	2.37, 2.39	2.42 / 2.42
NMN	_	81.0	59.0 (K(Thf) ₃), 59.9 (K(Dipp))	69.7	76.0	78.0	72.4 / 71.6

^аДанные из [38].

 $^{^{6}}$ Данные для комплексов с катионами [Li(Thf) $_{3}$ (Et $_{2}$ O)] $^{+}$ / [Li(Thf) $_{4}$] $^{+}$.

^в Связи во фрагменте NCCN.

 $^{^{\}Gamma}$ Атом кислорода координированного ТГФ или диэтилового эфира.

Таблица 2. Кристаллографические характеристики, детали эксперимента и уточнение структуры соединений

	٠ .	IV (DinoBDA)(TI-A 1		TIECO	TITH	1111	,111
Параметр	$\ln 1$	$[K_2(^{\nu\mu\nu}PDA)(1nI)_3]$	I	Carll	II''''	III	IIII
Номер ССDС	2260310	2260308	2260309	2260307	2260313	2260312	2260311
Брутто-формула	$C_{46}H_{58}N_2O_2Li$	$\mathrm{C_{50}H_{66}N_2O_3K_2}$	$C_{s2}H_{6s}N_2OSm$	$\mathrm{C_{46}H_{60}N_2O_2IDy}$	$C_{46}H_{58}N_2O_2IDy$	$C_{58}H_{84}DyI_2LiN_2O_5$	$C_{58}H_{82}DyI_2LiN_2O_5$
M	677.88	821.24	884.41	962.36	960.34	1312.51	1310.49
Температура, К	150(2)	123(2)	150(2)	150(2)	150(2)	150(2)	150(2)
Пространствен- ная группа	$P2_1/c$	$Pna2_{_{1}}$	$P2_1/c$	$P2_1/c$	$P2_1/n$	$P\bar{1}$	$Pna2_{_1}$
a. Å	15.7963(15)	26.2658(3)	16.2847(4)	19.551(3)	11.8045(8)	15.2956(8)	31.493(2)
<i>b</i> , Å	11.8461(11)	13.34900(18)	12.2290(3)	10.0410(16)	36.161(2)	18.7021(11)	14.3689(10)
c, Å	21.1715(16)	12.59996(13)	23.4217(5)	21.681(4)	19.5591(10)	20.4237(12)	12.9322(8)
α, град	06	06	06	06	06	91.796(2)	06
В, град	94.582(3)	96	106.4140(10)	93.290(6)	94.094(2)	95.974(2)	06
ү, град	06	06	06	06	06	90.133(2)	06
V, A^3	3949.0(6)	4417.82(9)	4474.23(18)	4249.1(12)	8327.7(9)	5807.7(6)	5852.1(7)
Z	4	4	4	4	8	4	4
$\rho_{\rm min}, \Gamma/{\rm cM}^3$	1.140	1.235	1.313	1.504	1.532	1.501	1.487
μ, мм ⁻¹	0.068	2.227	1.351	2.523	2.574	2.396	2.377
F(000)	1468.0	1768.0	1844.0	1940.0	3864.0	2644.0	2636.0
Размер кристалла	$0.30\times0.30\times0.06$	$0.60\times0.30\times0.15$	$0.16 \times 0.12 \times 0.10$	$0.15\times0.05\times0.04$	$0.22 \times 0.17 \times 0.08$	$0.22 \times 0.17 \times 0.08$	$0.17\times0.16\times0.11$
Излучение	$MoK_{\alpha} (\lambda = 0.71073)$	$CuK_{\alpha} (\lambda = 1.54178)$	$\operatorname{Mo}K_{\alpha}\left(\lambda=0.71073\right)$	$ \operatorname{Mo}_{\alpha}(\lambda = 0.71073) $	$MoK_{\alpha} (\lambda = 0.71073)$	$\operatorname{Mo}_{\alpha}\left(\lambda=0.71073\right)$	$MoK_{\alpha} (\lambda = 0.71073)$
Диапазон сбора данных по 20, град	4.302–51.36	6.73–146.342	3.792–54.218	4.562–51.542	3.91–55.754	2.914—57.398	4.43–55.818
Диапазоны h, k, l	$-18 \leqslant h \leqslant 19,$ $-14 \leqslant k \leqslant 14,$	$-30 \leqslant h \leqslant 32,$ $-16 \leqslant k \leqslant 16,$	$-20 \leqslant h \leqslant 18,$ $-15 \leqslant k \leqslant 15,$	$-23 \leqslant h \leqslant 23,$ $0 \leqslant k \leqslant 12,$	$-15 \leqslant h \leqslant 15,$ $-47 \leqslant k \leqslant 47,$ $35 < 1 < 24$	$-20 \leqslant h \leqslant 20,$ $-25 \leqslant k \leqslant 25,$	$-41 \leqslant h \leqslant 41,$ $-18 \leqslant k \leqslant 18,$ $16 < l < 17 < 17$
	C7 ∜ 1 ∜ C7−	CI 1/1/18-	+7 √ <i>l</i> √ 74	07 1/1/0	47 1 1 1 € C7—	/7 \	-10 / 1 / 1 / 1
Число измеренных рефлексов	34535	20756	38416	8048	112176	80849	82287
Число независи- мых рефлексов $(R_{\text{int}}, R_{\sigma})$	7494 (0.0563, 0.0443]	6932 (0.0227, 0.0246)	9853 (0.0399, 0.0379)	8048 (0.0692, 0.0539)	19653 (0.0743, 0.0545)	29208 (0.0373, 0.0446)	13910 (0.0383, 0.0260)
Число ограниче- ний / угочняемых	159 / 559	1 / 522	0 / 518	0 / 480	0 / 953	138 / 1274	94 / 680
GOOF TO F^2	1.038	1.034	1.031	1.024	1.061	1.138	1.056
R -фактор $(I > 2\sigma(I))$	$R_1 = 0.0672 \text{ w} R_2 = 0.1626$	$R_1 = 0.0455 wR_2 = 0.1270$	$R_1 = 0.0305 \text{ w} R_2 = 0.0641$	$R_1 = 0.0434 wR_2 = 0.0975$	$R_1 = 0.0517 \ wR_2 = 0.1271$	$R_1 = 0.0780$ $wR_2 = 0.1897$	$R_1 = 0.0274$ $WR_2 = 0.0559$
R-фактор	$R_1 = 0.0919 wR_2 = 0.1783$	$R_1 = 0.0478 wR_2 = 0.1290$	$R_1 = 0.0412 \text{ w} R_2 = 0.0688$	$R_1 = 0.0565 \text{ wR}_2 = 0.1045$	$R_1 = 0.0675 \text{ w} R_2 = 0.1365$	$R_1 = 0.0886$	$R_1 = 0.0311$ $W_2 = 0.0573$
$\Delta ho_{ m max}/\Delta ho_{ m min}, { m e}/{ m \AA}^3$ $\Pi_{ m anametr} \Omega_{ m Taka}$	0.79 / -0.48	0.76 / -0.41	0.83 / -0.57	1.94 / -1.07	2.62 / -1.02	6.29 / -2.65	1.25 / -1.14 -0.009(3)
nucle diomaini		(0)7000					(6)(60.6

сконцентрировали в вакууме до 1 мл и отделяли осадок LiI центрифугированием. На раствор в ТГФ наслаивали 3 мл диэтилового эфира. В результате диффузии образовались оранжево-красные кристаллы. Маточный раствор декантировали, продукт высушили в вакууме. Выход — 299 мг (60%).

Найдено, %: С 53.0; H 6.2; N 2.0. Для комплекса
$$C_{58}H_{84}$$
 DyI₂LiN₂O₅ (III) вычислено, %: С 53.1; H 6.4; N 2.1.

ИК-спектр (v, см⁻¹): 3392 ср, 3060 сл, 2961 с, 2867 с, 1590 ср, 1463 с, 1427 с, 1371 с, 1329 с, 1240 ср, 1207 ср, 1108 сл, 1049 с, 887 ср, 859 ср, 791 ср, 751 с, 722 ср, 675 сл.

Кристаллы комплекса [Li(Thf)₄][DyI₂(^{Dipp}PDA) (Thf)] (III'), пригодные для PCA, получали при перекристаллизации из смеси $T\Gamma\Phi - H$ -гексан (1: 3).

PCA кристаллов [Li(DippPSI)(Thf)₂], I, II^{Thf,} II^{Et₂O,} III и III' проведен при 150 K на дифрактометре Bruker D8 Venture (0.5° ω- и φ-сканирование, трехкружный гониометр с фиксированным у, КМОП-детектор PHOTON III, Mo-ImS3.0 микрофокусный источник, фокусировка с помощью зеркал Монтеля, $\lambda = 0.71073 \,\text{Å}$, Мо K_a) в ЦКП ИНХ СО РАН, а для $[K_2(DippPDA)(Thf)_2^{\alpha}]$ — при 123 К на дифрактометре Rigaku XtaLAB Synergy-R (0.5° ω- сканирование, четырехкружный гониометр, гибридный детектор HyPix-Arc 150, вращающийся анодный источник $\lambda = 1.54184 \,\text{Å}$, Cu K_{\perp}). Обработка первичных данных выполнена в пакете программ APEX 3 или CrysAlisPro 1.171.41.107a. Кристаллические структуры решены с помощью ShelXT [32] и уточнены с помощью программ ShelXL [33] с графическим интерфейсом Olex2 [34]. Атомные смещения для неводородных атомов уточнены в гармоническом анизотропном приближении за исключением некоторых атомов разупорядоченных фрагментов. Атомы водорода расположены геометрически и уточнены в модели "наездника". Длины связей и углы в изученных комплексах приведены в табл. 1, их кристаллографические параметры – в табл. 2.

Структуры депонированы в Кембриджском банке структурных данных (CCDC № 2260307—2260313; ccdc.cam.ac.uk/structures).

РЕЗУЛЬТАТЫ И ИХ ОБСУЖДЕНИЕ

Для получения комплексов лантаноидов с 9,10-N-(2,6-диизопропилфенил)-*o*-фенантрен-

Схема 2. Получение комплексов с лигандом $^{\text{Dipp}}\text{PDA}^{2-}$ в редокс-реакциях.

диимином (DippPDI) были использованы две разные методики: в первой - окислительно-восстановительные реакции между нейтральным диимином и лантаноценами [$LnCp*_{a}(Thf)_{a}$] (Ln =Sm, Yb), а во второй – обменные реакции между трииодидом диспрозия DyI, (Thf), и солью лиганда с щелочным металлом. В первой методике эксплуатируется хорошая восстановительная способность лантаноценов (за счет окисления как лантаноида, так и лиганда Cp^{*-}), однако эти исходные комплексы доступны только для нескольких лантаноидов; вторая методика не накладывает таких ограничений. В реакции [SmCp*₂(Thf)₂] и ^{Dipp}PDI (схема 2) в ТГФ отчетливо наблюдаются два этапа: сначала (в течение часа) происходит восстановление лиганда до анион-радикальной формы, раствор при этом становится фиолетового цвета. Затем он в течение нескольких часов становится темно-красного цвета, что говорит о появлении дианионной формы. Темно-красные кристаллы комплекса [SmCp*(DippPDA)(Thf)] (I) были выделены из смеси $T\Gamma\Phi$ – гексан (1 : 3 по объему).

В аналогичной реакции [YbCp*2(Thf)2] с ^{Dipp}PDI в ТГФ не наблюдается визуальных изменений. Если реакция протекает медленно из-за блокировки координационной сферы донорным растворителем, то использование неполярной среды могло бы способствовать ее ускорению. Однако взаимодействие не протекает даже при длительном нагревании реагентов в толуоле, и при кристаллизации из раствора были получены только кристаллы реагентов, определяемые визуально и по сопоставлению параметров элементарной ячейки (PCA). Мы предполагаем две причины такого поведения. Во-первых, ^{Dipp}PDI является достаточно объемным, поэтому при уменьшении радиуса катиона и в присутствии других объемных

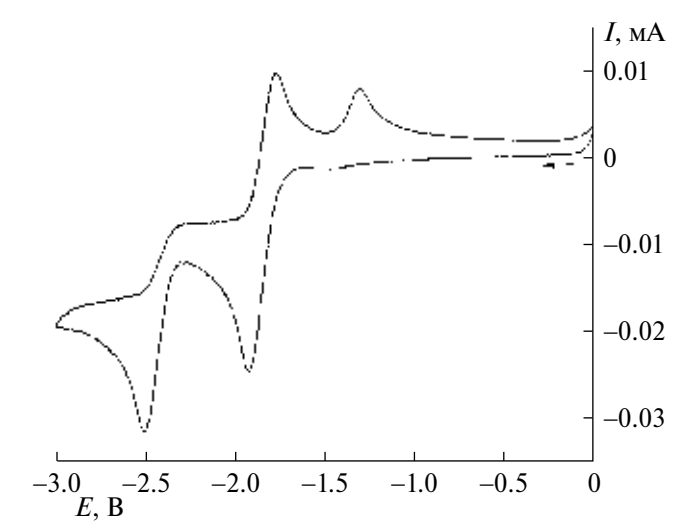


Рис. 1. Циклическая вольтамперограмма лиганда $^{\mathrm{Dipp}}$ PDI (ТГФ, V=0.2 B/c, относительно $\mathrm{Ag^+/Ag}$, $c=2\times \times 10^{-3}$ моль/л, Pt-электрод, Ar, 0.1 M $\mathrm{Bu_4NBF_4}$).

лигандов (Cp*-) взаимодействие этого редокс-активного лиганда с металлоцентром может быть затруднено. Во-вторых, восстановительного потенциала пары Yb³⁺/Yb²⁺ может быть недостаточно, чтобы восстановить лиганд до анион-радикального или лианионного состояния.

Для того чтобы проверить последнее предположение, мы изучили электрохимические свойства лиганда ^{Dipp}PDI методом циклической вольтамперометрии (рис. 1), которая показала наличие квазиобратимого одноэлектронного процесса восстановления при $E_{1/2} = -1.85$ В (относительно Ag⁺/Ag) с последующим необратимым восстановлением при -2.5 В. Предположительно, первая волна восстановления соответствует переходу ^{Dipp}PDI→Dipp</sup>PSI · -. Принимая во внимание редокс-потенциалы, известные для лантаноценов $(E_{1/2}(\text{LnCp*}_{2}(\text{Thf})_{2}^{+/0}) = -2.12 \text{ и} -1.48 \text{ B от-}$ носительно Ag+/Ag для Sm и Yb соответственно [35]), можно сделать вывод, что в случае самария процесс одноэлектронного восстановления за счет катиона лантаноида возможен, а в случае иттербия этот процесс термодинамически невыгоден. Комплекс с продуктом одноэлектронного восстановления, анион-радикальной формой лиганда ^{Dipp}PSI · -, выделить не удалось. Это может быть связано с тем, что происходит достаточно быстрое ее восстановление до дианиона. Интересно, что в реакции с самароценом второй этап восстановления ($^{Dipp}PSI^{\cdot-}\rightarrow ^{Dipp}PDA^{2-}$) проходит за счет лиганда Ср*-, который окисляется и димеризуется с образованием Ср*2, а в реакции с иттербоценом подобного восстановления за счет лиганда Ср*- не происходит. По-видимому, при

отсутствии стадии восстановления за счет лантаноида не происходит образования достаточно прочного комплекса с нейтральной формой лиганда ($^{\text{Dipp}}\text{PDI}$), и последняя не может войти в достаточно близкий контакт с лигандом Cp^{*-} для переноса электрона.

Для развития химии подобных комплексов с другими Ln, проявляющими менее доступную лля релокс-процессов степень окисления +2. необходимы альтернативные методы их синтеза, например по реакциям ионного обмена с галогенидами лантаноидов. Поэтому сначала было необходимо получить анионные формы лиганда, например в виде солей с катионами щелочных металлов. В качестве катиона мы выбрали калий из-за его меньшей склонности к образованию "атных" комплексов в реакциях с галогенидами лантаноидов. Было опробовано два метода синтеза (в качестве растворителя использовался $T\Gamma\Phi$): реакция лиимина ^{Dipp}PDI с избытком металлического калия или со стехиометрическим количеством калий-интеркалированного графита КС, (2 эквивалента). Во всех случаях в течение 3 ч наблюдалось изменение цвета раствора с красного на синий и в итоге на темно-красный. При концентрировании раствора в ТГФ продукт реакции не кристаллизуется, а образует густое масло. Мелкокристаллический продукт осаждается при добавлении гексана; отдельные кристаллы соли с дианионной формой лиганда $[K_2(DippPDA)(Thf)_2]$ также удалось получить при кристаллизации из смеси ТГФ – гексан. Элементный анализ поликристаллического образца показывает заниженные значения по углероду и водороду, и завышенные по азоту. Это можно объяснить непостоянством сольватного состава образующегося соединения из-за легкого ухода донорных молекул ТГФ и неустойчивостью вещества к окислению. Частичная потеря ТГФ подтверждается данными спектроскопии ЯМР ¹Н: в то время как интегральные интенсивности сигналов ароматических протонов и протонов изо-пропильных групп соответствуют друг другу, интенсивности сигналов от ТГФ занижены примерно в 2 раза. Поэтому для последующих синтезов калиевая соль получалась in situ и использовалась без выделения. При попытке получить анион-радикальную форму K(Dipp PSI) действием еще одного эквивалента диимина Dipp PDI на полученную in situ дианионную соль, образующийся вначале темно-синий раствор (цвет соответствует анион-радикалу) быстро становился темно-коричневым. Как было отмечено в [36], моноанионные формы дииминов, в том числе ^{Dipp} PSI-, неустойчивы, но могут быть стабилизированы за счет

$$\begin{array}{c|c} Dipp & Thf \\ \hline Dy & Solv = Thf (\mathbf{II}^{Thf}) \\ Solv = Et_2O (\mathbf{II}^{Et_2O}) \\ \hline Dipp & Dipp \\ \hline Dipp$$

Схема 2. Синтез комплексов с помощью реакций ионного обмена.

координации. Использование катиона лития позволило авторам получить устойчивые в растворе анион-радикалы, охарактеризованные ЭПР. По-видимому, более ионный характер связи К—N по сравнению с более ковалентной Li—N и, как следствие, образование сольватно-разделенных ионных пар приводит к дестабилизации калиевой соли. В подобной реакции избытка металлического лития с ^{Dipp}PDI, с последующим добавлением к дилитиевой соли еще одного эквивалента диимина, образуется стабильный темно-синий раствор, из которого нам удалось выделить чистую кристаллическую фазу комплекса с моноанионной формой лиганда, [Li(DippPSI)(Thf),].

Соли с катионами щелочных металлов были использованы для синтеза комплексов диспрозия. В результате реакции калиевой соли $[K_2(DippPDA)(Thf)_2]$, полученной *in situ* в $T\Gamma\Phi$, с эквимолярным количеством $DyI_3(Thf)_{3,5}$ (схема 3), выпадал осадок иодида калия. Кристаллизация продукта после отделения от осадка была затруднена: ни при медленном упаривании ТГФ, ни при замене растворителя на толуол кристаллы не образовывались; при этом в гексане полученное соединение не растворялось. Необходимые условия были достигнуты при кристаллизации из смеси растворителей $T\Gamma\Phi$ – гексан (1 : 3 по объему) или диэтиловый эфир — μ -гексан (1 : 3 по объему), в этих условиях были получены молекулярные комплексы $[DyI(^{Dipp}PDA)(Thf)_2]$ (II^{Thf}) и $[DyI(^{Dipp}PDA)(Thf)(Et_2O)](II^{Et_2O})$ соответственно.

Интересно, что при использовании в обменной реакции литиевой соли, полученной *in situ* при восстановлении нейтрального диимина

^{Dipp}PDI избытком металлического лития, образующийся комплекс несколько отличается от предыдущего. При кристаллизации из смеси растворителей $T\Gamma\Phi - Et_2O(1:3$ по объему) была выделена двойная комплексная соль состава [Li(Thf) $_3$ (Et $_2$ O)][DyI $_2$ (DippPDA)(Thf)] (III). Причиной образования такого комплекса является достаточно высокая растворимость иодида лития в $T\Gamma\Phi$. Вследствие этого в растворе образуется достаточно большая концентрация иодид-ионов, которые входят в состав комплекса в качестве дополнительных анионных лигандов. При кристаллизации из $T\Gamma\Phi$ были получены кристаллы близкой по составу соли [Li(Thf) $_4$][DyI $_2$ (DippPDA)(Thf)] (III'), содержащей тот же анион, что и III.

В ИК-спектрах $^{\text{Dipp}}$ PDI, [Li($^{\text{Dipp}}$ PSI)(Thf) $_2$], [K $_2$ ($^{\text{Dipp}}$ PDA)(Thf) $_3$], I, II, III можно выделить полосы в средней области (1700—1500 см $^{-1}$), соответствующие колебаниям сопряженной системы NCCN, наиболее сильно зависящие от степени окисления лиганда (рис. 2). Восстановление $^{\text{Dipp}}$ PDI в $^{\text{Dipp}}$ PSI $^{2-}$ приводит к последовательному уменьшению интенсивности и исчезновению коротковолновых полос на 1620-1650 см $^{-1}$, длинноволновая полоса при 1595 см $^{-1}$ остается практически без изменений.

Строение всех полученных комплексов было установлено с помощью PCA. В $[K_2(^{\text{Dipp}}\text{PDA})(\text{Thf})_3]$ все три молекулы $\Gamma\Gamma\Phi$ координированы к одному из атомов калия (рис. 3, a). Второй атом калия координирован π -системой диизопропилфенильного кольца другой молекулы комплекса, тем самым объединяя комплексы в 1D-полимерную цепочку (рис. $3, \delta$). Подобная

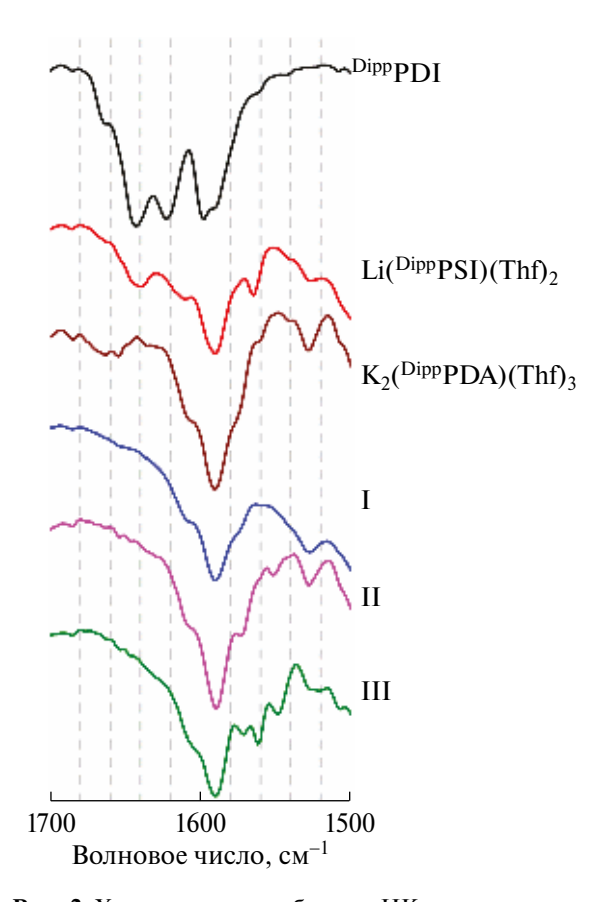


Рис. 2. Характерные колебания в ИК-спектрах соединений $^{\text{Dipp}}$ PDI, [Li($^{\text{Dipp}}$ PSI)(Thf) $_2$], [K $_2$ ($^{\text{dipp}}$ PDA)(Thf) $_3$], I, II и III.

π-координация была также обнаружена в структурах солей щелочных металлов с диазабутадиеновым (DAD) лигандом и приводила к тетраядерным комплексам [37].

По сравнению с калиевой литиевая соль с анион-радикальной формой лиганда $[\mathrm{Li}(^{\mathrm{Dipp}}\mathrm{PSI})(\mathrm{Thf})_2]$ представляет собой моноядерный комплекс (рис. 4). Координационный полиэдр соединения можно описать как искаженный тетраэдр. Длины связей $\mathrm{C-N}$ и $\mathrm{C-C}$ в металлоцикле принимают промежуточные значения между длинами, характерными для нейтральной и дианионной форм (см. табл. 1), что подтверждает моноанионную форму лиганда.

В комплексе самария I центральный атом координирован одним η⁵-циклопентадиенильным и одним фенантрендииминовым лигандом (рис. 5), координационная сфера дополняется молекулой ТГФ до координационного числа (КЧ) равного 6. Длины связей фрагмента NCCN металлоцикла близки к таковым в структуре калиевой соли $[K_{3}(^{Dipp}PDA)(Thf)_{3}]$ и соответствуют дианионной форме лиганда, ^{Бірр}РDА²⁻ (см. табл. 1). Учитывая, что лиганд Cp^{*-} несет заряд -1, атом самария находится в степени окисления +3. Объемный лиганд Ср*- находится в позиции, противоположной связям Sm-N; таким образом, вектор Sm-Cp* (центроид) незначительно отклоняется от плоскости SmN₂ (на 34°). Такое расположение определяется взаимодействием с объемными заместителями ^{Dipp}PDA²⁻: метильные группы Ср* расположены практически вплотную к ароматическим циклам обеих групп Dipp, и более близкое расположение Ср* невозможно по стерическим причинам. Как следствие, менее объемный лиганд ТГФ занимает оставшееся место в координационной сфере и связь Sm-O направлена в сторону от хелатного цикла (угол с плоскостью SmN_2 составляет 78°).

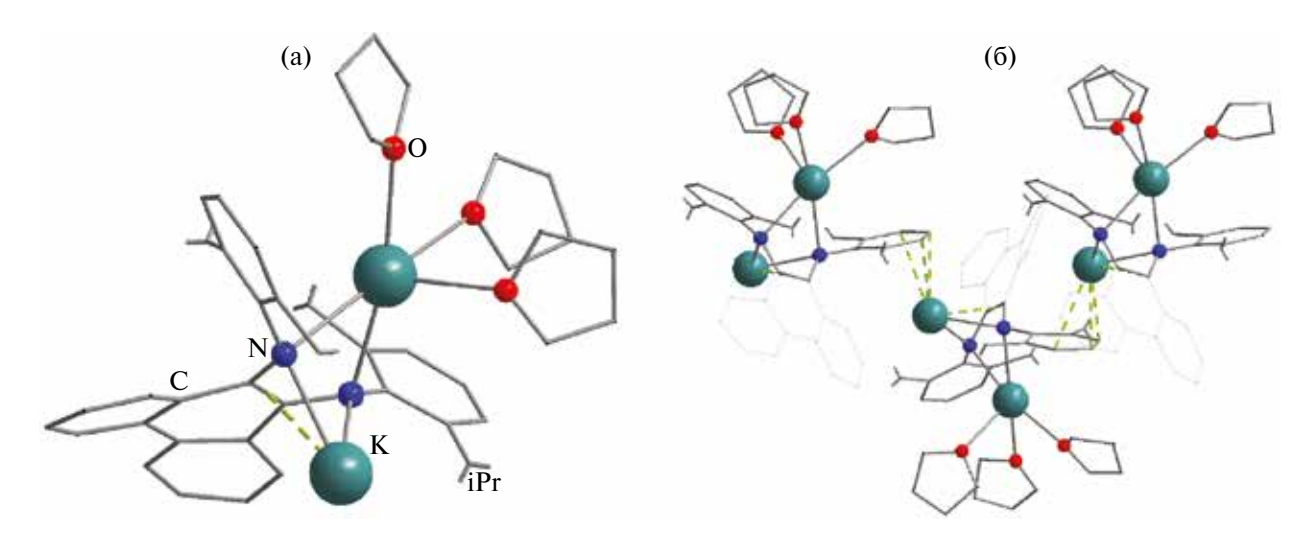


Рис. 3. Строение независимой части в структуре $[K_2^{(Dipp}PDA)(Thf)_3]$ по данным PCA (*a*); взаимное расположение трех молекул комплекса в кристаллической упаковке (δ). Атомы водорода и метильные группы заместителей Dipp не по-казаны, углеводородные фрагменты показаны в упрощенном виде; π -координация показана пунктирными линиями.

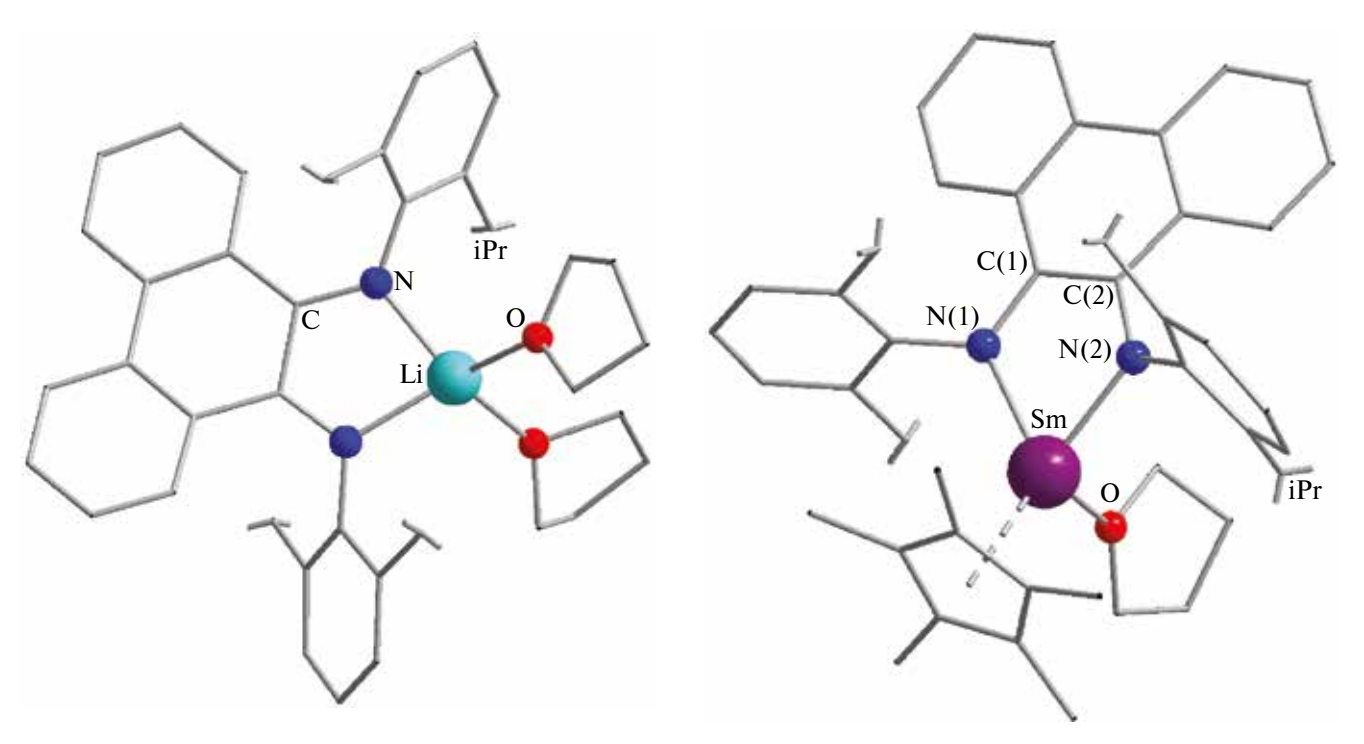


Рис. 4. Строение [Li($^{\text{Dipp}}$ PSI)(Thf) $_2$] по данным PCA. Атомы водорода и метильные группы заместителей Dipp не показаны, углеводородные фрагменты показаны в упрощенном виде.

Рис. 5. Строение комплекса [SmCp*($^{\text{Dipp}}$ PDA)(Thf)] (I). Атомы водорода и метильные группы заместителей Dipp не показаны, углеводородные фрагменты показаны в упрощенном виде.

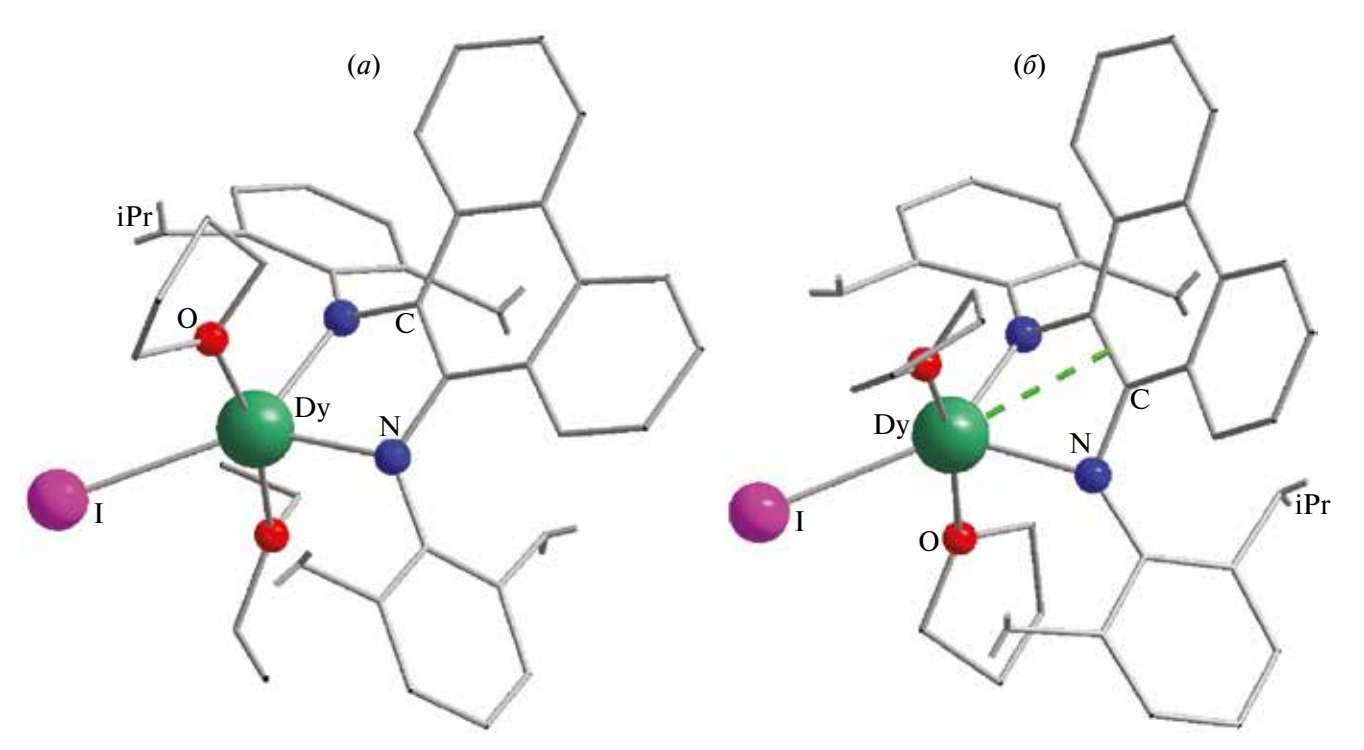


Рис. 6. Строение комплексов [DyI($^{\text{Dipp}}$ PDA)(Thf)(Et₂O)] (II^{Et₂O)} (*a*), [DyI($^{\text{Dipp}}$ PDA)(Thf)₂] (II^{Thf}) (*б*). Атомы водорода и метильные группы заместителей Dipp не показаны, углеводородные фрагменты показаны в упрощенном виде; π -координация показана пунктирными линиями.

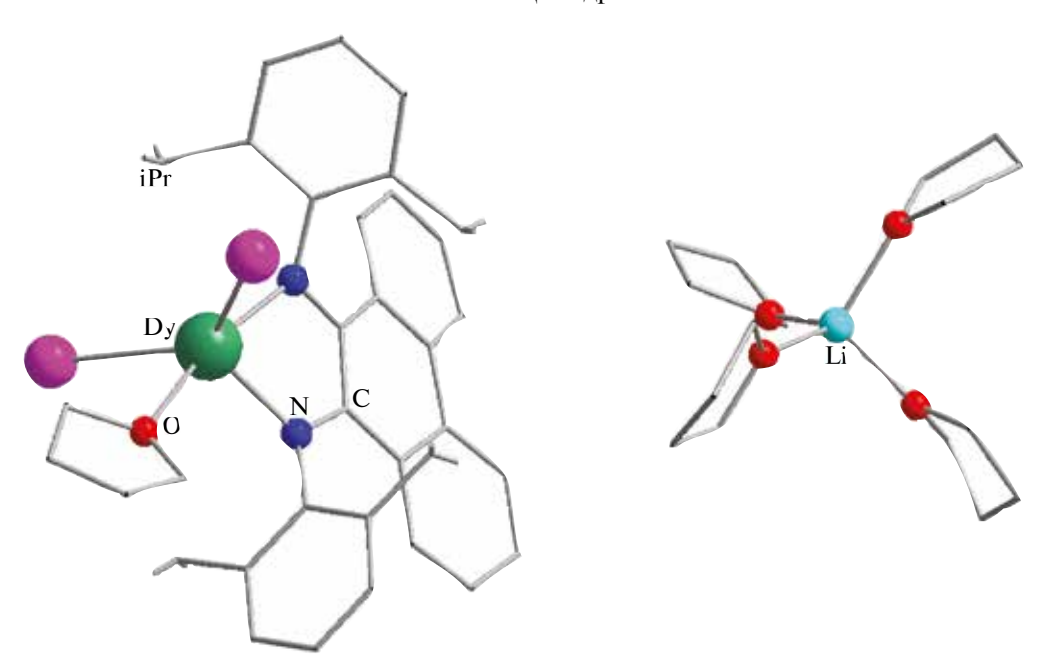


Рис. 7. Строение двойной комплексной соли [Li(Thf) $_4$][DyI $_2$ (Dipp PDA)(Thf)] (III'). Атомы водорода и метильные группы заместителей Dipp не показаны, углеводородные фрагменты показаны в упрощенном виде.

B структурах II^{Thf} и II^{Et_2O} координационные полиэдры практически одинаковы и представляют собой искаженную тригональную бипирамиду с атомами азота и иода в экваториальных положениях и двумя атомами кислорода в аксиальных (DyIO, N, КЧ 5; рис. 6). Дииминовый лиганд находится в дианионном состоянии, что следует из состава комплекса и подтверждается характерными значениями длин связей С-N и С-С в хелатном цикле (см. табл. 1). Структура комплекса II^{Thf} содержит две независимые молекулы. Длины подобных связей в координационном узле практически не отличаются для этих двух молекул, а также между комплексами II^{Thf} и II^{Et₂O}. Аналогично комплексу I, объемный лиганд (I-) расположен напротив донорных атомов азота в позиции, максимально удаленной от заместителей Dipp дииминового лиганда. Угол связи Dy-I с плоскостью DyN, составляет 12° и 13° для $\dot{\Pi}^{Thf}$ и 0° для $\dot{\Pi}^{Et_2O}$. Оставшиеся два доступных координационных места заняты нейтральными донорными молекулами ТГФ или Et₂O; связи Dy-O практически перпендикулярны плоскости DyN_{2} (углы с этой плоскостью для всех таких связей лежат в интервале 73°—86°).

Для анионного комплекса

$[\mathrm{Dy}(^{\mathrm{Dipp}}\mathrm{PDA})\mathrm{I}_{2}(\mathrm{Thf})]^{-}$

были получены две кристаллические фазы: с катионами $[\text{Li}(\text{Thf})_4]^+$ (рис. 7) и $[\text{Li}(\text{Thf})_3(\text{Et}_2\text{O})]^+$. Струк-

тура с первым катионом включает две кристаллографически независимые пары катион – анион. Геометрия анионных комплексов в обеих структурах одинакова, окружение центрального атома DyI₂ON₂ (КЧ 5). По сравнению с комплексом II включение в координационную сферу еще одного большого иодид-аниона приводит к существенным изменениям в относительном расположении лигандов. Два иодид-аниона не могут находиться так же близко к дииминовому лиганду, как молекулы Ет.О, из-за взаимодействия с объемными заместителями Dipp. Поэтому связи Dy–I заметно отклонены от перпендикуляра к плоскости DvN. (на 62° и 68°). Оба атома иода расположены практически вплотную к одному из двух заместителей Dipp; оставшееся место вблизи второго заместителя занимает одна молекула ТГФ. Поскольку положения по сторонам от плоскости DyN, заняты атомами иода, связь Dy-O находится близко к этой плоскости, образуя с ней угол в 10°.

Интересно проследить различия в положении атома металла относительно хелатного цикла в серии полученных комплексов. Во всех структурах фрагмент NCCN практически плоский вследствие сопряжения. Отклонение этих четырех атомов от их среднеквадратичной плоскости не превышает 0.03 Å для комплексов калия и лантана и максимально в комплексе [Li(Dipp PSI)(Thf)2] (0.05 Å). Небольшой катион лития расположен в плоскости фрагмента NCCN (с расстоянием от нее 0.05 Å). В комплексе калия, вследствие мостикового по-

ложения дииминового лиганда, оба катиона отстоят от этой плоскости на значительное расстояние (1.65 и 2.39 Å). В комплексах лантаноидов длина связи металл — азот на $\sim 0.2 \text{ Å}$ больше, чем в комплексе лития (см. табл. 1); как следствие, металлоцикл LnNCCN изогнут по линии, проходящей через атомы азота. Атом самария в I и атомы диспрозия в III и III' отклоняются от плоскости NCCN на 0.40-0.47 Å. Атомы диспрозия в II^{Et_2O} отклоняются на чуть большую величину (0.74 Å). Это можно объяснить, по-видимому, необходимостью расположения более объемного эфирного лиганда (Et₂O) в промежутке между объемными изопропильными группами для минимизации взаимного отталкивания от них. В структуре II^{Thf} наблюдается наибольшее отклонение катиона лантаноида от плоскости NCCN (1.28 и 1.35 Å) для двух независимых молекул. Столь существенное отклонение приводит к тому, что катион Dy³⁺ оказывается вблизи двойной связи С=С металлоцикла (расстояние до центра связи 2.66 и 2.64 Å соответственно), что допускает возможность прямой координации катиона π-системой сопряженного фрагмента. Можно предположить, что возможность π-координации появляется в этом комплексе из-за доступности места в координационной сфере, поскольку молекула ТГФ занимает меньший объем, чем Et_2O (в сравнении с II^{Et_2O}); однако нельзя исключать, что причиной являются эффекты упаковки соседних молекул в кристалле. В любом случае наблюдаемая деформация координационного цикла демонстрирует значительную его гибкость и возможность подстройки его геометрии под различное сочетание лигандов. Похожая структурная гибкость была отмечена ранее для комплексов самария(II) с N, N-донорными β-дикетиминатными лигандами [39].

Таким образом, в работе были впервые определены структуры комплексов щелочных металлов с 9,10-фенантрендииминовым лигандом в анион-радикальном и дианионном состояниях. Было продемонстрировано, что комплексы лантаноидов с этим лигандом могут быть получены двумя путями: через редокс-процессы с участием нейтральной формы лиганда и через обменные реакции с дианионной формой лиганда. По первому пути был успешно получен комплекс самария(III), но было показано, что восстановительного потенциала Yb²⁺ для этого подхода уже недостаточно. По второму пути были получены комплексы диспрозия, и этот способ потенциально может быть распространен на все ионы лантаноидов(III). Было показано, что строение комплекса, получаемого по ионно-обменным реакциям с LnI₃, зависит от применяемой

соли щелочного металла. Использование литиевой соли приводит к повышенной концентрации иодид-иона и к анионным комплексам, включающим два иодидных лиганда. Все комплексы лантаноидов были получены с дианионной формой дииминового лиганда (^{Dipp}PDA²⁻). Поскольку эта форма обладает достаточно большим восстановительным потенциалом, полученные комплексы могут проявлять восстановительные свойства за счет окисления ее до анион-радикальной ^{Dipp}PSI .-. а комплекс самария I содержит и второй лиганд, потенциально способный к окислению (Ср*-). Стабилизация анион-радикальной формы в виде комплекса лития позволяет предполагать и стабилизацию комплексов лантаноидов с этой формой лиганда. Восстановительные свойства новых комплексов будут изучаться в продолжении данной работы.

Авторы заявляют, что у них нет конфликта интересов.

БЛАГОДАРНОСТИ

Авторы благодарят Министерство науки и высшего образования Российской Федерации за поддержку работы Центра коллективного пользования ИНХ СО РАН, а также сотрудников Центра за съемку спектров ЯМР 1 Н (проекты № 121031700321—3, 121031700313—8).

ФИНАНСИРОВАНИЕ

Работа выполнена при финансовой поддержке Российского научного фонда (проект № 22-23-00983), https://rscf.ru/project/22-23-00983/

СПИСОК ЛИТЕРАТУРЫ

- 1. *Kaim W.* // Inorg. Chem. 2011. V. 50. № 20. P. 9752.
- 2. Tezgerevska T., Alley K. G., Boskovic C. // Coord. Chem. Rev. 2014. V. 268. P. 20.
- 3. Wada T., Tanaka K., Muckerman J. T., Fujita E. // Mol. Water Oxid. Catal. 2014. P. 77.
- 4. *Kobayashi K., Ohtsu H., Wada T. et al.* // J. Am. Chem. Soc. 2003. V. 125. № 22. P. 6729.
- 5. *Lippert C. A.*, *Arnstein S. A.*, *Sherrill C. D.*, *Soper J. D.* // J. Am. Chem. Soc. 2010. V. 132. № 11. P. 3879.
- 6. *Abakumov G.A.*, *Poddel'sky A.I.*, *Grunova E. V. et al.* // Angew. Chem. Int. Ed. 2005. V. 44. № 18. P. 2767.
- 7. *Bruni S., Caneschi A., Cariati F. et al.* // J. Am. Chem. Soc. 1994. V. 116. № 4. P. 1388.
- 8. Bubnov M. P., Kozhanov K. A., Skorodumova N. A. et al. // J. Mol. Struct. 2019. V. 1180. P. 878.
- 9. Piskunov A. V., Lado A. V. Fukin G. K. et al. // Heteroat.

- Chem. 2006. V. 17. № 6. P. 481.
- 10. Kabachnik M. I., Bubnov N. N., Solodovnikov S. P., Prokof ev A.I. // Russ. Chem. Rev. 1984. V. 53. № 3. P. 288.
- 11. *Hay M.A.*, *Boskovic C.* // Chem. A Eur. J. 2021. V. 27. № 11. P. 3608.
- 12. *Pushkarevsky N. A.*, *Ogienko M. A.*, *Smolentsev A. I. et al.* // Dalton Trans. 2016. V. 45. № 3. P. 1269.
- 13. Kuzyaev D. M., Vorozhtsov D. L., Druzhkov N. O. et al. // J. Organomet. Chem. 2012. V. 698. P. 35.
- 14. *Caneschi A., Dei A., Gatteschi D. et al.* // Dalton Trans. 2004. № 7. P. 1048.
- 15. *Klementyeva S. V., Lukoyanov A. N., Afonin M. Y. et al.* // Dalton Trans. 2019. V. 48. № 10. P. 3338.
- 16. *Coughlin E.J.*, *Zeller M.*, *Bart S. C.* // Angew. Chem. Int. Ed. 2017. V. 56. № 40. P. 12142145.
- 17. *Maleev A. A.*, *Trofimova O. Y.*, *Pushkarev A. P. et al.* // Nanotechnologies Russ. 2015. V. 10. № 7–8. P. 613.
- 18. Sinitsa D. K., Sukhikh T. S., Konchenko S. N., Push-karevsky N. A. // Polyhedron. 2021. V. 195. P. 114967.
- 19. *Subhedar Y., Ramachandra V. //* Asian J. Chem. 1994. V. 6. № 2. P. 277.
- 20. *Ramachandra V., Patil B.* // Curr. Sci. 1976. V. 45. № 19. P. 686.
- 21. *Su J.*, *He F.*, *Qi X.*, *Wang J.* // Huaxue Yu Shengwu Gongcheng. 2011. V. 28. № 4. P. 36.
- 22. *Schoo C., Bestgen S., Egeberg A. et al.* // Angew. Chem. Int. Ed. 2019. V. 58. № 13. P. 4386.
- 23. *Reinfandt N., Michenfelder N., Schoo C. et al.* // Chem. Eur. J. 2021. V. 27. № 29. P. 7862.
- 24. *Trifonov A.A., Shestakov B. G., Lyssenko K.A. et al.* // Organometallics. 2011. V. 30. № 18. P. 4882.

- 25. Fedushkin I. L., Yambulatov D. S., Skatova A. A. et al. // Inorg. Chem. 2017. V. 56. № 16. P. 9825.
- 26. *Fedushkin I. L.*, *Maslova O. V.*, *Baranov E. V.*, *Shavyrin A. S.* // Inorg. Chem. 2009. V. 48. № 6. P. 2355.
- 27. Fedushkin I. L., Maslova O. V., Morozov A. G. et al. // Angew. Chem. Int. Ed. 2012. V. 51. № 42. P. 105847.
- 28. *Groom C. R.*, *Bruno I.J.*, *Lightfoot M. P.*, *Ward S. C.* // Acta Crystallogr. B. 2016. V. 72. № 2. P. 171.
- 29. Evans W.J., Grate J. W., Choi H. W. et al. // J. Am. Chem. Soc. 1985. V. 107. № 18. P. 941.
- 30. Mironova O.A., Sukhikh T.S., Konchenko S.N., Push-karevsky N.A. // Polyhedron. 2019. V. 159. P. 337.
- 31. Cherkasov V. K., Druzhkov N. O., Kocherova T. N. et al. // Tetrahedron. 2012. V. 68. № 5. P. 1422.
- 32. *Sheldrick G. M.* // Acta Crystallogr. Sect. A. 2015. V. 71. № 1. P. 3–8.
- 33. *Sheldrick G. M.* // Acta Crystallogr. Sect. C. 2015. V. 71. № 1. P. 3–8.
- 34. *Dolomanov O. V., Bourhis L. J., Gildea R. J. et al.* // J. Appl. Crystallogr. 2009. V. 42. № 2. P. 339.
- 35. *Veauthier J. M., Schelter E. J., Carlson C. N. et al.* // Inorg. Chem. 2008. V. 47. № 13. P. 5841.
- 36. *Abakumov G.A.*, *Druzhkov N.O.*, *Kocherova T.N. et al.* // Dokl. Chem. 2016. V. 467. № 2. P. 109.
- 37. *Duraisamy R., Liebing P., Harmgarth N. et al.* // Eur. J. Inorg. Chem. 2019. V. 2019. № 28. P. 3343.
- 38. *Gao B., Luo X., Gao W. et al.* // Dalton Trans. 2012. V. 41. № 9. P. 2755.
- 39. *Mironova O.A., Sukhikh T.S., Konchenko S.N., Push-karevsky N.A.* // Inorg. Chem. 2022. V. 61. № 39. P. 15484.

Lanthanide (Sm, Dy) Complexes with the 9,10-Phenanthrenediimine Redox-Active Ligand: Synthesis and Structures

D. K. Sinitsa^{1, *}, D. P. Akimkina^{1, 2}, T. S. Sukhikh¹, S. N. Konchenko¹ and N. A. Pushkarevskii¹

¹Nikolaev Institute of Inorganic Chemistry, Siberian Branch, Novosibirsk, Russia ²Novosibirsk State University, Novosibirsk, Russia

*e-mail: sinitsa@niic.nsc.ru

The complex formation of the redox-active ligand *bis*(N, N'-2,6-diisopropylphenyl)-9,10-phenanthrenediimine (DippPDI) with alkaline metal (Li, K) and lanthanide (Sm, Dy) cations is studied. The reduction of DippPDI with an alkaline metal excess affords the dianionic form of the ligand (DippPDA²⁻), which crystallizes with the potassium cation as the coordination polymer [K₂(DippPDA)(Thf)₃] (Thf is tetrahydrofuran, THF). The reaction of equimolar amounts of the lithium salt with the dianionic form of the ligand and neutral diimine affords the lithium complex with the radical-anion form (DippPSI) crystallized as [Li(DippPSI)(Thf)₂]. The samarium(III) complex [SmCp*(DippPDA)(Thf)] (I) is formed by the reduction of DippPDI with samarocene [Sm (Thf)₂] (Cp* is pentamethylcyclopentadienide): both the samarium(II) cation and Cp*- anion are oxidized in the reaction. DippPDI does not react with similar ytterbocene. The dysprosium(III) complexes are synthesized by the ion exchange reactions between DyI₃(Thf)_{3,5} and potassium or lithium salt with the DippPDA2-dianion. Similar complexes [Dy(DippPDA)I(Thf)₂] (IIThf) and [Dy(DippPDA)I(Thf)(Et₂O)] () are formed in the reactions with the potassium salt depending on the solvent used: a THF-hexane or a diethyl ethern-hexane mixture, respectively. The coordination of the dysprosium cation by the σ system of the conjugated fragment of the NCCN ligand is observed in IIThf, whereas in this coordination is absent. The reaction with Li₂(DippPDA) affords the binary complex salt [Li(Thf)₃(Et₂O)][DyI₃(DippPDA)(Thf)] (III, crystallization from a THF-Et₂O mixture). The

crystallization from THF gives the $[\text{Li(Thf)}_4][\text{DyI}_2(\text{Dipp}PDA)(\text{Thf})]$ salt (III') containing the same anion as III. The structures of all new complexes are studied by X-ray diffraction (XRD, CIF files CCDC nos. 2260307–2260313).

Keywords: redox-active ligand, phenanthrenediimine, samarium(III), dysprosium(III), lanthanocene, XRD, steric properties of ligand

REFERENCES

- 1. *Kaim W.* // Inorg. Chem. 2011. V. 50. № 20. P. 9752.
- 2. Tezgerevska T., Alley K. G., Boskovic C. // Coord. Chem. Rev. 2014. V. 268. P. 20.
- 3. Wada T., Tanaka K., Muckerman J. T., Fujita E. // Mol. Water Oxid. Catal. 2014. P. 77.
- 4. *Kobayashi K., Ohtsu H., Wada T. et al.* // J. Am. Chem. Soc. 2003. V. 125. № 22. P. 6729.
- Lippert C. A., Arnstein S. A., Sherrill C. D., Soper J. D. // J. Am. Chem. Soc. 2010. V. 132. № 11. P. 3879.
- 6. *Abakumov G. A., Poddel'sky A.I., Grunova E. V. et al.* // Angew. Chem. Int. Ed. 2005. V. 44. № 18. P. 2767.
- 7. *Bruni S., Caneschi A., Cariati F. et al.* // J. Am. Chem. Soc. 1994. V. 116. № 4. P. 1388.
- 8. Bubnov M. P., Kozhanov K. A., Skorodumova N. A. et al. // J. Mol. Struct. 2019. V. 1180. P. 878.
- 9. *Piskunov A. V., Lado A. V. Fukin G. K. et al.* // Heteroat. Chem. 2006. V. 17. № 6. P. 481.
- 10. *Kabachnik M. I.*, *Bubnov N. N.*, *Solodovnikov S. P.*, *Prokof'ev A.I.* // Russ. Chem. Rev. 1984. V. 53. № 3. P. 288.
- 11. *Hay M.A.*, *Boskovic C.* // Chem. A Eur. J. 2021. V. 27. № 11. P. 3608.
- 12. Pushkarevsky N.A., Ogienko M.A., Smolentsev A.I. et al. // Dalton Trans. 2016. V. 45. № 3. P. 1269.
- 13. Kuzyaev D. M., Vorozhtsov D. L., Druzhkov N. O. et al. // J. Organomet. Chem. 2012. V. 698. P. 35.
- 14. *Caneschi A.*, *Dei A.*, *Gatteschi D. et al.* // Dalton Trans. 2004. № 7. P. 1048.
- 15. *Klementyeva S. V., Lukoyanov A. N., Afonin M. Y. et al.* // Dalton Trans. 2019. V. 48. № 10. P. 3338.
- 16. *Coughlin E.J., Zeller M., Bart S. C.* // Angew. Chem. Int. Ed. 2017. V. 56. № 40. P. 12142145.
- 17. *Maleev A. A.*, *Trofimova O. Y.*, *Pushkarev A. P. et al.* // Nanotechnologies Russ. 2015. V. 10. № 7–8. P. 613.
- 18. Sinitsa D. K., Sukhikh T. S., Konchenko S. N., Push-karevsky N. A. // Polyhedron. 2021. V. 195. P. 114967.
- 19. *Subhedar Y., Ramachandra V. //* Asian J. Chem. 1994. V. 6. № 2. P. 277.
- 20. *Ramachandra V., Patil B.* // Curr. Sci. 1976. V. 45. № 19. P. 686.

- 21. *Su J.*, *He F.*, *Qi X.*, *Wang J.* // Huaxue Yu Shengwu Gongcheng. 2011. V. 28. № 4. P. 36.
- 22. *Schoo C., Bestgen S., Egeberg A. et al.* // Angew. Chem. Int. Ed. 2019. V. 58. № 13. P. 4386.
- 23. *Reinfandt N., Michenfelder N., Schoo C. et al.* // Chem. Eur. J. 2021. V. 27. № 29. P. 7862.
- 24. *Trifonov A. A.*, *Shestakov B. G.*, *Lyssenko K. A. et al.* // Organometallics. 2011. V. 30. № 18. P. 4882.
- 25. Fedushkin I. L., Yambulatov D. S., Skatova A. A. et al. // Inorg. Chem. 2017. V. 56. № 16. P. 9825.
- 26. *Fedushkin I. L.*, *Maslova O. V.*, *Baranov E. V.*, *Shavyrin A. S.* // Inorg. Chem. 2009. V. 48. № 6. P. 2355.
- 27. Fedushkin I. L., Maslova O. V., Morozov A. G. et al. // Angew. Chem. Int. Ed. 2012. V. 51. № 42. P. 105847.
- 28. *Groom C. R.*, *Bruno I.J.*, *Lightfoot M. P.*, *Ward*, *S.C.* // Acta Crystallogr. B. 2016. V. 72. № 2. P. 171.
- 29. Evans W.J., Grate J. W., Choi H. W. et al. // J. Am. Chem. Soc. 1985. V. 107. № 18. P. 941.
- 30. Mironova O. A., Sukhikh T. S., Konchenko S. N., Pushkarevsky N. A. // Polyhedron. 2019. V. 159. P. 337.
- 31. *Cherkasov V. K.*, *Druzhkov N. O.*, *Kocherova T. N. et al.* // Tetrahedron. 2012. V. 68. № 5. P. 1422.
- 32. *Sheldrick G. M.* // Acta Crystallogr. Sect. A. 2015. V. 71. № 1. P. 3–8.
- 33. *Sheldrick G. M.* // Acta Crystallogr. Sect. C. 2015. V. 71. № 1. P. 3–8.
- 34. *Dolomanov O. V., Bourhis L.J., Gildea R.J. et al.* // J. Appl. Crystallogr. 2009. V. 42. № 2. P. 339.
- 35. *Veauthier J. M., Schelter E. J., Carlson C. N. et al.* // Inorg. Chem. 2008. V. 47. № 13. P. 5841.
- 36. *Abakumov G.A.*, *Druzhkov N.O.*, *Kocherova T.N. et al.* // Dokl. Chem. 2016. V. 467. № 2. P. 109.
- 37. *Duraisamy R., Liebing P., Harmgarth N. et al.* // Eur. J. Inorg. Chem. 2019. V. 2019. № 28. P. 3343.
- 38. *Gao B., Luo X., Gao W. et al.* // Dalton Trans. 2012. V. 41. № 9. P. 2755.
- 39. *Mironova O. A., Sukhikh T. S., Konchenko S. N., Push-karevsky N. A.* // Inorg. Chem. 2022. V. 61. № 39. P. 15484.

УДК 541.49, 546.719, 543.429.23

СИНТЕЗ И СТРОЕНИЕ *mpuc*(ПИРАЗОЛИЛ)БОРАТ ТИОЛАТНОГО КОМПЛЕКСА РЕНИЯ(V) С ДИСУЛЬФИДНЫМ МОСТИКОВЫМ ЛИГАНДОМ

©2024 г. И.В. Скабицкий^{1, *}, С.С. Шаповалов¹

¹Институт общей и неорганический химии им. Н.С. Курнакова РАН, Москва, Россия
*e-mail: skabitskiy@gmail.com
Поступила в редакцию 12.05.2023 г.

Поступила в редакцию 12.03.2023 г. После доработки 05.06.2023 г. Принята к публикации 27.05.2023 г.

Реакцией TpReOCl(S'Bu) (Тр = mpuc(пиразолил)боратный анион) с дисульфидом натрия в диметоксиэтане получен новый биядерный комплекс рения [TpReO(μ -S'Bu)]₂(μ -S₂) (I). Комплекс I также может быть синтезирован реакцией TpReO(S'Bu)₂ с суспензией бромида марганца (II) в толуоле, сопровождающейся деалкилированием одного излигандов; при этом еще образуется новый комплекс [TpReO]₂(μ -S₂)(μ -S) (II), содержащий мостиковые сульфидный и дисульфидный лиганды. Методом PCA исследовано строение двух кристаллосольватов комплекса I с хлористым метиленом, содержащих молекулы с различными конформациями фрагмента Re₂S₂ (Ia и Ib), а также комплекса II (CCDC № 2262677, 22626782267423 для Ia, I6 и II соответственно).

Ключевые слова: комплексы рения, тиолатные комплексы, дисульфидный лиганд, *тио*с(пиразолил)борат **DOI**: 10.31857/S0132344X24020087 **EDN**: ORENPO

Трис (пиразолил) боратные анионы, являющиеся тридентатными лигандами и образующие стабильные комплексы с переходными металлами, нашли широкое применение в координационной химии [1]. Комплексы рения с трис (пиразолил) боратным и тиолатными лигандами подробно изучались в качестве модели для каталитических процессов десульфирования [2], однако из комплексов с сульфидными лигандами был получен только Тр*ReSCl₂, не охарактеризованный структурно [3]. Трис (пиразолил) боратные комплексы рения с дисульфидным лигандом не были описаны, а количество таких комплексов с другими металлами не велико.

Трис(пиразолил)боратные серосодержащие комплексы молибдена $Tp^{iPr}MoO(OAr)S$ были получены присоединением триэтилфосфина к одному из атомов кислорода в диоксокомплексе $Tp^{iPr}MoO_2(OAr)$ с последующим замещением $OPEt_3$ на атом серы при действии метилтиирана [4]. По данным рентгеновской спектроскопии поглощения XAS, такие комплексы являются мономерными в растворе, но в зависимости от арилоксидного заместителя могут существовать в кристаллической фазе как в мономерной форме $(Ar = C_6H_4^{-s}Bu-2, C_6H_4^{-t}Bu-2, C_6H_4^{-t}Ph-4)$, так

и в виде димера с дисульфидным мостиковым лигандом (Ar = C_6H_4 -'Bu-3, C_6H_3 'Bu₂-3,5, C_6H_4 Ph-3, Ph). Гидролиз комплексов такого типа приводит к замещению двух алкоксидных групп на мостиковый оксолиганд, с сохранением дисульфидного фрагмента.

В реакции $(Ph_3Sn)_2S$ с $TpMoCl_2(NO)$ был выделен нитрозильный комплекс $[TpMoCl(NO)]_2(\mu-S_2)$ с низким выходом [5].

Нейтральный димерный комплекс вольфрама $[Tp*WS_2]_2(\mu-S_2)$ был синтезирован при окислении $Tp*WS_3$ аниона тиоцианатом серебра [6] и использован в качестве исходного соединения для получения ряда гетерометаллических сульфидно-галогенидных кластеров с медью и серебром, обладающих нелинейно-оптическими свойствами.

Взаимодействие $[Tp_2Ru_2(\mu\text{-Cl})(NO)_2(MeCN)]$ с элементарной серой приводит к образованию тетраядерного комплекса рутения

[($Tp_2Ru_2(\mu-C_3H_3N_2)(\mu-Cl)(NO)$) $_2(\mu-S_2)$][BF_4] $_2$, в котором мостиковый дисульфидный лиганд соединяет два димерных фрагмента наряду с трехмостиковым димером $Tp_2Ru_2(\mu-Cl)(\mu-NO)_2(\mu-S_2)$ [7].

Цель работы — синтез дисульфидного комплекса $[TpReO(\mu-S'Bu)]_2(\mu-S_2)$ (I), единственного растворимого продукта в реакции $TpReO(S'Bu)_2$ с $Mn(CO)_5Br$. Для получения ряда гетерометалических сульфидных кластеров на его основе представлялось важным найти другие способы его получения.

ЭКСПЕРИМЕНТАЛЬНАЯ ЧАСТЬ

Все операции в ходе синтеза и выделения продуктов проводили в абсолютных растворителях в атмосфере чистого аргона. ИК-спектры регистрировали на спектрометре Bruker Alpha с приставкой НПВО Bruker ATR Diamond. Спектры ЯМР ¹Н регистрировали на приборе Bruker AV 300; химические сдвиги ¹Н приведены относительно тетраметилсилана. Синтез ТрReO(S'Bu)₂ и ТрReOCl(S'Bu) [8] проводили согласно литературной методике.

Синтез [TpReO(μ -S^tBu)],(μ -S₂) (I). Метод 1. К 21 мг (0.91 ммоль) порошка натрия (приготовленного встряхиванием расплавленного натрия в ксилоле) в 5 мл диметоксиэтана добавляли 29 мг (0.91 ммоль) серы и 20 мг (0.16 ммоль) нафталина. Полученную суспензию перемешивали магнитной мешалкой при 60°C в течение 24 ч, затем к ней добавляли 100 мг (0.18 ммоль, 5-кратный недостаток) TpReOClS^tBu и реакционную смесь перемешивали при 40°C в течение 12 ч. Растворитель удаляли в вакууме, красно-коричневый остаток экстрагировали 10 мл толуола. Экстракт наносили на колонку с силикагелем (5 × 1 см) в толуоле. Элюировали непрореагировавший зеленый TpReOClS^tBu и желто-коричневый $TpReO(S^tBu)$, 40 мл толуола, затем 20 мл смеси толуол — этилацетат 10 : 1 элюировали красный І. Элюат упаривали в вакууме, остаток растворяли в 1 мл СН,СІ, и добавляли 5 мл гексана. Выпадавшие при выдерживании при -25°C красно-коричневые кристаллы отделяли декантацией, промывали 5 мл пентана и высушивали в вакууме. Выход -16 мг (16%).

Метод 2. К 100 мг порошка магранца в 10 мл ацетонитрила добавляли 50 µл (недостаток) брома. Реакционную смесь перемешивали в течение часа при 60°С, светло-коричневый раствор отфильтровывали горячим и упаривали досуха в вакууме, остаток высушивали в вакууме при 150°С. К полученному бежевому порошку добавляли 107 мг (0.18 ммоль, недостаток) ТрReO(S′Bu)₂ и 5 мл толуола и образовавшуюся суспензию

перемешивали в течение 48 ч при 80° С. Далее темно-красный раствор отфильтровывали от темно-коричневого осадка. Комплекс I отделяли хроматографией от непрореагировавшего исходного и кристаллизовали аналогично методу 1. Выход — 24 мг (25%).

ИК (п, см⁻¹): 3145 о.сл, 3123 ш, о.сл 2955 ш, о.сл 2912 о.сл, 2889 о.сл, 2854 о.сл, 2499 ш, о.сл 1501 сл, 1405 ср, 1391 о.сл, 1360 о.сл, 1309 с, 1216 ср, 1187 о.сл, 1158 о.сл, 1119 с, 1074 сл, 1047 о.с, 985 ср, 934 о.с, 917 о.сл, 889 о.сл, 856 о.сл, 818 о.сл, 793 сл, 765 с, 756 о.сл, 712 о.с, 661 сл, 615 ср, 576 о.сл, 551 о.сл, 532 о.сл, 485 о.сл, 462 о.сл, 436 о.сл, 418 о.сл.

ЯМР ¹Н (толуол-d⁸; 298 K; d, м.д.): 1.80 (с., 9H, SC(C H_3)₃), 5.53 (т., ${}^3J_{\text{H-H}} = 2.1$ Гш, 1H), 5.81 (т., ${}^3J_{\text{H-H}} = 2.4$ Гц, 1H), 5.99 (т., ${}^3J_{\text{H-H}} = 2.4$ Гц, 1H), 6.93 (д.д., ${}^3J_{\text{H-H}} = 2.6$ Гц, ${}^4J_{\text{H-H}} \sim 0.7$ Гц, 1H), 7.23 (д.д., ${}^3J_{\text{H-H}} = 2.4$ Гц, ${}^4J_{\text{H-H}} \sim 0.8$ Гц, 1H), 7.31 (д.д., ${}^3J_{\text{H-H}} = 2.4$ Гц, ${}^4J_{\text{H-H}} \sim 0.8$ Гц, 1H), 7.57 (д., ${}^3J_{\text{H-H}} = 1.7$ Гц, 1H), 8.50 (д., ${}^3J_{\text{H-H}} = 2.0$ Гц, 1H), 8.54 (д., ${}^3J_{\text{H-H}} = 2.2$ Гц, ${}^4J_{\text{H-H}} \sim 0.5$ Гц, 1H).

Найдено, %: С 28.68; Н 3.47; N 15.02. Для $C_{26}H_{38}B_{2}N_{12}O_{2}S_{4}Re_{2}$ (M=1073) вычислено, %: С 29.10; Н 3.57; N 15.67.

Синтез [TpReO]₂(μ -S₂)(μ -S) (II). При проведении синтеза I по методу 2 в течение 72 ч при перекристаллизации элюата, содержащего комплекс I, практически сразу выпадает порошок комплекса II. Выход — менее 1 мг.

ИК (п, см⁻¹): 3116 ш, сл 3035 о.сл, 2514 ш, сл 1499 с, 1404 о.с, 1387 сл, 1308 о.с, 1262 сл, 1206 о.с, 1186 о.сл, 1117 с, 1073 сл, 1044 о.с, 984 ср, 931 ш, о.с 857 о.сл, 815 сл, 788 сл, 775 сл, 757 ср, 726 сл, 709 ш, о.с 667 о.сл, 651 сл, 616 ср, 570 о.сл, 531 о.сл, 511 о.сл, 493 о.сл, 470 о.сл, 437 о.сл.

Пригодные для PCA кристаллы I и II получали диффузией паров пентана в раствор I в CH_2 .

PCA комплексов I и II выполнен на дифрактометре Bruker Venture D8. Поглощение учтено методом множественного измерения эквивалентных отражений по программе SADABS [9] для Ia и TWINABS [10] для Iб и II. Структуры определены прямым методом и уточнены методом наименьших квадратов относительно F^2 в анизотропном приближении неводородных атомов с использованием пакетов программ

Таблица 1. Кристаллографические данные и параметры уточнения структуры комплексов I, II

Параметр	Ia	I6	II
Брутто-формула	$C_{26}H_{38}B_2N_{12}O_2S_4Re_2$	$C_{13.62}H_{20.24}BN_6OS_2Cl_{0.52}Re$	$C_{19}H_{22}B_2N_{12}O_2S_3Cl_2Re_2$
M	1072.94	563.73	1011.58
Излучение (λ, Å)		$MoK_{a} (\lambda = 0.71073)$	
Температура съемки, К	100	100	100
Сингония	Моноклинная	Триклинная	Моноклинная
Пространственная группа	C2/c	PT	$P2_{_{1}}/c$
a, Å	20.4820(16)	15.0275(6)	16.3187(6)
b, Å	11.0909(8)	18.8478(7)	12.9928(5)
c, Å	21.0234(15)	23.1384(9)	15.8950(6)
α, град	90	103.2280(10)	90
β, град	116.509(2)	93.7360(10)	116.2740(10)
ү, град	90	109.9580(10)	90
V, Å ³	4273.7(6)	5922.6(4)	3022.0(2)
Z	4	6	4
ρ(выч.), г/см ³	1.668	1.897	2.223
μ , MM^{-1}	5.893	6.452	8.431
F(000)	2072.0	3274.0	1912.0
Интервал сканирования, град	4.292-65.49	3.622-61.114	4.242-55.812
Тип сканирования		ω	
Независимых отражений ($N_{_1}$)	$7871 \ (R_{\rm int} = 0.0544)$	$36882 (R_{\rm int} = 0.05323)$	$7187 (R_{\rm int} = 0.0574)$
Отражений с $I > 2\sigma(I)$ (N_2)	7354	33022	6719
Число уточняемых параметров	220	1393	408
GOOF	1.076	1.088	1.067
$R_{_1}$ для $N_{_2}$	0.0200	0.0341	0.0279
$\overset{\cdot}{wR_2}$ для $\overset{\cdot}{N_1}$	0.0442	0.0751	0.0664
$\Delta ho_{max} / \Delta ho_{min}, e \ Å^{-3}$	1.42 / -1.41	1.78 / -1.38	1.23 / -1.76

SHELX-2014 [11] и OLEX2 [12]. Положения атомов Н рассчитаны геометрически. Кристаллографические данные и параметры уточнения структур приведены в табл. 1. Основные длины связей и валентные углы в І приведены в табл. 2.

Координаты атомов и другие параметры структур депонированы в Кембриджском банке структурных данных (ССDС № 2262677, 22626782267423 для Іа, Іб и ІІ соответственно; http://www.ccdc.cam.ac.uk/data_request/cif).

Квантово-химические расчеты проводили в рамках теории функционала плотности с помощью программного комплекса ORCA 5.03 [13]. Оптимизацию геометрии комплексов проводили с использованием функционала PBE [14, 15] с дважды расщепленным полноэлектронным базисом def2-SVP [16] и использованием эмпирической поправки к дисперсионным взаимодействиям D3BJ [17, 18]. Энергию активации рассчитывали с использованием гибридного функционала РВЕ0 [19] с трижды расщепленным базисом def2-TZVP [16]. Расчет электронной плотности проводили с учетом скалярных релятивистских поправок методом ZORA [20, 21] в полноэлектронном трижды расщепленном базисе, адаптированном для данного метода [22, 23].

РЕЗУЛЬТАТЫ И ИХ ОБСУЖДЕНИЕ

Реакция $TpReO(S'Bu)_2$ с избытком суспензии бромида марганца в толуоле при $80^{\circ}C$ приводит к образованию нового комплекса $[TpReO(\mu-S'Bu)]_2(\mu-S_2$ (I), который может быть отделен хроматографически от непрореагировавшего исходного. Попытки увеличить время реакции или избыток $MnBr_2$ приводят к образованию ряда неидентифицированных побочных продуктов, затрудняющих выделение комплекса, среди

которых один из продуктов дальнейшего деалкилирования и десульфирования был охарактеризован по данным PCA как $[TpReO]_2(\mu-S_2)(\mu-S)$ (II), содержащий сульфидный и дисульфидный мостиковые лиганды. Аналогичная реакция с безводным $MnCl_2$ приводит к образованию только незначительных количеств TpReOCl(S'Bu) [8], идентифицированного с помощью TCX в сравнении с эталоном (схема 1).

Комплекс I также может быть получен замещением хлоридного лиганда в TpReOCl(S^tBu) при действии дисульфид-аниона. Наилучший выход составил только 16% при проведении реакции с избытком Na₂S₂ в диметоксиэтане. При этом образуется также смесь неидентифицированных не растворимых в толуоле или CH₂Cl₂ продуктов, кристаллизация которых из диметилформамида с диэтиловым эфиром с добавкой хлорида тетрафенилфосфония позволяет выделить небольшое количество красно-оранжевых кристаллов с параметрами ячейки, близкими к [Ph₄P][ReS₄] [24]. Проведение реакции с более растворимым Li,S, в тетрагидрофуране приводит к быстрому исчезновению исходного комплекса, но І образуется только в следовых количествах по данным ТСХ (схема 2).

ИК-спектр I мало отличается от спектра исходного комплекса $TpReO(S'Bu)_2$: появляется слабый пик поглощения на $917~cm^{-1}$, а также уменьшается относительная интенсивность ряда полос деформационных колебаний СН (наиболее заметно для частот 1473, 1406, 1159, 1047, 936, 766, 756 см⁻¹), по-видимому, в связи с изменением соотношения количества групп пиразолат: третбутил.

ЯМР спектр на ядрах ¹Н комплекса I содержит девять сигналов пиразольных протонов, что соответствует *трис* (пиразолил) боратному лиганду, координированному к атому рения совместно с тремя различными заместителями, а также синглетный сигнал *трет*-бутильной группы. В отличие от исходного соединения, при комнатной температуре в протонном спектре I отсутствуют признаки динамических процессов.

При кристаллизации I диффузией паров пентана в его раствор в $\mathrm{CH_2Cl_2}$ образуются кристаллы двух типов Ia и Ib, строение которых было определено PCA (рис. 1). Оба кристалла содержат рацемическую смесь хиральных молекул I (два атома рения в димерной молекуле имеют одинаковую хиральность). Кристалл моноклинной

Схема 2.

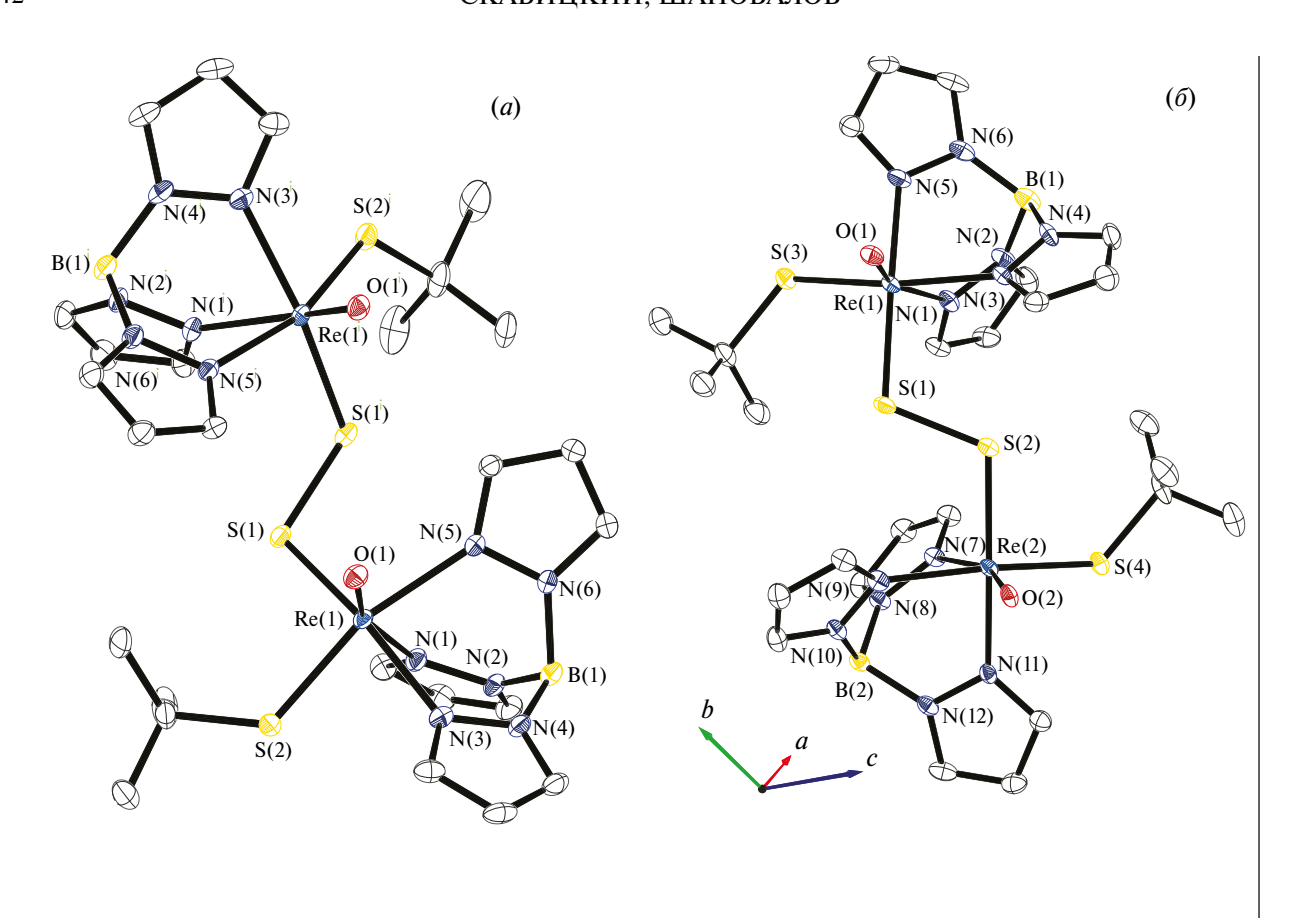
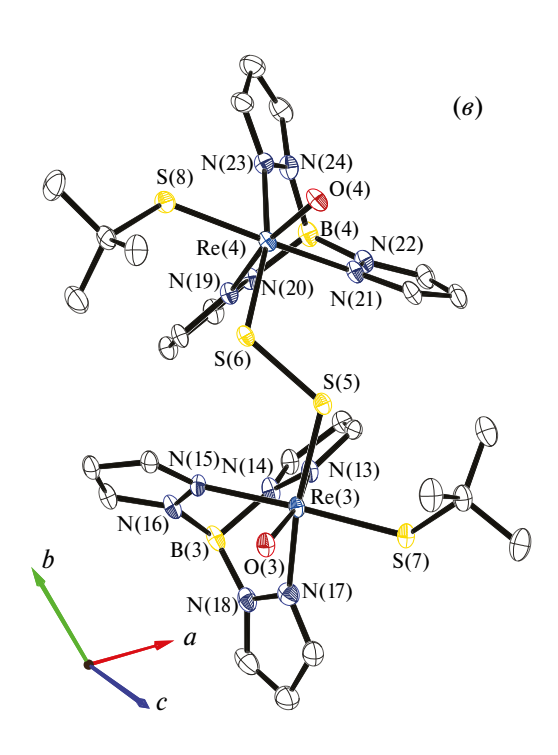


Рис. 1. Молекулярная структура Ia (a), Ib молекула 1 (b) и Ib молекула 2 (b) (независимые молекулы для Ib показаны в отдельных проекциях).



сингонии Ia содержит как молекулу комплекса, лежащую на винтовой оси второго порядка, так и разупорядоченную молекулу $\mathrm{CH_2Cl_2}$. Кристалл триклинной сингонии содержит три независимых молекулы I, молекулу $\mathrm{CH_2Cl_2}$ и полость, содержимое которой наилучшим образом уточняется как смесь $\mathrm{CH_2Cl_2}$ и пентана в соотношении $\sim 2:1$.

Различные конформации комплекса найденные в кристаллах Іа и Іб, показаны на рис. 1 (две из трех молекул в упаковке Іб имеют практически идентичную геометрию), основные геометрические параметры приведены в табл. 2. Интересно, что во всех независимых молекулах структур Іа и Іб наблюдается одна и та же конформация фрагмента ReS₂, в которой оба заместителя при атомах серы практически не выходят из плоскости ReS₂. Единственным значимым отличием в геометриях наблюдаемых конформеров является изменение диэдрального угла ReSSRe. В Іб присутствуют две молекулы с практически плоским фрагментом ReSSRe и одна молекула с диэдральным углом ReSSRe 128.07(6)°. Еще большее отклонение от плоского строения наблюдается в Ia (ReSSRe 112.98(3)°).

Изменение диэдрального угла ReSSRe только в незначительной степени влияет на остальные геометрические параметры, и дальнейше рас-

смотрение строения на примере Іа может быть отнесено и к другим конформерам.

Расстояния ReN в I заметно неэквивалентны (2.239(2), 2.211(2), 2.157(2) Å для связей в транс-положении к O, S-трет-Ви и µ-S, соответственно), по-видимому, в силу различия транс-влияния трех разных заместителей. Короткое расстояние Re-O 1.700(2) Å, незначительно удлинено по сравнению с 1.682(4) Å в дитиолатном комплексе $TpReO(S^tBu)_2$. Длины связей Re-S как с тиолатным (2.2978(5) Å), так и с дисульфидным (2.2788(5) Å) заметно укорочены по сравнению с суммой ковалентных радиусов (СКР) Re и S (2.56 Å) [25], причем для дисульфидного лиганда укорочение даже чуть более заметно. Интересно, что значительное увеличение угла CSRe (124.00(8)°) по сравнению с идеальным тетраэдрическим не наблюдается для дисульфидного лиганда ReSS (109.89(3)°).

Расчетный поиск конформеров полуэмпирическим методом XTB-GFN2 с последующей оптимизацией геометрии и рассчетом энергии методом DFT для комплекса I дает наименьшую энергию для конформера, наблюдаемого в PCA в кристале Ia. Аналогичный поиск конформеров и расчет энергии для мезоформы (два атома рения имеют различную хиральность) показывают, что ее образование термодинамически менее выгодно на 3.5 ккал/моль.

Таблица 2. Длины связей и углы структуры комплексов и Ia и Ib

Связь	Ia	Іb молекула 1 Іб молекула 2		Іб молекула 3	
		а	l, Å		
Re-O	1.700(2)	1.694(3) 1.704(3)	1.693(4) 1.700(3)	1.688(4) 1.692(3)	
Re-S _s	2.2788(5)	2.297(1) 2.285(1)	2.297(1) 2.297(1)	2.295(1) 2.288(1)	
Re-S _R	2.2978(5)	2.307(1) 2.322(1)	2.325(1) 2.303(1)	2.329(1) 2.316(1)	
Re-N (транс к O)	2.239(2)	2.253(4) 2.238(4)	2.255(4) 2.253(4)	1.692(3) 2.264(4)	
Re-N (транс к SR)	2.211(2)	2.191(4) 2.173(4)	2.169(4) 2.169(4)	2.160(4) 2.191(4)	
Re-N (транс к SS)	2.157(2)	2.142(4) 2.155(4)	2.156(4) 2.153(4)	2.136(4) 2.150(4)	
S-S	2.1023(1)	2.109(2)	2.112(2)	2.101(2)	
Угол	ω, град				
ReSC	124.00(8)	123.6(2) 120.64(2)	125.7(2) 121.4(2)	120.3(2) 119.0(2)	
ReSS	109.89(3)	109.03(6) 112.36(6)	114.47(6) 116.19(6)	110.78(6) 111.34(6)	
ReSSRe	112.98(3)	172.43(4)	128.07(6)	172.47(5)	

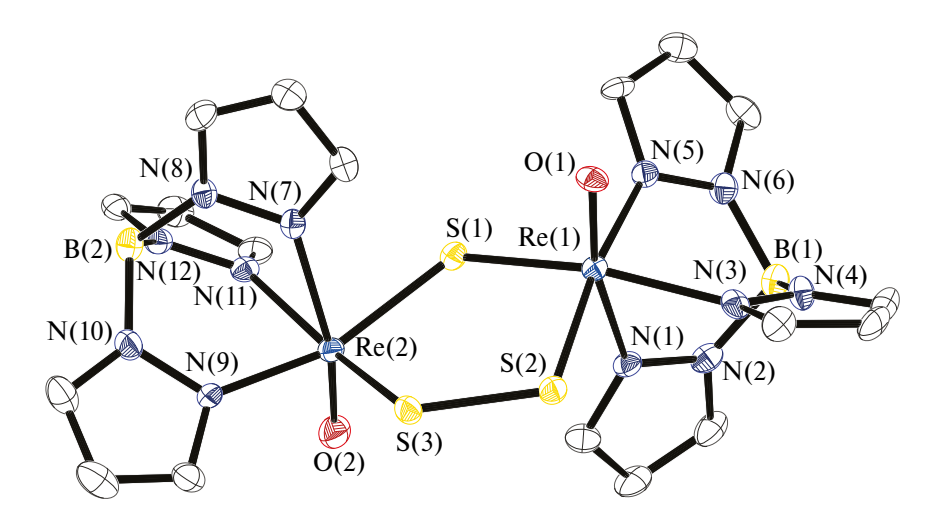


Рис. 2. Молекулярная структура II (сольватная молекула хлористого метилена не показана). Избранные длины связей: Re(1)—O(1) 1.702(4), Re(2)—O(2) 1.687(4), Re(1)—S(1) 2.320(1), Re(2)—S(1) 2.335(1), Re(1)—S(2) 2.237(2), Re(2)—S(3) 2.251(2), Re(1)—Re(1) 2.251(5), Re(1)—Re(1) 2.138(5), Re(1)—Re(1) 2.165(5), Re(2)—Re(2) 2.270(5), Re(2)—Re(2) 2.106(5), Re(2)—Re(2) 3.122(2) Å и валентные углы: Re(1) 3.118(6)°, Re(2) 119.84(6)°, Re(2) 113.75(7)°, Re(2) 3.128(8)°.

Строение комплекса II было также определено РСА (рис. 2). Два фрагмента ТрReO соединены в нем сульфидным и дисульфидным мостиковыми лигандами, при этом цикл Re₂S₃ оказывается практически плоским (отклонение атомов серы дисульфидного моста от плоскости 0.18 Å). Связи Re-S с дисульфидным лигандом (2.237(2), 2.251(2) Å) укорочены даже сильнее чем в тиолат дисульфидном комплексе, тогда как связи с сульфидным мостом укорочены меньше (2.320(1), 2.3351(1) Å), по-видимому, в связи с тем, что только одна неподеленная пара серы участвует в дополнительном π-связывании с атомами рения. Аналогичное распределение расстояний металл — сера наблюдалось в циклах Re₃S₃ цепочечного четырехядерного комплекса Re(V) $[NEt_4]$, $[((Me_3Si)_2C_2S_2)_2Re_4(S)_4(\mu-S)_4(\mu-S_2)_2]$ Для аналогичного II по строению комплекса молибдена(V) $[Tp^{iPr}MoO]_{2}(\mu-S_{2})(\mu-S)$ [27] больший электронный дефицит приводит к заметному увеличению угла MoSMo (136.5°), а связи с сульфидным мостом (2.28 Å) оказываются короче, чем с дисульфидным (2.33 Å).

Таким образом, была показана возможность получения дисульфидного *mpuc*(пиразолил)боратного комплекса рения(V) с тиолатными лигандами как при деалкилировании третбутилтиолатной группы, так и в реакции замещении хлоридного лиганда на дисульфид анион.

Авторы заявляют об отсутствии конфликта интересов.

БЛАГОДАРНОСТИ

Исследования проводили с использованием оборудования ЦКП ФМИ ИОНХ РАН.

ФИНАНСИРОВАНИЕ

Работа поддержана Российским научным фондом (грант № 18-73-10206).

СПИСОК ЛИТЕРАТУРЫ

- 1. Trofimenko S. // Chem. Rev. 1993. V. 93. P. 943.
- 2. *Lail M., Pittard K.A., Gunnoe T.B.* // Adv. Organomet. Chem. 2008. V. 56. P. 95.
- 3. *Tisato F., Bolzati C., Duatti A. et al.* // Inorg. Chem. 1993. V. 32. № 10. P. 2042.
- 4. Doonan C.J., Nielsen D.J., Smith P.D. et al. // J. Am. Chem. Soc. 2006. V. 128. P. 305.
- 5. McWhinnie S.L.W., Jones C.J., McCleverty J.A. et al. // Polyhedron. 1993. V. 12. P. 3743.
- 6. Wei L.-P., Ren Z.-G., Zhu L.-W.et al. // Inorg. Chem. 2011. V. 50. P. 4493.
- 7. Y. Arikawa, Y. Otsubo, T. Nakayama et al. // Inorg. Chim. Acta. 2019. V. 490. P. 45.
- 8. *Скабицкий И. В.*, *Сахаров С. Г.*, *Пасынский А. А. и др.* // Коорд. химия. 2019. Т. 45. С. 451.
- 9. SADABS (version 2008/1). Madison (WI, USA): Bruker AXS Inc., 2008.
- 10. *Sheldrick G*. M. TWINABS (version 2012/1). Madison (WI, USA): Bruker AXS Inc., 2012.
- 11. Sheldrick G. M. // Acta Crystallogr. A. 2008. V. 64. P. 112.
- 12. Dolomanov O. V., Bourhis L. J., Gildea R. J. et al. //

- J. Appl. Cryst. 2009. V. 42. P. 339.
- 13. *Neese F.* The ORCA Program System. Wiley Interdisciplinary Reviews Computational Molecular Science. 2012. V. 2. P. 73.
- 14. *Perdew J. P., Burke K., Ernzerhof M.* // Phys. Rev. Lett. 1996. V. 77. P. 3865.
- 15. *Perdew J. P., Burke K., Ernzerhof M.* // Phys. Rev. Lett. 1997. V. 78. P. 1396 (Errata).
- 16. *Weigend F., Ahlrichs R.* // Phys. Chem. Chem. Phys. 2005. V. 7. P. 3297.
- 17. *Grimme S., Ehrlich S., Goerigk L.* // J. Comput. Chem. 2011. V. 32. P. 1456.
- 18. *Grimme S., Antony J., Ehrlich S. et al.* // J. Chem. Phys. 2010. V. 132. P. 154104.
- 19. Adamo C., Barone V.// J. Chem. Phys. 1999. V. 110. P. 6158.

- 20. van Lenthe E., Baerend E.J., Snijders J. B. // J. Chem. Phys. 1993. V. 99. P. 4597.
- 21. van Wüllen C. // J. Chem. Phys. 1998. V. 109. P. 392.
- 22. *Rolfes J. D.*, *Neese F., Pantazis D. A.* // J. Comput. Chem. 2020. V. 41. P. 1842.
- 23. *Pantazis D. A., Chen X. Y., Landis C. R. et al.* // J. Chem. Theory Comput. 2008. V. 4. P. 908.
- 24. *Diemann E., Muller A.* // Z. Naturforsch. B. 1976. V. 31. P. 1287.
- 25. Cordero B., Gómez V., Platero-Prats A.E. // Dalton Trans. 2008. V. 21. P. 2832.
- Goodman J. T., Rauchfuss T. B. // Inorg. Chem. 1998.
 V. 37. P. 5040.
- 27. *Gourlay C., Taylor M. K., Smith P. D. et al.* // Inorg. Chim. Acta. 2010. V. 363. P. 1126.

Rhenium(V) Tris(pyrazolyl)borate Thiolate Complex with the Disulfide Bridging Ligand: Synthesis and Structure

I. V. Skabitskii^{1, *} and S. S. Shapovalov¹

¹Kurnakov Institute of General and Inorganic Chemistry, Russian Academy of Sciences, Moscow, Russia *e-mail: skabitskiy@gmail.com

The reaction of TpReOCl(S'Bu) (Tp = tris(pyrazolyl)borate anion) with sodium disulfide in dimethoxyethane affords the new binuclear rhenium complex [TpReO(μ -S'Bu)]₂(μ -S₂) (I). Complex I can also be synthesized by the reaction of TpReO(S'Bu)₂ with a suspension of manganese(II) bromide in toluene accompanied by the dealkylation of one of the ligands to form one more new complex [TpReO]₂(μ -S₂)(μ -S) (II) containing the bridging sulfide and disulfide ligands. The structures of two crystalline solvates of complex I with dichloromethane containing the molecules with different conformations of the Re₂S₂ fragment (Ia and Ib) and complex II are studied by X-ray diffraction (XRD) (CIF files CCDC nos. 2262677, 2262678, and 2267423 for Ia, Ib, and II, respectively).

Keywords: rhenium complexes, thiolate complexes, disulfide ligand, tris(pyrazolyl)borate

REFERENCES

- 1. Trofimenko S. // Chem. Rev. 1993. V. 93. P. 943.
- 2. *Lail M., Pittard K.A., Gunnoe T.B.* // Adv. Organomet. Chem. 2008. V. 56. P. 95.
- 3. *Tisato F., Bolzati C., Duatti A. et al.* // Inorg. Chem. 1993. V. 32. № 10. P. 2042.
- 4. Doonan C.J., Nielsen D.J., Smith P.D. et al. // J. Am. Chem. Soc. 2006. V. 128. P. 305.
- 5. McWhinnie S.L.W., Jones C.J., McCleverty J.A. et al. // Polyhedron. 1993. V. 12. P. 3743.
- 6. Wei L.-P., Ren Z.-G., Zhu L.-W.et al.// Inorg. Chem. 2011. V. 50. P. 4493.
- 7. *Y. Arikawa*, *Y. Otsubo*, *T. Nakayama et al.* // Inorg. Chim. Acta. 2019. V. 490. P. 45.
- 8. *Skabitskii I. V., Sakharov S. G., Pasynskii A. A. et al.* // Russ. J. Coord. Chem. 2019. V. 45. P. 539. https://doi.org/10.1134/S1070328419080086
- 9. SADABS (version 2008/1). Madison (WI, USA): Bruker AXS Inc., 2008.

- 10. *Sheldrick G. M.* TWINABS (version 2012/1). Madison (WI, USA): Bruker AXS Inc., 2012.
- Sheldrick G. M. // Acta Crystallogr. A. 2008. V. 64.
 P. 112.
- Dolomanov O. V., Bourhis L. J., Gildea R. J. et al. // J. Appl. Cryst. 2009. V. 42. P. 339.
- 13. *Neese F.* The ORCA Program System. Wiley Interdisciplinary Reviews Computational Molecular Science. 2012. V. 2. P. 73.
- 14. *Perdew J. P., Burke K., Ernzerhof M.* // Phys. Rev. Lett. 1996. V. 77. P. 3865.
- 15. *Perdew J. P., Burke K., Ernzerhof M.* // Phys. Rev. Lett. 1997. V. 78. P. 1396 (Errata).
- 16. *Weigend F., Ahlrichs R.* // Phys. Chem. Chem. Phys. 2005. V. 7. P. 3297.
- 17. *Grimme S., Ehrlich S., Goerigk L.* // J. Comput. Chem. 2011. V. 32. P. 1456.
- 18. *Grimme S., Antony J., Ehrlich S. et al.* // J. Chem. Phys. 2010. V. 132. P. 154104.
- 19. Adamo C., Barone V. // J. Chem. Phys. 1999. V. 110.

- P. 6158.
- 20. van Lenthe E., Baerend E.J., Snijders J. B. // J. Chem. Phys. 1993. V. 99. P. 4597.
- 21. van Wüllen C. // J. Chem. Phys. 1998. V. 109. P. 392.
- 22. *Rolfes J. D.*, *Neese F., Pantazis D. A.* // J. Comput. Chem. 2020. V. 41. P. 1842.
- 23. *Pantazis D. A., Chen X. Y., Landis C. R. et al.* // J. Chem. Theory Comput. 2008. V. 4. P. 908.
- 24. *Diemann E.*, *Muller A.* // Z. Naturforsch. B. 1976. V. 31. P. 1287.
- 25. Cordero B., Gómez V., Platero-Prats A.E. // Dalton Trans. 2008. V. 21. P. 2832.
- 26. *Goodman J. T., Rauchfuss T. B.* // Inorg.Chem. 1998. V. 37. P. 5040.
- 27. *Gourlay C., Taylor M. K., Smith P. D. et al.* // Inorg. Chim. Acta. 2010. V. 363. P. 1126.